

De stijfheid van een elastische schroefveer tegen verschillende belastingen bij kleine verplaatsingen

Citation for published version (APA):

Brekelmans, W. A. M. (1969). *De stijfheid van een elastische schroefveer tegen verschillende belastingen bij kleine verplaatsingen: de elementenmethode, vergeleken met andere methoden*. (DCT rapporten; Vol. 1969.017). Technische Hogeschool Eindhoven.

Document status and date:

Gepubliceerd: 01/01/1969

Document Version:

Uitgevers PDF, ook bekend als Version of Record

Please check the document version of this publication:

- A submitted manuscript is the version of the article upon submission and before peer-review. There can be important differences between the submitted version and the official published version of record. People interested in the research are advised to contact the author for the final version of the publication, or visit the DOI to the publisher's website.
- The final author version and the galley proof are versions of the publication after peer review.
- The final published version features the final layout of the paper including the volume, issue and page numbers.

[Link to publication](#)

General rights

Copyright and moral rights for the publications made accessible in the public portal are retained by the authors and/or other copyright owners and it is a condition of accessing publications that users recognise and abide by the legal requirements associated with these rights.

- Users may download and print one copy of any publication from the public portal for the purpose of private study or research.
- You may not further distribute the material or use it for any profit-making activity or commercial gain
- You may freely distribute the URL identifying the publication in the public portal.

If the publication is distributed under the terms of Article 25fa of the Dutch Copyright Act, indicated by the "Taverne" license above, please follow below link for the End User Agreement:

www.tue.nl/taverne

Take down policy

If you believe that this document breaches copyright please contact us at:

openaccess@tue.nl

providing details and we will investigate your claim.

De stijfheid van een elastische schroefveer tegen verschillende belastingen bij kleine verplaatsingen.

De elementenmethode, vergeleken met andere methoden.

Ir. W.A.M. Brekelmans

Inhoudsopgave

I Inleiding 3

II De "exacte" methode 6

II.1 Geometrische eigenschappen 6

II.2 Snedegrootheden op AB 7

II.3 Krachtenevenwicht 9

II.4 Momentenevenwicht 11

II.5 De elastische vervormingsenergie 16

II.6 Berekening karakteristieke integralen 17

II.7 Berekening van de inwendige energie 18

II.8 De verplaatsingen van punt B 22

II.9 De theorie, toegepast op twee 23

speciale belastinggevallen

A Centraal op trek belaste veer 23

B Door dwarskracht belaste veer 31

III Een benaderingsmethode 35

A Centraal op trek belaste veer 39

B Door dwarskracht belaste veer 40

IV Vergelijking van beide methodes 42

A Centraal op trek belaste veer 42

B Door dwarskracht belaste veer 45

V De verplaatsingsmethode (elementenmethode) 49

VI Semi-elementenmethode 68

A Centraal op trek belaste veer 75

B Door dwarskracht belaste veer 77

VII De reken nauwkeurigheid van de rekenmachine 78

VIII Vergelijking van de elementenmethode met de "exacte" en de benaderingsmethode 79

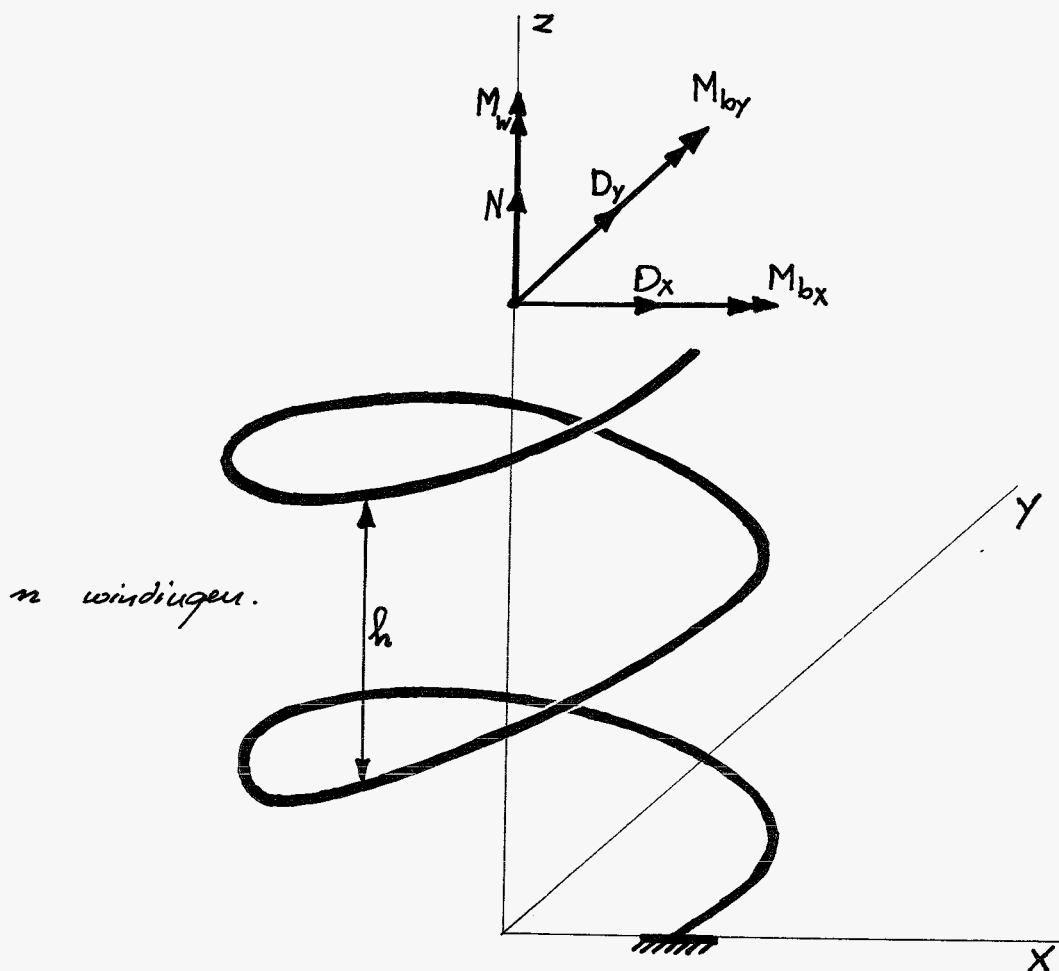
A Centraal op trek belaste veer 79

B Door dwarskracht belaste veer 81

IX Slotconclusies 85

I Inleiding

Beschouwd wordt een schroefveer, waarvan het ene uiteinde ingeklemd en het andere uiteinde belast is. Voorlopig wordt de belasting nog zo algemeen mogelijk gekozen.



De vorm van de draaddoornede is willekeurig te kiezen met dien verstande, dat de hoofdtraagheidsassen van deze draaddoornede samen moeten vallen met de normaal en binormaal, die bij de schroeflijn behoren.

Het aantal windingen n zal vaak geheel worden veranderd.

De spoed, h , is constant bij een bepaalde veer.

Bij dit onderzoek is tot taak gesteld het berekenen van de verplaatsingen aan het uiteinde van de schroefveer bij verschillende belastingcombinaties en bij kleine verplaatsingen.

In dit rapport zijn verschillende methoden uitgewerkt:

a) de „exacte” methode;

de totale in de veer opgehoopte elastische energie tevens van buiging en wrijving van de draad werd berekend, waarmede met behulp van de Wet van Castigliano de verplaatsingen door differentiatie te vinden waren.

b) de „meest bekende” benaderingsmethode;

de veer wordt opgebouwd gedacht uit vlakke windingen met starre tussenstukjes, waardoor de uitdrukking voor de inwendige energie aanzienlijk vereenvoudigt. De verplaatsingen zijn dan weer te vinden met behulp van de Wet van Castigliano.

De resultaten van beide hierboven genoemde methodieken zullen in twee speciale belastingsgevallen met elkaar worden vergeleken. Er zal blijken dat de benaderingsmethode voor gangbare veren in het algemeen goede resultaten geeft voor de verplaatsingen, maar dat voor andere veertypen, grote afwijkingen kunnen ontstaan. Getracht werd om met behulp van een (te verwachten) betere benaderingsmethode de exacte resultaten beter te benaderen.

c) de verplaatsingsmethode (elementenmethode);

de veer wordt opgebouwd gedacht uit vlakke stukjes winding met starre tussenstukjes. Voor elke stukje winding wordt de stijfheid bepaald en uitgedrukt in een „stijfheidsmatrix”

De stijfheidsmatrices van alle stukjes (elementen) worden gegroepeerd in een grote stijfheidsmatrix, waarbij na invertering de grootte van de gewenste verplaatsingen kan worden verkregen. Het reken-technische gedeelte bij deze methode wordt uitgevoerd door de rekenmachine.

De beschreven methode geeft echter alleen resultaten in concrete gevallen, met het nadeel dat vergelijking met beide eerder genoemde analytische methoden moeilijk is. Verder blijkt dat onder bepaalde omstandigheden de reken nauwkeurigheid van de computer te kort schiet.

Om het vergelijken gemakkelijker te maken en om een uitspraak te kunnen doen over de reken nauwkeurigheid van de computer werd een methode opgezet, die analytisch is, en die precies dezelfde resultaten moet geven als de elementen methode.

d) Semi-elementenmethode

De arbeid in alle elementjes wordt gesommeerd. Met behulp van de wet van Castigliano vinden we de verplaatsingen.

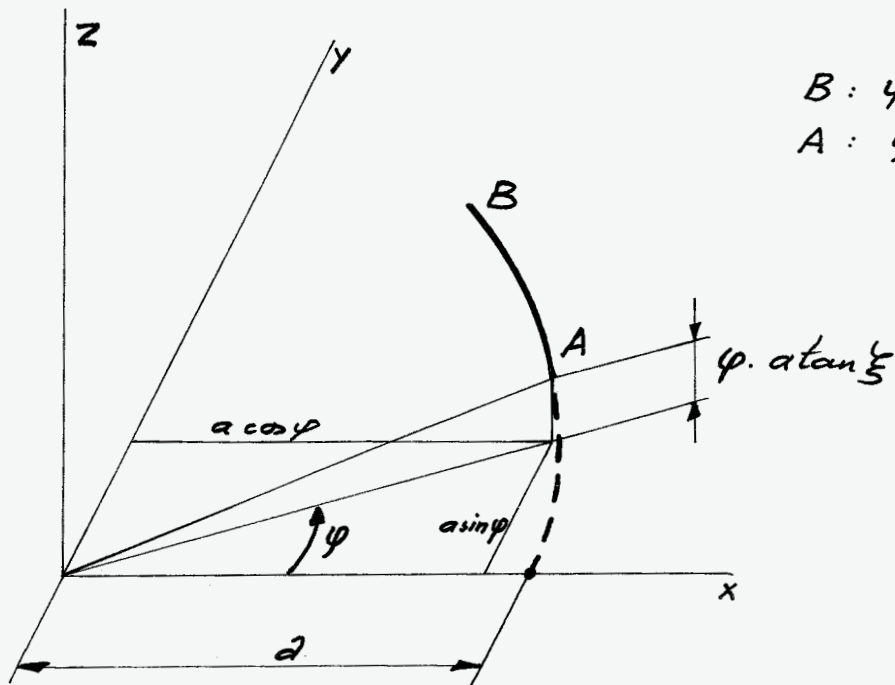
Vergelijking van methode c en methode d geeft een uitspraak over de reken nauwkeurigheid van de computer.

Vergelijking van methode a en methode c/d geeft een uitspraak over de waarde van de elementenmethode toegepast op de schroefveer. En zal blijken dat de elementenmethode zoals die in dit rapport is uitgewerkt slechts een geringe verbetering geeft ten opzichte van de benaderingsmethode (b). Verrijping van de elementen kan zowel voordelige als nadelige gevolgen hebben en zelfs geen gevolgen hebben.

Het rapport eindigt met de slotconclusies, waarin bovenstaande is gespecificeerd.

II De "exacte" methode

II.1 Geometrische eigenschappen



$$B: \varphi = \alpha$$

$$A: \varphi = \varphi$$

Schroeflijn :

$$\begin{aligned} x &= a \cos \varphi \\ y &= a \sin \varphi \\ z &= h \cdot \varphi = a \tan \xi \cdot \varphi \end{aligned}$$

positieve raaklijnrichting : $(-\cos \xi \sin \varphi, \cos \xi \cos \varphi, \sin \xi)$

positieve normaalrichting : $(-\cos \varphi, -\sin \varphi, 0)$

positieve binormaalrichting : $(\sin \xi \sin \varphi, -\sin \xi \cos \varphi, \cos \xi)$

raaklijn : positieve richting in toenemende φ richting

normaal : positieve richting naar de x -as gericht.

binormaal : positieve richting in positieve z -richting
(„naar boven toe gericht“)

II.2 Snedegrootheden op AB

plaats B

Componenten

$$N_{\alpha} : \text{kracht in pos. raaklijnrichting} \begin{cases} x : -N_{\alpha} \cos \xi \sin \alpha \\ y : N_{\alpha} \cos \xi \cos \alpha \\ z : N_{\alpha} \sin \xi \end{cases}$$

$$D_{\alpha} : \text{kracht in pos. normaalrichting} \begin{cases} x : -D_{\alpha} \cos \alpha \\ y : -D_{\alpha} \sin \alpha \\ z : 0 \end{cases}$$

$$D_{b\alpha} : \text{kracht in pos. binormaalrichting} \begin{cases} x : D_{b\alpha} \sin \xi \sin \alpha \\ y : -D_{b\alpha} \sin \xi \cos \alpha \\ z : D_{b\alpha} \cos \xi \end{cases}$$

$$M_{Nd} : \text{moment om de raaklijn} \\ \text{vector in pos. richting} \begin{cases} x : -M_{Nd} \cos \xi \sin \alpha \\ y : M_{Nd} \cos \xi \cos \alpha \\ z : M_{Nd} \sin \xi \end{cases}$$

$$M_{n\alpha} : \text{moment om de normaal} \\ \text{vector in pos. richting} \begin{cases} x : -M_{n\alpha} \cos \alpha \\ y : -M_{n\alpha} \sin \alpha \\ z : 0 \end{cases}$$

$$M_{b\alpha} : \text{moment om de binormaal} \\ \text{vector in pos. richting.} \begin{cases} x : M_{b\alpha} \sin \xi \sin \alpha \\ y : -M_{b\alpha} \sin \xi \cos \alpha \\ z : M_{b\alpha} \cos \xi \end{cases}$$

plaats A

N_φ : kracht in neg. raaklijnrichting

$$\begin{cases} x : N_\varphi \cos \xi \sin \varphi \\ y : -N_\varphi \cos \xi \cos \varphi \\ z : -N_\varphi \sin \xi \end{cases}$$

$D_{n\varphi}$: kracht in neg. normaalrichting

$$\begin{cases} x : D_{n\varphi} \cos \varphi \\ y : D_{n\varphi} \sin \varphi \\ z : 0 \end{cases}$$

$D_{b\varphi}$: kracht in neg. binormaalrichting

$$\begin{cases} x : -D_{b\varphi} \sin \xi \sin \varphi \\ y : D_{b\varphi} \sin \xi \cos \varphi \\ z : -D_{b\varphi} \cos \xi \end{cases}$$

$M_{w\varphi}$: moment om de raaklijn vector in neg. richting.

$$\begin{cases} x : M_{w\varphi} \cos \xi \sin \varphi \\ y : -M_{w\varphi} \cos \xi \cos \varphi \\ z : -M_{w\varphi} \sin \xi \end{cases}$$

$M_{n\varphi}$ moment om de normaal vector in neg. richting

$$\begin{cases} x : M_{n\varphi} \cos \varphi \\ y : M_{n\varphi} \sin \varphi \\ z : 0 \end{cases}$$

$M_{b\varphi}$ moment om de binormaal vector in neg. richting

$$\begin{cases} x : -M_{b\varphi} \sin \xi \sin \varphi \\ y : M_{b\varphi} \sin \xi \cos \varphi \\ z : -M_{b\varphi} \cos \xi \end{cases}$$

II.3 Krachten evenwicht

$$\textcircled{1} \quad N_{\varphi} \cos \xi \sin \varphi + D_{n\varphi} \cos \varphi - D_{b\varphi} \sin \xi \sin \varphi - N_{\alpha} \cos \xi \sin \alpha - D_{n\alpha} \cos \alpha + D_{b\alpha} \sin \xi \sin \alpha = 0$$

$$\textcircled{2} \quad -N_{\varphi} \cos \xi \cos \varphi + D_{n\varphi} \sin \varphi + D_{b\varphi} \sin \xi \cos \varphi + N_{\alpha} \cos \xi \cos \alpha - D_{n\alpha} \sin \alpha - D_{b\alpha} \sin \xi \cos \alpha = 0$$

$$\textcircled{3} \quad -N_{\varphi} \sin \xi + \quad \quad \quad -D_{b\varphi} \cos \xi \quad \quad + N_{\alpha} \sin \xi + \quad \quad \quad + D_{b\alpha} \cos \xi \quad \quad = 0$$

$$\textcircled{1} \rightarrow N_{\varphi} \cos \xi \sin \varphi \cos \varphi + D_{n\varphi} \cos^2 \varphi - D_{b\varphi} \sin \xi \sin \varphi \cos \varphi - N_{\alpha} \cos \xi \sin \alpha \cos \varphi - D_{n\alpha} \cos \alpha \cos \varphi + D_{b\alpha} \sin \xi \sin \alpha \cos \varphi = 0$$

$$\textcircled{2} \rightarrow -N_{\varphi} \cos \xi \sin \varphi \cos \varphi + D_{n\varphi} \sin^2 \varphi + D_{b\varphi} \sin \xi \sin \varphi \cos \varphi + N_{\alpha} \cos \xi \cos \alpha \sin \varphi - D_{n\alpha} \sin \alpha \sin \varphi - D_{b\alpha} \sin \xi \cos \alpha \sin \varphi = 0$$

$$D_{n\varphi} = N_{\alpha} \cos \xi (\sin \alpha \cos \varphi - \cos \alpha \sin \varphi) + D_{n\alpha} (\sin \alpha \sin \varphi + \cos \alpha \cos \varphi) + D_{b\alpha} \sin \xi (\sin \varphi \cos \alpha - \sin \alpha \cos \varphi)$$

$$D_{n\varphi} = N_{\alpha} \cos \xi \sin(\alpha - \varphi) + D_{n\alpha} \cos(\alpha - \varphi) - D_{b\alpha} \sin \xi \sin(\alpha - \varphi)$$

$$\textcircled{1} \rightarrow N_{\varphi} \sin \xi \cos \xi \sin \varphi + D_{n\varphi} \sin \xi \cos \varphi - D_{b\varphi} \sin^2 \xi \sin \varphi - N_{\alpha} \sin \xi \cos \xi \sin \alpha - D_{n\alpha} \sin \xi \cos \alpha + D_{b\alpha} \sin^2 \xi \sin \alpha = 0$$

$$\textcircled{3} \rightarrow -N_{\varphi} \sin \xi \cos \xi \sin \varphi + \quad \quad \quad -D_{b\varphi} \cos^2 \xi \sin \varphi + N_{\alpha} \sin \xi \cos \xi \sin \varphi + \quad \quad \quad + D_{b\alpha} \cos^2 \xi \sin \varphi = 0$$

$$D_{b\varphi} \sin \varphi = D_{n\varphi} \sin \xi \cos \varphi + N_{\alpha} \sin \xi \cos \xi (\sin \varphi - \sin \alpha) - D_{n\alpha} \sin \xi \cos \alpha + D_{b\alpha} (\sin^2 \xi \sin \alpha + \cos^2 \xi \sin \varphi)$$

$$D_{b\varphi} \sin \varphi = N_{\alpha} (\sin \xi \cos \xi \cos \varphi \sin(\alpha - \varphi) + \sin \xi \cos \xi (\sin \varphi - \sin \alpha)) +$$

$$+ D_{n\alpha} (\sin \xi \cos \varphi \cos(\alpha - \varphi) - \sin \xi \cos \alpha) +$$

$$+ D_{b\alpha} (-\sin^2 \xi \cos \varphi \sin(\alpha - \varphi) + \sin^2 \xi \sin \alpha + \cos^2 \xi \sin \varphi) =$$

$$= N_{\alpha} (\sin \xi \cos \xi [(\sin \alpha \cos^2 \varphi - \sin \alpha) + (\sin \varphi - \sin \varphi \cos \varphi \cos \alpha)]) +$$

$$+ D_{n\alpha} (\sin \xi \cos \alpha \cos^2 \varphi + \sin \xi \sin \varphi \cos \varphi \sin \alpha - \sin \xi \cos \alpha) +$$

$$+ D_{b\alpha} (-\sin^2 \xi \sin \alpha \cos^2 \varphi + \sin^2 \xi \cos \alpha \sin \varphi \cos \varphi + \sin^2 \xi \sin \alpha + \cos^2 \xi \sin \varphi)$$

$$D_{b\varphi} = N_{\alpha} \sin \xi \cos \xi [-\cos(\alpha - \varphi)] + D_{n\alpha} \sin \xi [\sin(\alpha - \varphi)] + D_{b\alpha} [\cos^2 \xi + \sin^2 \xi \cos(\alpha - \varphi)]$$

De gevonden resultaten voor $D_{n\varphi}$ en $D_{b\varphi}$ substitueren we in (3) en een uitdrukking voor N_{φ} te verkrijgen

$$N_{\varphi} \sin \zeta = -D_{b\varphi} \cos \zeta + N_{\alpha} \sin \zeta + D_{b\alpha} \cos \zeta$$

$$\begin{aligned} N_{\varphi} \sin \zeta = & N_{\alpha} \left(\sin \zeta \cos^2 \zeta [\cos(\alpha-\varphi)-1] + \sin \zeta \right) + \\ & + D_{n\alpha} \left(-\sin \zeta \cos \zeta \sin(\alpha-\varphi) \right) + \\ & + D_{b\alpha} \left(-\cos^3 \zeta - \sin^2 \zeta \cos \zeta \cos(\alpha-\varphi) + \cos \zeta \right) \end{aligned}$$

$$N_{\varphi} = N_{\alpha} \left[\sin^2 \zeta + \cos^2 \zeta \cos(\alpha-\varphi) \right] + D_{n\alpha} \left[-\cos \zeta \sin(\alpha-\varphi) \right] + D_{b\alpha} \left[\sin \zeta \cos \zeta (1 - \cos(\alpha-\varphi)) \right]$$

II.4 Momentenequilibrium

x-richtung

$$A \left\{ \begin{aligned} & M_{W\varphi} \cos \xi \sin \varphi + M_{U\varphi} \cos \varphi - M_{b\varphi} \sin \xi \sin \varphi + \\ & - M_{W\alpha} \cos \xi \sin \alpha - M_{U\alpha} \cos \alpha + M_{b\alpha} \sin \xi \sin \alpha + \\ & - a \tan \xi (\alpha - \varphi) (N_{\alpha} \cos \xi \cos \alpha - D_{n\alpha} \sin \alpha - D_{b\alpha} \sin \xi \cos \alpha) + \\ & + (a \sin \alpha - a \sin \varphi) (N_{\alpha} \sin \xi + D_{b\alpha} \cos \xi) = 0 \end{aligned} \right.$$

y-richtung

$$B \left\{ \begin{aligned} & - M_{W\varphi} \cos \xi \cos \varphi + M_{U\varphi} \sin \varphi + M_{b\varphi} \sin \xi \cos \varphi + \\ & + M_{W\alpha} \cos \xi \cos \alpha - M_{U\alpha} \sin \alpha - M_{b\alpha} \sin \xi \cos \alpha + \\ & + a \tan \xi (\alpha - \varphi) (-N_{\alpha} \cos \xi \sin \alpha - D_{n\alpha} \cos \alpha + D_{b\alpha} \sin \xi \sin \alpha) + \\ & + (a \cos \varphi - a \cos \alpha) (N_{\alpha} \sin \xi + D_{b\alpha} \cos \xi) = 0 \end{aligned} \right.$$

z-richtung

$$C \left\{ \begin{aligned} & - M_{W\varphi} \sin \xi - M_{b\varphi} \cos \xi + \\ & + M_{W\alpha} \sin \xi + M_{b\alpha} \cos \xi + \\ & + (a \sin \varphi - a \sin \alpha) (-N_{\alpha} \cos \xi \sin \alpha - D_{n\alpha} \cos \alpha + D_{b\alpha} \sin \xi \sin \alpha) + \\ & - (a \cos \varphi - a \cos \alpha) (N_{\alpha} \cos \xi \cos \alpha - D_{n\alpha} \sin \alpha - D_{b\alpha} \sin \xi \cos \alpha) = 0 \end{aligned} \right.$$

Ergebnis:

- ① $M_{W\varphi} \cos \xi \sin \varphi + M_{U\varphi} \cos \varphi - M_{b\varphi} \sin \xi \sin \varphi + A = 0$
- ② $-M_{W\varphi} \cos \xi \cos \varphi + M_{U\varphi} \sin \varphi + M_{b\varphi} \sin \xi \cos \varphi + B = 0$
- ③ $-M_{W\varphi} \sin \xi - M_{b\varphi} \cos \xi + C = 0$

$$\textcircled{1} \quad M_{w\varphi} \cos \xi \sin \varphi \cos \varphi + M_{n\varphi} \cos^2 \varphi - M_{b\varphi} \sin \xi \sin \varphi \cos \varphi + A \cos \varphi = 0$$

$$\textcircled{2} \quad -M_{w\varphi} \cos \xi \sin \varphi \cos \varphi + M_{n\varphi} \sin^2 \varphi + M_{b\varphi} \sin \xi \sin \varphi \cos \varphi + B \sin \varphi = 0$$

+

$$M_{n\varphi} = -A \cos \varphi - B \sin \varphi$$

$$\textcircled{1} \quad M_{w\varphi} \sin \xi \cos \xi \sin \varphi + M_{n\varphi} \sin \xi \cos \varphi - M_{b\varphi} \sin^2 \xi \sin \varphi + A \sin \xi = 0$$

$$\textcircled{2} \quad -M_{w\varphi} \sin \xi \cos \xi \sin \varphi - M_{b\varphi} \cos^2 \xi \sin \varphi + C \cos \xi \sin \varphi = 0$$

+

$$M_{n\varphi} \sin \xi \cos \varphi - M_{b\varphi} \sin \varphi + A \sin \xi + C \cos \xi \sin \varphi = 0$$

$$M_{b\varphi} \sin \varphi = -A \sin \xi \cos^2 \varphi - B \sin \xi \sin \varphi \cos \varphi + A \sin \xi + C \cos \xi \sin \varphi$$

$$M_{b\varphi} \sin \varphi = A \sin \xi \sin^2 \varphi - B \sin \xi \sin \varphi \cos \varphi + C \cos \xi \sin \varphi$$

$$M_{b\varphi} = A \sin \xi \sin \varphi - B \sin \xi \cos \varphi + C \cos \xi$$

$$\textcircled{3} \quad M_{w\varphi} \sin \xi = -M_{b\varphi} \cos \xi + C$$

$$M_{w\varphi} \sin \xi = -A \sin \xi \cos \xi \sin \varphi + B \sin \xi \cos \xi \cos \varphi - C \cos^2 \xi + C$$

$$M_{w\varphi} = -A \cos \xi \sin \varphi + B \cos \xi \cos \varphi + C \sin \xi$$

We kunnen nu overgaan tot substitutie van A , B en C

$$\begin{aligned}
M_{ny} = & \left\{ \cos \varphi \cdot a \tan \xi (\alpha - \varphi) \cos \xi \cos \alpha - \cos \varphi \cdot (a \sin \alpha - a \sin \varphi) \sin \xi + \right. \\
& \left. \sin \varphi \cdot a \tan \xi (\alpha - \varphi) \cos \xi \sin \alpha - \sin \varphi \cdot (a \cos \varphi - a \cos \alpha) \sin \xi \right\} N_{\alpha}^{+} \\
& + \left\{ -\cos \varphi \cdot a \tan \xi (\alpha - \varphi) \sin \alpha + \sin \varphi \cdot a \tan \xi (\alpha - \varphi) \cos \alpha \right\} D_{n\alpha}^{+} \\
& + \left\{ -\cos \varphi \cdot a \tan \xi (\alpha - \varphi) \sin \xi \cos \alpha - \cos \varphi (a \sin \alpha - a \sin \varphi) \cos \xi + \right. \\
& \left. -\sin \varphi \cdot a \tan \xi (\alpha - \varphi) \sin \xi \sin \alpha - \sin \varphi (a \cos \varphi - a \cos \alpha) \cos \xi \right\} D_{b\alpha}^{+} \\
& + \left\{ \cos \varphi \cos \xi \sin \alpha - \sin \varphi \cos \xi \cos \alpha \right\} M_{W\alpha} + \\
& + \left\{ \cos \varphi \cos \alpha + \sin \varphi \sin \alpha \right\} M_{n\alpha} + \\
& + \left\{ -\cos \varphi \sin \xi \sin \alpha + \sin \varphi \sin \xi \cos \alpha \right\} M_{b\alpha}
\end{aligned}$$

$$\begin{aligned}
M_{ny} = & a \sin \xi \left[(\alpha - \varphi) \cos(\alpha - \varphi) - \sin(\alpha - \varphi) \right] N_{\alpha}^{+} \\
& + a \tan \xi (\alpha - \varphi) \cdot \left[-\sin(\alpha - \varphi) \right] D_{n\alpha}^{+} \\
& + a \left[-\sin \xi \tan \xi (\alpha - \varphi) \cos(\alpha - \varphi) - \cos \xi \sin(\alpha - \varphi) \right] D_{b\alpha}^{+} \\
& + \cos \xi \cdot \sin(\alpha - \varphi) M_{W\alpha} + \cos(\alpha - \varphi) M_{n\alpha} + \\
& + \sin \xi \left[-\sin(\alpha - \varphi) \right] M_{b\alpha}
\end{aligned}$$

$$\begin{aligned}
M_{b\varphi} = & \left\{ \begin{aligned} & -a \tan \xi \sin \xi (\alpha - \varphi) \cos \xi \cos \alpha \sin \varphi + \sin \xi \sin \varphi (a \sin \alpha - a \sin \varphi) \sin \xi + \\ & + a \tan \xi \sin \xi (\alpha - \varphi) \cos \xi \sin \alpha \cos \varphi - \sin \xi \cos \varphi (a \cos \varphi - a \cos \alpha) \sin \xi + \\ & - \cos \xi (a \sin \varphi - a \sin \alpha) \cos \xi \sin \alpha - \cos \xi (a \cos \varphi - a \cos \alpha) \cos \xi \cos \alpha \end{aligned} \right\} N_{\alpha} + \\
& + \left\{ \begin{aligned} & a \tan \xi \sin \xi (\alpha - \varphi) \sin \alpha \sin \varphi + a \tan \xi \sin \xi (\alpha - \varphi) \cos \alpha \cos \varphi + \\ & - (a \sin \varphi - a \sin \alpha) \cos \xi \cos \alpha + (a \cos \varphi - a \cos \alpha) \cos \xi \sin \alpha \end{aligned} \right\} D_{n\alpha} + \\
& + \left\{ \begin{aligned} & a \tan \xi (\alpha - \varphi) \sin^2 \xi \cos \alpha \sin \varphi + (a \sin \alpha - a \sin \varphi) \sin \xi \cos \xi \sin \varphi + \\ & - a \tan \xi (\alpha - \varphi) \sin^2 \xi \sin \alpha \cos \varphi - (a \cos \varphi - a \cos \alpha) \sin \xi \cos \xi \cos \varphi + \\ & + (a \sin \varphi - a \sin \alpha) \sin \xi \cos \xi \sin \alpha + (a \cos \varphi - a \cos \alpha) \sin \xi \cos \xi \cos \alpha \end{aligned} \right\} D_{b\alpha} + \\
& + \left\{ -\sin \xi \cos \xi \sin \varphi \sin \alpha - \sin \xi \cos \xi \cos \varphi \cos \alpha + \sin \xi \cos \xi \right\} M_{W\alpha} + \\
& + \left\{ -\sin \xi \cos \alpha \sin \varphi + \sin \xi \cos \varphi \sin \alpha \right\} M_{n\alpha} + \\
& + \left\{ \sin^2 \xi \sin \alpha \sin \varphi + \sin^2 \xi \cos \alpha \cos \varphi + \cos^2 \xi \right\} M_{b\alpha}
\end{aligned}$$

$$\begin{aligned}
M_{b\varphi} = & a \left[\sin^2 \xi \left\{ (\alpha - \varphi) \sin(\alpha - \varphi) + \cos(\alpha - \varphi) - 1 \right\} + \cos^2 \xi (1 - \cos(\alpha - \varphi)) \right] N_{\alpha} + \\
& + a \left[\sin \xi \tan \xi (\alpha - \varphi) \cos(\alpha - \varphi) + \cos \xi \sin(\alpha - \varphi) \right] D_{n\alpha} + \\
& + a \left[\sin^2 \xi \tan \xi \left\{ -(\alpha - \varphi) \sin(\alpha - \varphi) \right\} + \sin \xi \cos \xi (2 \cos(\alpha - \varphi) - 2) \right] D_{b\alpha} + \\
& + \sin \xi \cos \xi [1 - \cos(\alpha - \varphi)] M_{W\alpha} + \\
& + \sin \xi \cdot \sin(\alpha - \varphi) \cdot M_{n\alpha} + \\
& + \left[\sin^2 \xi \cos(\alpha - \varphi) + \cos^2 \xi \right] M_{b\alpha}
\end{aligned}$$

$$\begin{aligned}
M_{W\varphi} = & \left\{ \begin{aligned} & a \tan \zeta (\alpha - \varphi) \cos^2 \zeta \cos \alpha \sin \varphi - (a \sin \alpha - a \sin \varphi) \sin \zeta \cos \zeta \sin \varphi + \\ & - a \tan \zeta (\alpha - \varphi) \cos^2 \zeta \sin \alpha \cos \varphi + (a \cos \varphi - a \cos \alpha) \sin \zeta \cos \zeta \cos \varphi + \\ & - (a \sin \varphi - a \sin \alpha) \sin \zeta \cos \zeta \sin \alpha - (a \cos \varphi - a \cos \alpha) \sin \zeta \cos \zeta \cos \alpha \end{aligned} \right\} N_{\alpha}^{+} \\
& + \left\{ \begin{aligned} & - a \tan \zeta (\alpha - \varphi) \sin \alpha \cos \zeta \sin \varphi - a \tan \zeta (\alpha - \varphi) \cos \alpha \cos \zeta \cos \varphi + \\ & - (a \sin \varphi - a \sin \alpha) \cos \alpha \sin \zeta + (a \cos \varphi - a \cos \alpha) \sin \alpha \sin \zeta \end{aligned} \right\} D_{n\alpha}^{+} \\
& + \left\{ \begin{aligned} & - a \tan \zeta (\alpha - \varphi) \sin \zeta \cos \zeta \cos \alpha \sin \varphi - (a \sin \alpha - a \sin \varphi) \cos^2 \zeta \sin \varphi + \\ & + a \tan \zeta (\alpha - \varphi) \sin \zeta \cos \zeta \sin \alpha \cos \varphi + (a \cos \varphi - a \cos \alpha) \cos^2 \zeta \cos \varphi + \\ & + (a \sin \varphi - a \sin \alpha) \sin^2 \zeta \sin \alpha + (a \cos \varphi - a \cos \alpha) \sin^2 \zeta \cos \alpha \end{aligned} \right\} D_{b\alpha}^{+} \\
& + \left\{ \cos^2 \zeta \sin \alpha \sin \varphi + \cos^2 \zeta \cos \alpha \cos \varphi + \sin^2 \zeta \right\} M_{W\alpha}^{+} \\
& + \left\{ \cos \zeta \sin \varphi \cos \alpha - \cos \zeta \sin \alpha \cos \varphi \right\} M_{n\alpha}^{+} \\
& + \left\{ - \sin \zeta \cos \zeta \sin \varphi \sin \alpha - \sin \zeta \cos \zeta \cos \varphi \cos \alpha + \sin \zeta \cos \zeta \right\} M_{b\alpha}
\end{aligned}$$

$$\begin{aligned}
M_{W\varphi} = & a \sin \zeta \cos \zeta \left[-(\alpha - \varphi) \sin(\alpha - \varphi) + 2 - 2 \cos(\alpha - \varphi) \right] N_{\alpha}^{+} \\
& + a \sin \zeta \left[-(\alpha - \varphi) \cos(\alpha - \varphi) + \sin(\alpha - \varphi) \right] D_{n\alpha}^{+} \\
& + a \left[\sin^2 \zeta \left\{ (\alpha - \varphi) \sin(\alpha - \varphi) - 1 + \cos(\alpha - \varphi) \right\} + \cos^2 \zeta \left\{ 1 - \cos(\alpha - \varphi) \right\} \right] D_{b\alpha}^{+} \\
& + \left[\sin^2 \zeta + \cos^2 \zeta \cos(\alpha - \varphi) \right] M_{W\alpha}^{+} \\
& + \cos \zeta \left[-\sin(\alpha - \varphi) \right] M_{n\alpha}^{+} \\
& + \sin \zeta \cos \zeta \left[1 - \cos(\alpha - \varphi) \right]
\end{aligned}$$

II.5 De elastische vervormingsenergie

We gaan nu de elastische vervormingsenergie bepalen die is opgehoopt in een stukje van de spiraalweer ten gevolge van de uitwendige belasting.

We bekijken het stukje, begrensd door $\varphi = 0$ en $\varphi = \alpha$

We willen de elastische inwendige energie van dit stukje uitdrukken in de medegrooteden op de plaats " α ", om dan later "Castigliano" toe te passen.

We verwaarlozen de energie tgv afschuiving door de dwarskrachten en de rek door de normaalkracht.

$$A_{\text{tot}} = \frac{1}{2EI_n} \int_s M_{n\varphi}^2 ds + \frac{1}{2EI_b} \int_s M_{b\varphi}^2 ds + \frac{1}{2GJ_p} \int_s M_{w\varphi}^2 ds$$

$$ds = d\varphi \sqrt{a^2 + a^2 \tan^2 \zeta} = \frac{a d\varphi}{\cos \zeta}$$

$$A_{\text{tot}} = A_{bn} + A_{bb} + A_w$$

$$A_{bn} = \frac{a}{2EI_n \cos \zeta} \int_0^\alpha M_{n\varphi}^2 d\varphi$$

$$A_{bb} = \frac{a}{2EI_b \cos \zeta} \int_0^\alpha M_{b\varphi}^2 d\varphi$$

$$A_w = \frac{a}{2GJ_p \cos \zeta} \int_0^\alpha M_{w\varphi}^2 d\varphi$$

Om deze arbeiden te bepalen hebben we een aantal integralen nodig, die nu eerst worden berekend.

II.6 Berechnung charakteristische integralen

$$\int_0^{\alpha} 1 d\varphi = \alpha$$

$$\int_0^{\alpha} \sin(\alpha - \varphi) d\varphi = 1 - \cos \alpha$$

$$\int_0^{\alpha} \cos(\alpha - \varphi) d\varphi = \sin \alpha$$

$$\int_0^{\alpha} (\alpha - \varphi) \sin(\alpha - \varphi) d\varphi = \sin \alpha - \alpha \cos \alpha$$

$$\int_0^{\alpha} (\alpha - \varphi) \cos(\alpha - \varphi) d\varphi = -1 + \cos \alpha + \alpha \sin \alpha$$

$$\int_0^{\alpha} \sin^2(\alpha - \varphi) d\varphi = \frac{1}{2} \alpha - \frac{1}{4} \sin 2\alpha$$

$$\int_0^{\alpha} \cos^2(\alpha - \varphi) d\varphi = \frac{1}{2} \alpha + \frac{1}{4} \sin 2\alpha$$

$$\int_0^{\alpha} \sin(\alpha - \varphi) \cos(\alpha - \varphi) d\varphi = \frac{1}{4} - \frac{1}{4} \cos 2\alpha$$

$$\int_0^{\alpha} (\alpha - \varphi) \sin^2(\alpha - \varphi) d\varphi = \frac{1}{8} + \frac{1}{4} \alpha^2 - \frac{1}{4} \alpha \sin 2\alpha - \frac{1}{8} \cos 2\alpha$$

$$\int_0^{\alpha} (\alpha - \varphi) \cos^2(\alpha - \varphi) d\varphi = -\frac{1}{8} + \frac{1}{4} \alpha^2 + \frac{1}{4} \alpha \sin 2\alpha + \frac{1}{8} \cos 2\alpha$$

$$\int_0^{\alpha} (\alpha - \varphi) \sin(\alpha - \varphi) \cos(\alpha - \varphi) d\varphi = -\frac{1}{4} \alpha \cos 2\alpha + \frac{1}{8} \sin 2\alpha$$

$$\int_0^{\alpha} (\alpha - \varphi)^2 \sin^2(\alpha - \varphi) d\varphi = \frac{1}{6} \alpha^3 + \frac{1}{8} \sin 2\alpha - \frac{1}{4} \alpha^2 \sin 2\alpha - \frac{1}{4} \alpha \cos 2\alpha$$

$$\int_0^{\alpha} (\alpha - \varphi)^2 \cos^2(\alpha - \varphi) d\varphi = \frac{1}{6} \alpha^3 - \frac{1}{8} \sin 2\alpha + \frac{1}{4} \alpha^2 \sin 2\alpha + \frac{1}{4} \alpha \cos 2\alpha$$

$$\int_0^{\alpha} (\alpha - \varphi)^2 \sin(\alpha - \varphi) \cos(\alpha - \varphi) d\varphi = -\frac{1}{8} + \frac{1}{4} \alpha \sin 2\alpha + \frac{1}{8} \cos 2\alpha - \frac{1}{4} \alpha^2 \cos 2\alpha$$

II.4 Berekening van de inwendige energie

De gedeelten van de inwendige energie:

$$A_{bn}, A_{bb} \text{ en } A_w$$

worden geschreven in de volgende vorm:

$$A = \text{const} * \begin{pmatrix} N_{\alpha} & D_{n\alpha} & D_{b\alpha} & M_{w\alpha} & M_{n\alpha} & M_{b\alpha} \end{pmatrix} * \begin{pmatrix} N_{\alpha} \\ D_{n\alpha} \\ D_{b\alpha} \\ M_{w\alpha} \\ M_{n\alpha} \\ M_{b\alpha} \end{pmatrix} * Q$$

Hierin is Q een symmetrische (6×6) matrix; waarvan slechts de rechterbovenhelft zal worden neergeschreven.

Deze schrijfwijze is overzichtelijk en maakt later het differentiëren eenvoudig.

$$\left\{ N_{\alpha}, D_{n\alpha}, D_{b\alpha}, M_{n\alpha}, M_{b\alpha} \right\}^*$$

N_{α}	$\alpha^2 \sin^2 \xi^*$ $\left[\frac{1}{6} \alpha^3 + \frac{1}{2} \alpha + \frac{3}{14} \alpha \cos 2\alpha + \frac{1}{4} \alpha^3 \sin 2\alpha \right]$	$\alpha^2 \sin \xi \tan \xi^*$ $\left[\frac{1}{4} + \frac{1}{4} \alpha^2 + \frac{1}{2} \alpha \sin 2\alpha + \frac{1}{4} \alpha^3 \cos 2\alpha \right]$	$\alpha^2 \sin^3 \tan \xi^*$ $\left[-\frac{1}{6} \alpha^3 + \frac{1}{4} \alpha \sin 2\alpha + \frac{1}{8} \alpha^3 \sin 2\alpha - \frac{1}{2} \alpha \cos 2\alpha \right]$	$\alpha \sin \xi \cos \xi^*$ $\left[-\frac{1}{4} \alpha + \frac{3}{8} \sin 2\alpha + \frac{1}{4} \alpha \cos 2\alpha \right]$	$\alpha \sin \xi^*$ $\left[-\frac{3}{8} + \frac{1}{4} \alpha^2 + \frac{1}{4} \alpha \sin 2\alpha \right]$	$\alpha \sin^3 \xi^*$ $\left[\frac{1}{2} \alpha - \frac{3}{8} \sin 2\alpha + \frac{1}{4} \alpha \cos 2\alpha \right]$
$D_{n\alpha}$	$\alpha^2 \tan^2 \xi^*$ $\left[\frac{1}{6} \alpha^3 + \frac{1}{2} \alpha \sin 2\alpha + \frac{1}{4} \alpha \cos 2\alpha + \frac{1}{4} \alpha^3 \sin 2\alpha \right]$	$\alpha^2 \sin \xi \tan \xi^*$ $\left[-\frac{1}{8} + \frac{1}{4} \alpha \sin 2\alpha + \frac{1}{8} \cos 2\alpha - \frac{1}{4} \alpha^3 \cos 2\alpha \right]$	$\alpha^2 \sin^3 \tan \xi^*$ $\left[-\frac{1}{8} + \frac{1}{4} \alpha \sin 2\alpha + \frac{1}{8} \cos 2\alpha - \frac{1}{4} \alpha^3 \cos 2\alpha \right]$	$\alpha \sin \xi^*$ $\left[-\frac{1}{8} - \frac{1}{4} \alpha^2 + \frac{1}{4} \alpha \sin 2\alpha + \frac{1}{8} \alpha \cos 2\alpha \right]$	$\alpha \tan \xi^*$ $\left[-\frac{1}{8} \sin 2\alpha + \frac{1}{4} \alpha \cos 2\alpha \right]$	$\alpha \sin \xi \tan \xi^*$ $\left[\frac{1}{8} \alpha \sin 2\alpha + \frac{1}{4} \alpha \cos 2\alpha - \frac{1}{4} \alpha \sin 2\alpha \right]$
$M_{n\alpha}$	$\alpha^2 \sin^2 \xi^*$ $\left[\frac{1}{6} \alpha^3 - \frac{1}{2} \alpha \sin 2\alpha + \frac{1}{4} \alpha \cos 2\alpha + \frac{1}{4} \alpha^3 \sin 2\alpha \right]$	$\alpha^2 \sin \xi \tan \xi^*$ $\left[\frac{1}{2} \alpha - \frac{1}{4} \alpha \sin 2\alpha + \frac{1}{4} \alpha \cos 2\alpha \right]$	$\alpha^2 \sin^3 \tan \xi^*$ $\left[\frac{1}{6} \alpha^3 - \frac{1}{2} \alpha \sin 2\alpha + \frac{1}{4} \alpha \cos 2\alpha + \frac{1}{4} \alpha^3 \sin 2\alpha \right]$	$\alpha \sin \xi^*$ $\left[\frac{1}{2} \alpha - \frac{1}{4} \alpha \sin 2\alpha \right]$	$\alpha \cos \xi^*$ $\left[\frac{1}{4} - \frac{1}{4} \alpha \cos 2\alpha \right]$	$\alpha \sin \xi \cos \xi^*$ $\left[-\frac{1}{2} \alpha + \frac{1}{4} \alpha \sin 2\alpha \right]$
$M_{b\alpha}$	$\alpha^2 \sin^2 \xi^*$ $\left[\frac{1}{6} \alpha^3 - \frac{1}{2} \alpha \sin 2\alpha + \frac{1}{4} \alpha \cos 2\alpha + \frac{1}{4} \alpha^3 \sin 2\alpha \right]$	$\alpha^2 \sin \xi \tan \xi^*$ $\left[\frac{1}{2} \alpha - \frac{1}{4} \alpha \sin 2\alpha + \frac{1}{4} \alpha \cos 2\alpha \right]$	$\alpha^2 \sin^3 \tan \xi^*$ $\left[\frac{1}{6} \alpha^3 - \frac{1}{2} \alpha \sin 2\alpha + \frac{1}{4} \alpha \cos 2\alpha + \frac{1}{4} \alpha^3 \sin 2\alpha \right]$	$\alpha \sin \xi^*$ $\left[\frac{1}{2} \alpha - \frac{1}{4} \alpha \sin 2\alpha \right]$	$\alpha \cos \xi^*$ $\left[\frac{1}{4} - \frac{1}{4} \alpha \cos 2\alpha \right]$	$\alpha \sin \xi \cos \xi^*$ $\left[-\frac{1}{2} \alpha + \frac{1}{4} \alpha \sin 2\alpha \right]$

$$A_{b_n} = \frac{\alpha}{2EI_n \cos \xi^*}$$

$M_{b\alpha}$

$M_{n\alpha}$

$M_{b\alpha}$

$D_{b\alpha}$

$D_{n\alpha}$

N_{α}

8 De verplaatsingen van punt B

u_α : verplaatsing in raakrichting:

$$u_\alpha = \frac{\partial A}{\partial N_\alpha} \quad \text{componenten} \begin{cases} x: -u_\alpha \cos \zeta \sin \alpha \\ y: u_\alpha \cos \zeta \cos \alpha \\ z: u_\alpha \sin \zeta \end{cases}$$

v_α : verplaatsing in normaalrichting:

$$v_\alpha = \frac{\partial A}{\partial D_{n\alpha}} \quad \text{componenten} \begin{cases} x: -v_\alpha \cos \alpha \\ y: -v_\alpha \sin \alpha \\ z: 0 \end{cases}$$

w_α : verplaatsing in binormaalrichting:

$$w_\alpha = \frac{\partial A}{\partial D_{b\alpha}} \quad \text{componenten} \begin{cases} x: w_\alpha \sin \zeta \sin \alpha \\ y: -w_\alpha \sin \zeta \cos \alpha \\ z: w_\alpha \cos \zeta \end{cases}$$

Totale verplaatsing in x-richting:

$$X = -\frac{\partial A}{\partial N_\alpha} \cos \zeta \sin \alpha - \frac{\partial A}{\partial D_{n\alpha}} \cos \alpha + \frac{\partial A}{\partial D_{b\alpha}} \sin \zeta \sin \alpha$$

Totale verplaatsing in y-richting:

$$Y = \frac{\partial A}{\partial N_\alpha} \cos \zeta \cos \alpha - \frac{\partial A}{\partial D_{n\alpha}} \sin \alpha - \frac{\partial A}{\partial D_{b\alpha}} \sin \zeta \cos \alpha$$

Totale verplaatsing in z-richting:

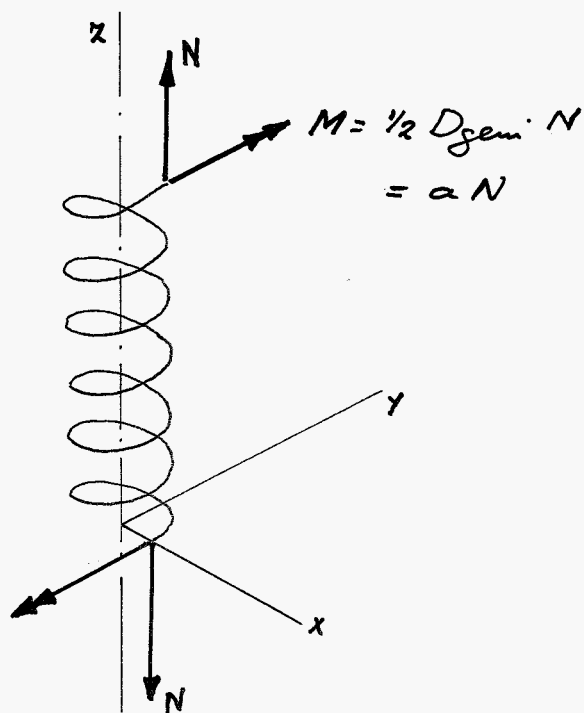
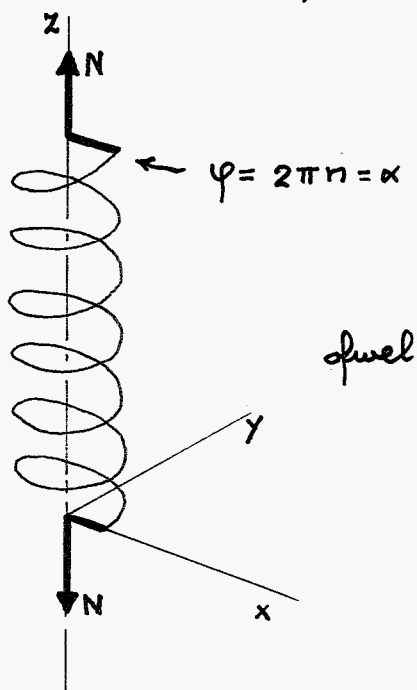
$$Z = \frac{\partial A}{\partial N_\alpha} \sin \zeta + \frac{\partial A}{\partial D_{b\alpha}} \cos \zeta$$

De hoekverhoudingen zijn op analoge wijze te vinden maar op dit ogenblik zijn die minder interessant voor ons, omdat we ons tot verplaatsingen willen beperken.

II.9 De theorie toegepast op twee speciale belastinggevallen

A Centraal op trek belaste veer.

We beperken ons tot een veer met een geheel aantal windingen



$$N_x = N \sin \xi$$

$$D_{bx} = N \cos \xi$$

$$D_{nz} = 0$$

$$M_{nx} = a N \cos \xi$$

$$M_{bz} = -a N \sin \xi$$

$$M_{nz} = 0$$

We willen de uitrekking van de veer weten, dus: ξ

$$\xi = \frac{\partial A}{\partial N_x} \sin \xi + \frac{\partial A}{\partial D_{bx}} \cos \xi$$

$$\begin{array}{ccc} \xi_1 & \xi_2 & \xi_3 \\ \uparrow & \uparrow & \uparrow \\ A_{bn} & A_{bb} & A_w \end{array}$$

$$\begin{array}{ccc} \xi_1 & \xi_2 & \xi_3 \\ \uparrow & \uparrow & \uparrow \\ A_{bn} & A_{bb} & A_w \end{array}$$

②

$$\frac{\partial A_{bn}}{\partial N_{\alpha}} = \frac{a}{EI_n \cos \zeta} * \begin{cases} [a^2 \sin^2 \zeta (\frac{1}{3} \pi^2 n^2 + \pi n + \frac{3}{2} \pi n)] N_{\alpha} + \\ [a^2 \sin^2 \zeta \tan \zeta (-\frac{1}{3} \pi^2 n^2 - \pi n) + a^2 \sin \zeta \cos \zeta (\pi n + \frac{1}{2} \pi n)] D_{b\alpha} + \\ [a \sin \zeta \cos \zeta (-\pi n - \frac{1}{2} \pi n)] M_{w\alpha} + \\ [a \sin^2 \zeta (\pi n + \frac{1}{2} \pi n)] M_{b\alpha} \end{cases}$$

$$= \frac{a^3 N}{EI_n \cos \zeta} \cdot \left[\sin^3 \zeta (\frac{1}{3} \pi^2 n^2 + \frac{5}{2} \pi n - \frac{1}{3} \pi^2 n^2 - \pi n - \frac{3}{2} \pi n) + \sin \zeta \cos^2 \zeta (\frac{3}{2} \pi n - \frac{3}{2} \pi n) \right]$$

$$= 0$$

$$\rightarrow \zeta_1 = 0$$

③

$$\frac{\partial A_{bn}}{\partial D_{b\alpha}} = \frac{a}{EI_n \cos \zeta} * \begin{cases} [a^2 \sin^2 \zeta \tan \zeta (-\frac{1}{3} \pi^2 n^2 - \pi n) + a^2 \sin \zeta \cos \zeta (\frac{3}{2} \pi n)] N_{\alpha} + \\ [a^2 \sin^2 \zeta \tan^2 \zeta (\frac{1}{3} \pi^2 n^2 + \frac{1}{2} \pi n) + a^2 \cos^2 \zeta (\pi n) + a^2 \sin^2 \zeta (-\pi n)] D_{b\alpha} + \\ [a \sin^2 \zeta (\frac{1}{2} \pi n) + a \cos^2 \zeta (-\pi n)] M_{w\alpha} + \\ [a \sin^2 \zeta \tan \zeta (-\frac{1}{2} \pi n) + a \sin \zeta \cos \zeta (\pi n)] M_{b\alpha} \end{cases}$$

$$= \frac{a^3 N}{EI_n \cos \zeta} \cdot \left[\sin \zeta \tan \zeta (-\frac{1}{3} \pi^2 n^2 - \pi n + \frac{1}{3} \pi^2 n^2 + \frac{1}{2} \pi n + \frac{1}{2} \pi n) + \sin^2 \zeta \cos \zeta (\frac{3}{2} \pi n - \pi n + \frac{1}{2} \pi n - \pi n) + \cos^3 \zeta (\pi n - \pi n) \right]$$

$$= 0$$

$$\rightarrow \zeta_2 = 0$$

Dus:

$$\boxed{\zeta_1 + \zeta_2 = 0}$$

$$\textcircled{2} \quad \frac{\partial A_{bb}}{\partial N_{\alpha}} = \frac{a}{EI_b \cos^3 \xi} * \left\{ \begin{aligned} & \left[a^2 \sin^4 \xi \left(\frac{1}{3} \pi^3 n^3 + 3\pi n + 4\pi n - \frac{1}{2} \pi n \right) + a^2 \cos^4 \xi (3\pi n) + a^2 \sin^2 \xi \cos^2 \xi (-6\pi n - 4\pi n + \pi n) \right] N_{\alpha} + \\ & \left[a^2 \sin^4 \xi \tan^2 \xi \left(-\frac{1}{3} \pi^3 n^3 - 2\pi n + \pi n \right) + a^2 \sin^2 \xi \cos^2 \xi (-6\pi n) + a^2 \sin^2 \xi \cos^2 \xi (6\pi n + 6\pi n - \frac{3}{2} \pi n) \right] D_{b\alpha} + \\ & \left[a \sin^3 \xi \cos \xi (-3\pi n - 2\pi n + \frac{1}{2} \pi n) + a \sin \xi \cos^3 \xi (3\pi n) \right] M_{w\alpha} + \\ & \left[a \sin^4 \xi \left(\pi n - \frac{1}{2} \pi n \right) + a \cos^4 \xi (2\pi n) + a \sin^2 \xi \cos^2 \xi (-3\pi n - 2\pi n) \right] M_{b\alpha} \end{aligned} \right.$$

$$= \frac{a^3 N}{EI_b \cos^3 \xi} \left[\sin^5 \xi \left(\frac{1}{3} \pi^3 n^3 + \frac{1}{2} \pi n - \frac{1}{3} \pi^3 n^3 - \pi n - \frac{1}{2} \pi n \right) + \right.$$

$$\left. + \cos^4 \xi \sin \xi (3\pi n - 6\pi n + 3\pi n - 2\pi n) + \right.$$

$$\left. + \sin^3 \xi \cos^2 \xi (-9\pi n + \frac{2}{2} \pi n - \frac{9}{2} \pi n + 5\pi n) \right]$$

$$\rightarrow \gamma_2 = \frac{a^3 N}{EI_b} \cdot \frac{2 \sin^6 \xi - \cos^4 \xi \sin^2 \xi + \sin^4 \xi \cos^2 \xi}{\cos^3 \xi} \cdot 2\pi n$$

$$\textcircled{3} \quad \frac{\partial A_{bb}}{\partial D_{b\alpha}} = \frac{a}{EI_b \cos^3 \xi} * \left\{ \begin{aligned} & \left[a^2 \sin^4 \xi \tan^2 \xi \left(-\frac{1}{3} \pi^3 n^3 - 2\pi n + \pi n \right) + a^2 \sin^2 \xi \cos^2 \xi (-6\pi n) + \right. \\ & \left. + a^2 \sin^2 \xi \cos^2 \xi (6\pi n + 6\pi n - \frac{3}{2} \pi n) \right] N_{\alpha} + \\ & \left[a^2 \sin^4 \xi \tan^2 \xi \left(\frac{1}{3} \pi^3 n^3 - \frac{1}{2} \pi n \right) + a^2 \sin^2 \xi \cos^2 \xi (12\pi n) + a^2 \sin^4 \xi (-8\pi n + 2\pi n) \right] D_{b\alpha} + \\ & \left[a \sin^4 \xi (2\pi n - \frac{1}{2} \pi n) + a \sin^2 \xi \cos^2 \xi (-6\pi n) \right] M_{w\alpha} + \\ & \left[a \sin^4 \xi \tan^2 \xi \left(\frac{1}{2} \pi n \right) + a \sin \xi \cos^3 \xi (-4\pi n) + a \sin^3 \xi \cos \xi (2\pi n + 2\pi n) \right] M_{b\alpha} \end{aligned} \right.$$

$$= \frac{a^3 N}{EI_b \cos^3 \xi} \left[\sin^5 \xi \tan^2 \xi \left(-\frac{1}{3} \pi^3 n^3 - \pi n + \frac{1}{3} \pi^3 n^3 - \frac{1}{2} \pi n - \frac{1}{2} \pi n \right) + \right.$$

$$\left. + \sin^2 \xi \cos^3 \xi (-6\pi n + 12\pi n - 6\pi n + 4\pi n) + \right.$$

$$\left. + \sin^4 \xi \cos \xi \left(\frac{2}{2} \pi n - 6\pi n + \frac{3}{2} \pi n - 4\pi n \right) \right]$$

$$\rightarrow \vartheta_2 = \frac{a^3 N}{EI_b} \cdot \frac{-8 \sin^6 \xi + 2 \sin^2 \xi \cos^4 \xi + \sin^4 \xi \cos^2 \xi}{\cos^3 \xi} \cdot 2\pi n$$

$$\boxed{\gamma_2 + \vartheta_2 = \frac{a^3 N}{EI_b} \cdot \frac{2 \sin^2 \xi}{\cos^3 \xi} \cdot 2\pi n}$$

④

$$\frac{\partial \Pi}{\partial N} = \frac{a}{G I_p \cos \xi} * \begin{cases} \left[a^2 \sin^2 \xi \cos^2 \xi \left(\frac{4}{3} \pi^3 n^3 + 12 \pi n + 8 \pi n - \frac{5}{2} \pi n \right) \right] N_{\alpha} + \\ \left[a^2 \sin^2 \xi \cos^2 \xi \left(-\frac{4}{3} \pi^3 n^3 - 6 \pi n + 2 \pi n - 6 \pi n \right) + a^2 \sin^2 \xi \cos^2 \xi \left(6 \pi n + 2 \pi n - \frac{1}{2} \pi n \right) \right] D_{\alpha} + \\ \left[a \sin^2 \xi \cos^2 \xi \left(4 \pi n + 2 \pi n \right) + a \sin^2 \xi \cos^2 \xi \left(-2 \pi n + \frac{1}{2} \pi n \right) \right] M_{\omega \alpha} + \\ \left[a \sin^2 \xi \cos^2 \xi \left(6 \pi n + 2 \pi n - \frac{1}{2} \pi n \right) \right] M_{\beta \alpha} \end{cases}$$

$$= \frac{a^3 N}{G I_p \cos \xi} \left[\sin^2 \xi \cos^2 \xi \left(\frac{4}{3} \pi^3 n^3 + \frac{35}{2} \pi n - \frac{4}{3} \pi^3 n^3 - 10 \pi n + 6 \pi n - \frac{5}{2} \pi n \right) + \sin^2 \xi \cos^2 \xi \left(\frac{15}{2} \pi n - \frac{3}{2} \pi n \right) \right]$$

$$\rightarrow \delta_3 = \frac{a^3 N}{G I_p} \left(3 \sin^4 \xi \cos \xi + 3 \sin^2 \xi \cos^3 \xi \right) \cdot 2 \pi n$$

⑤

$$\frac{\partial \Pi}{\partial D_{\beta \alpha}} = \frac{a}{G I_p \cos \xi} * \begin{cases} \left[a^2 \sin^2 \xi \cos^2 \xi \left(-\frac{4}{3} \pi^3 n^3 - 6 \pi n - 6 \pi n + 2 \pi n \right) + a^2 \sin^2 \xi \cos^2 \xi \left(6 \pi n + 2 \pi n - \frac{1}{2} \pi n \right) \right] N_{\alpha} + \\ \left[a^2 \sin^4 \xi \left(\frac{4}{3} \pi^3 n^3 + 3 \pi n + 4 \pi n - \frac{3}{2} \pi n \right) + a^2 \cos^4 \xi \left(3 \pi n \right) + a^2 \cos^2 \xi \sin^2 \xi \left(-6 \pi n - 4 \pi n + \pi n \right) \right] D_{\beta \alpha} + \\ \left[a \sin^4 \xi \left(-2 \pi n - 2 \pi n \right) + a \cos^4 \xi \left(-\pi n \right) + a \sin^2 \xi \cos^2 \xi \left(3 \pi n - \frac{1}{2} \pi n \right) \right] M_{\omega \alpha} + \\ \left[a \sin^2 \xi \cos^2 \xi \left(-3 \pi n - 2 \pi n + \frac{1}{2} \pi n \right) + a \sin^2 \xi \cos^2 \xi \left(3 \pi n \right) \right] M_{\beta \alpha} \end{cases}$$

$$= \frac{a^3 N}{G I_p \cos \xi} \left[\sin^4 \xi \cos \xi \left(-\frac{4}{3} \pi^3 n^3 - 10 \pi n + \frac{4}{3} \pi^3 n^3 + \frac{1}{2} \pi n - 4 \pi n + \frac{3}{2} \pi n \right) + \sin^2 \xi \cos^3 \xi \left(\frac{15}{2} \pi n - 9 \pi n + \frac{5}{2} \pi n - 3 \pi n \right) + \cos^5 \xi \left(3 \pi n - \pi n \right) \right]$$

$$\rightarrow \mathfrak{D}_3 = \frac{a^3 N}{G I_p} \left(-2 \sin^4 \xi \cos \xi - \sin^2 \xi \cos^3 \xi + \cos^5 \xi \right) \cdot 2 \pi n$$

$$\delta_3 + \mathfrak{D}_3 = \frac{a^3 N}{G I_p} \cdot \cos \xi \cdot 2 \pi n$$

Voor de totale verplaatsing in z -richting: Z
vinden we:

$$Z = y_1 + \vartheta_1 + y_2 + \vartheta_2 + y_3 + \vartheta_3$$

$$Z = \frac{a^3 N}{EI_b} \cdot \frac{\sin^2 \xi}{\cos \xi} \cdot 2\pi n + \frac{a^3 N}{\rho I_p} \cdot \cos \xi \cdot 2\pi n$$

$$\frac{Z}{N} = a^3 \left\{ \frac{1}{EI_b} \cdot \frac{\sin^2 \xi}{\cos \xi} + \frac{1}{\rho I_p} \cos \xi \right\} \cdot 2\pi n$$

Voor de meest voorkomende schroefveren geldt dat de hoek ξ klein is.

$$\tan \xi = \frac{\text{spoed}}{2\pi \cdot a}$$

Dit betekent dat de eerste term: $\frac{1}{EI_b} \cdot \frac{\sin^2 \xi}{\cos \xi}$
slechts een geringe bijdrage zal leveren bij
de uitkomst van $\frac{Z}{N}$

Voor een ronde draaddoorsnede met draaddikte d
geldt verder:

$$I_p = \frac{\pi}{32} d^4$$

$$I_b = \frac{\pi}{64} d^4$$

n : aantal windingen van de veer.

Behalve de uitrekking van de veer, willen we ook de verplaatsingen in x en y -richting weten.

De uitdrukking $\frac{\partial A}{\partial D_{n\alpha}}$ is in dit verband interessant.

$$\overbrace{\mathcal{L}_1 + \mathcal{L}_2 + \mathcal{L}_3}$$

$$\begin{array}{ccc} \uparrow & \uparrow & \uparrow \\ A_{bn} & A_{bb} & A_w \end{array}$$

(\mathcal{L}_1)

$$\frac{\partial A_{bn}}{\partial D_{n\alpha}} = \frac{a}{EI_n \cos^3 \zeta} * \left\{ \begin{array}{l} [a^2 \sin^2 \zeta \tan^2 \zeta (\frac{1}{4} + \pi^2 n^2 - \frac{1}{4} + \pi^2 n^2)] N_{\alpha} + \\ [a^2 \sin^2 \zeta \tan^2 \zeta (-\pi^2 n^2) + a^2 \sin^2 \zeta (\pi^2 n^2)] D_{b\alpha} + \\ [a \sin^2 \zeta (-\pi^2 n^2)] M_{w\alpha} + \\ [a \sin^2 \zeta \tan^2 \zeta (\pi^2 n^2)] M_{b\alpha} \end{array} \right.$$

$$= \frac{a^3 N}{EI_n \cos^3 \zeta} \left[\sin^2 \zeta \tan^2 \zeta (2\pi^2 n^2 - \pi^2 n^2 - \pi^2 n^2) + \right. \\ \left. + \sin^2 \zeta \cos^2 \zeta (\pi^2 n^2 - \pi^2 n^2) \right] = 0$$

$$\mathcal{L}_1 = 0$$

(\mathcal{L}_2)

$$\frac{\partial A_{bb}}{\partial D_{n\alpha}} = \frac{a}{EI_b \cos^3 \zeta} * \left\{ \begin{array}{l} [a^2 \sin^2 \zeta \tan^2 \zeta (\pi^2 n^2 - \pi^2 n^2) + a^2 \cos^2 \zeta (0) + a^2 \sin^2 \zeta \cos^2 \zeta (0)] N_{\alpha} + \\ [a^2 \sin^2 \zeta \tan^2 \zeta (\pi^2 n^2) + a^2 \sin^2 \zeta \cos^2 \zeta (0) + a^2 \sin^2 \zeta (\pi^2 n^2)] D_{b\alpha} + \\ [a \sin^2 \zeta (-\pi^2 n^2) + a \sin^2 \zeta \cos^2 \zeta (0)] M_{w\alpha} + \\ [a \sin^2 \zeta \tan^2 \zeta (\pi^2 n^2) + a \cos^2 \zeta (0) + a \sin^2 \zeta \cos^2 \zeta (0)] M_{b\alpha} \end{array} \right.$$

$$= \frac{a^3 N}{EI_b \cos^3 \zeta} \left[\sin^2 \zeta \tan^2 \zeta (\pi^2 n^2 - \pi^2 n^2) + \sin^2 \zeta \cos^2 \zeta (\pi^2 n^2 - \pi^2 n^2) \right] = 0$$

$$\mathcal{L}_2 = 0$$

(L₃)

$$\frac{\partial A_N}{\partial D_{n\alpha}} = \frac{a}{\int I_p \cos^3 \zeta} * \begin{cases} [a^2 \sin^2 \zeta \cos \zeta (\pi^2 n^2 - \pi^2 n^2)] N_{\alpha} + \\ [a^2 \sin^3 \zeta (\pi^2 n^2) + a^2 \sin \zeta \cos^3 \zeta (\pi^2 n^2)] D_{b\alpha} + \\ [a \sin^3 \zeta (0) + a \sin \zeta \cos^3 \zeta (-\pi^2 n^2)] M_{w\alpha} + \\ [a \sin^2 \zeta \cos \zeta (\pi^2 n^2)] M_{b\alpha} \end{cases}$$

$$= \frac{a^3 N}{\int I_p \cos^3 \zeta} [\sin^2 \zeta \cos \zeta (\pi^2 n^2 - \pi^2 n^2) + \sin \zeta \cos^3 \zeta (\pi^2 n^2 - \pi^2 n^2)] = 0$$

$$\mathcal{L}_3 = 0$$

$$\rightarrow \frac{\partial A}{\partial D_{n\alpha}} = \mathcal{L}_1 + \mathcal{L}_2 + \mathcal{L}_3 = 0$$

Verder hebben we nodig:

$$\frac{\partial A}{\partial N_{\alpha}} = \frac{\mathcal{Y}_1 + \mathcal{Y}_2 + \mathcal{Y}_3}{\sin \zeta} \quad \text{en} \quad \frac{\partial A}{\partial D_{b\alpha}} = \frac{\mathcal{Z}_1 + \mathcal{Z}_2 + \mathcal{Z}_3}{\cos \zeta}$$

De verplaatsing in x-richting: χ wordt:

$$\chi = - \frac{\cos \zeta}{\sin \zeta} \cdot \sin \alpha \cdot (\mathcal{Y}_1 + \mathcal{Y}_2 + \mathcal{Y}_3) + \frac{\sin \zeta}{\cos \zeta} \sin \alpha (\mathcal{Z}_1 + \mathcal{Z}_2 + \mathcal{Z}_3)$$

\uparrow
 0

\uparrow
 0

$$\rightarrow \boxed{\chi = 0}$$

(dit wil nog niet zeggen dat de afstand a (= straal van de cilinder waarop men de windingen gewonden kan denken) niet verandert. De as van de veer kan namelijk best evenwijdig zijn verschoven)

De verplaatsing in y -richting Γ wordt:

$$\Gamma = + \frac{\cos \zeta}{\sin \zeta} \cos \alpha (Y_1 + Y_2 + Y_3) - \frac{\sin \zeta}{\cos \zeta} \cos \alpha (\Theta_1 + \Theta_2 + \Theta_3)$$

ofwel

$$\Gamma = \left(\frac{\cos \zeta}{\sin \zeta} Y_2 - \frac{\sin \zeta}{\cos \zeta} \Theta_2 \right) + \left(\frac{\cos \zeta}{\sin \zeta} Y_3 - \frac{\sin \zeta}{\cos \zeta} \Theta_3 \right)$$

$$\Gamma = \frac{a^3 N}{EI_b} \left[2 \sin^5 \zeta - \cos^4 \zeta \sin \zeta + \sin^3 \zeta \cos^2 \zeta + \frac{\sin^4 \zeta - 2 \sin^3 \zeta \cos^4 \zeta - \sin^5 \zeta \cos^3 \zeta}{\cos^2 \zeta} \right] 2\pi n$$

$$+ \frac{a^3 N}{\rho I_p} \left[3 \sin^3 \zeta \cos^2 \zeta + 3 \sin \zeta \cos^4 \zeta + 2 \sin^5 \zeta + \sin^3 \zeta \cos^2 \zeta - \cos^4 \zeta \sin \zeta \right] 2\pi n$$

$$\Gamma = \frac{a^3 N}{EI_b} \cdot 2\pi n \cdot \sin \zeta (\tan^2 \zeta - 1) + \frac{a^3 N}{\rho I_p} \cdot 2\pi n \cdot 2 \sin \zeta$$

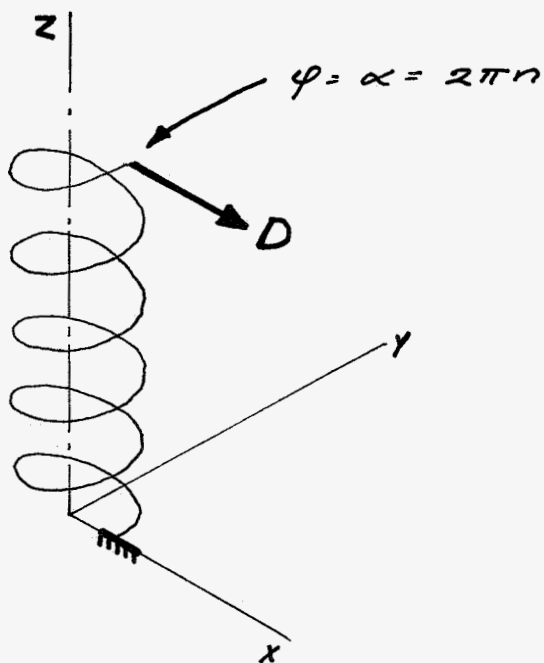
$$\boxed{\frac{\Gamma}{N} = a^3 \sin \zeta \left(\frac{1}{EI_b} (\tan^2 \zeta - 1) + \frac{1}{\rho I_p} \cdot 2 \right) \cdot 2\pi n}$$

Resumerend geldt voor de centraal op trek belaste weer:

$$\boxed{\begin{aligned} \frac{\chi}{N} &= 0 \\ \frac{\Gamma}{N} &= a^3 \sin \zeta \left(\frac{1}{EI_b} (\tan^2 \zeta - 1) + \frac{1}{\rho I_p} \cdot 2 \right) \cdot 2\pi n \\ \frac{Y}{N} &= a^3 \left\{ \frac{1}{EI_b} \frac{\sin^2 \zeta}{\cos \zeta} + \frac{1}{\rho I_p} \cos \zeta \right\} \cdot 2\pi n \end{aligned}}$$

B Door dwarskracht belaste veer.

We beperken ons tot een veer met een geheel aantal windingen.



$$N_\alpha = 0$$

$$D_{b\alpha} = 0$$

$$D_{n\alpha} = -D$$

$$M_{w\alpha} = 0$$

$$M_{b\alpha} = 0$$

$$M_{n\alpha} = 0$$

We willen de verplaatsing weten van het uiteinde in de richting van de kracht, dus in \$x\$-richting.

$$\chi = - \frac{\partial A}{\partial D_{n\alpha}}$$

$$\begin{array}{ccc} \mathcal{L}_1 & \mathcal{L}_2 & \mathcal{L}_3 \\ \uparrow & \uparrow & \uparrow \\ A_{bn} & A_{bb} & A_w \end{array}$$

$$\textcircled{\mathcal{L}_1} \quad \frac{\partial A_{b_n}}{\partial D_{n\alpha}} = \frac{a}{EI_n \cos^3 \frac{\zeta}{3}} \cdot a^2 \tan^2 \frac{\zeta}{3} \cdot \left(\frac{4}{3} \pi^3 n^3 - \frac{1}{2} \pi n \right) \cdot D_{n\alpha}$$

$$\mathcal{L}_1 = \frac{a^3 D}{EI_n} \cdot \frac{\sin^2 \frac{\zeta}{3}}{\cos^3 \frac{\zeta}{3}} \cdot \left(\frac{4}{3} \pi^3 n^3 - \frac{1}{2} \pi n \right)$$

$$\textcircled{\mathcal{L}_2} \quad \frac{\partial A_{b_b}}{\partial D_{n\alpha}} = \frac{a}{EI_b \cos^3 \frac{\zeta}{3}} \cdot \left[a^2 \sin^2 \frac{\zeta}{3} \tan^2 \frac{\zeta}{3} \left(\frac{4}{3} \pi^3 n^3 + \frac{1}{2} \pi n \right) + a^2 \cos^2 \frac{\zeta}{3} (\pi n) + a^2 \sin^2 \frac{\zeta}{3} (-\pi n) \right] D_{n\alpha}$$

$$\mathcal{L}_2 = \frac{a^3 D}{EI_b} \cdot \left\{ \frac{\sin^4 \frac{\zeta}{3}}{\cos^3 \frac{\zeta}{3}} \left(\frac{4}{3} \pi^3 n^3 + \frac{1}{2} \pi n \right) + \cos^4 \frac{\zeta}{3} (\pi n) + \frac{\sin^2 \frac{\zeta}{3}}{\cos^3 \frac{\zeta}{3}} (-\pi n) \right\}$$

$$\textcircled{\mathcal{L}_3} \quad \frac{\partial A_{w}}{\partial D_{n\alpha}} = \frac{a}{\rho I_p \cos^3 \frac{\zeta}{3}} \cdot a^2 \sin^2 \frac{\zeta}{3} \cdot \left(\frac{4}{3} \pi^3 n^3 + \pi n + \frac{3}{2} \pi n \right) \cdot D_{n\alpha}$$

$$\mathcal{L}_3 = \frac{a^3 D}{\rho I_p} \cdot \frac{\sin^2 \frac{\zeta}{3}}{\cos^3 \frac{\zeta}{3}} \cdot \left(\frac{4}{3} \pi^3 n^3 + \frac{5}{2} \pi n \right)$$

$$\chi = \mathcal{L}_1 + \mathcal{L}_2 + \mathcal{L}_3$$

$$\chi = a^3 D \left[\frac{1}{EI_n} \cdot \frac{\sin^2 \frac{\zeta}{3}}{\cos^3 \frac{\zeta}{3}} \left(\frac{4}{3} \pi^3 n^3 - \frac{1}{2} \pi n \right) + \frac{1}{EI_b} \cdot \left\{ \frac{\sin^4 \frac{\zeta}{3}}{\cos^3 \frac{\zeta}{3}} \left(\frac{4}{3} \pi^3 n^3 + \frac{1}{2} \pi n \right) + \cos^4 \frac{\zeta}{3} (\pi n) + \frac{\sin^2 \frac{\zeta}{3}}{\cos^3 \frac{\zeta}{3}} (-\pi n) \right\} + \frac{1}{\rho I_p} \cdot \frac{\sin^2 \frac{\zeta}{3}}{\cos^3 \frac{\zeta}{3}} \left(\frac{4}{3} \pi^3 n^3 + \frac{5}{2} \pi n \right) \right]$$

Voor kleine waarden van $\frac{\zeta}{3}$ geldt:

$$\chi = a^3 D \cdot \frac{\pi n \cdot \cos^3 \frac{\zeta}{3}}{EI_b} \approx a^3 D \frac{\pi n}{EI_b}$$

Voor de verplaatsingen in y - en z -richting, resp. Γ en Z hebben we nog nodig:

$$\underbrace{\frac{\partial A}{\partial N_x}}_{\delta_1 + \delta_2 + \delta_3} \quad \text{en} \quad \underbrace{\frac{\partial A}{\partial D_{b_x}}}_{\mathcal{D}_1 + \mathcal{D}_2 + \mathcal{D}_3}$$

\uparrow \uparrow \uparrow \uparrow \uparrow \uparrow
 A_{bn} A_{bb} A_w A_{bn} A_{bb} A_w

$$\delta_1 = \frac{a}{EI_n \cos \zeta} \left\{ a^2 \sin^2 \zeta \tan^2 \zeta (\pi^2 n^2 + \pi^2 n^2) \right\} \cdot (-D) = -\frac{a^3 D}{EI_n} \cdot \tan^2 \zeta \cdot 2\pi^2 n^2$$

$$\delta_2 = \frac{a}{EI_b \cos \zeta} \left\{ a^2 (0) \right\} = 0$$

$$\delta_3 = \frac{a}{\int I_p \cos \zeta} \left\{ a^2 \sin^2 \zeta \cos^2 \zeta (0) \right\} = 0$$

$$\begin{aligned} \mathcal{D}_1 &= \frac{a}{EI_n \cos \zeta} \left\{ a^2 \sin^2 \zeta \tan^2 \zeta (-\pi^2 n^2) + a^2 \sin^2 \zeta (\pi^2 n^2) \right\} \cdot (-D) = \\ &= -\frac{a^3 D}{EI_n} (\tan^2 \zeta - \tan^2 \zeta) \pi^2 n^2 \end{aligned}$$

$$\begin{aligned} \mathcal{D}_2 &= \frac{a}{EI_b \cos \zeta} \cdot \left\{ a^2 \sin^2 \zeta \tan^2 \zeta (\pi^2 n^2) + a^2 \sin^2 \zeta (\pi^2 n^2) \right\} \cdot (-D) = \\ &= -\frac{a^3 D}{EI_b} \cdot \tan^2 \zeta \cdot \pi^2 n^2 \end{aligned}$$

$$\begin{aligned} \mathcal{D}_3 &= \frac{a}{\int I_p \cos \zeta} \left\{ a^2 \sin^2 \zeta (\pi^2 n^2) + a^2 \sin^2 \zeta \cos^2 \zeta (\pi^2 n^2) \right\} \cdot (-D) = \\ &= -\frac{a^3 D}{\int I_p} \tan^2 \zeta \cdot \pi^2 n^2 \end{aligned}$$

De verplaatsingen Γ en Z zijn nu met behulp van de formules op blz 22 te bepalen

$$\begin{aligned} \Gamma &= \delta_1 \cos \zeta - (\delta_1 + \delta_2 + \delta_3) \sin \zeta = \\ &= \frac{a^3 D}{EI_n} \left(-2\pi^2 n^2 \tan^2 \zeta \cos \zeta + (\tan^2 \zeta \sin \zeta - \tan \zeta \sin \zeta) \pi^2 n^2 \right) + \\ &+ \frac{a^3 D}{EI_b} \tan^3 \zeta \sin \zeta \pi^2 n^2 + \frac{a^3 D}{\rho I_p} \tan \zeta \sin \zeta \pi^2 n^2 \end{aligned}$$

$$\boxed{\frac{\Gamma}{D} = a^3 \pi^2 n^2 \tan \zeta \sin \zeta \left[\frac{1}{EI_n} (\tan^2 \zeta - 3) + \frac{1}{EI_b} \tan^2 \zeta + \frac{1}{\rho I_p} \right]}$$

$$\begin{aligned} \mathcal{L} &= \delta_1 \sin \zeta + (\delta_1 + \delta_2 + \delta_3) \cos \zeta = \\ &= \frac{a^3 D}{EI_n} \left(-2\pi^2 n^2 \tan^2 \zeta \sin \zeta - (\tan^3 \zeta \cos \zeta - \tan \zeta \cos \zeta) \pi^2 n^2 \right) + \\ &- \frac{a^3 D}{EI_b} \tan^3 \zeta \cos \zeta \pi^2 n^2 - \frac{a^3 D}{\rho I_p} \tan \zeta \cos \zeta \pi^2 n^2 \end{aligned}$$

$$\boxed{\frac{\mathcal{L}}{D} = a^3 \pi^2 n^2 \sin \zeta \left[\frac{1}{EI_n} (1 - 3 \tan^2 \zeta) - \frac{1}{EI_b} \tan^2 \zeta - \frac{1}{\rho I_p} \right]}$$

* Reïnumerend geldt voor de door een dwarskracht belaste weer:

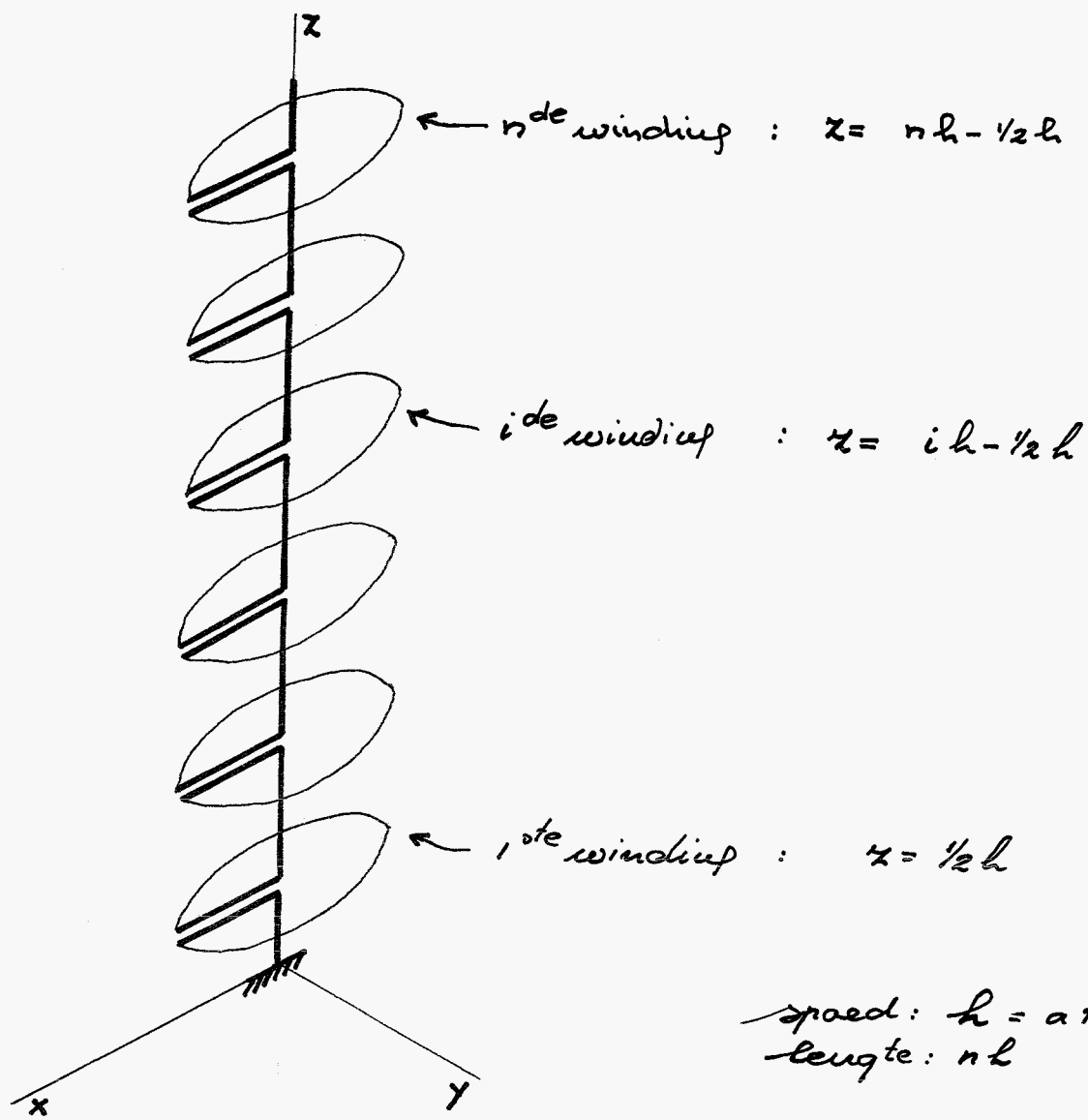
$$\begin{aligned} \frac{\chi}{D} &= a^3 \pi n \left[\frac{1}{EI_n} \cdot \frac{\sin^2 \zeta}{\cos^3 \zeta} \left(\frac{4}{3} \pi^2 n^2 - \frac{1}{2} \right) + \frac{1}{EI_b} \left\{ \frac{\sin^4 \zeta}{\cos^3 \zeta} \left(\frac{4}{3} \pi^2 n^2 + \frac{1}{2} \right) + \cos \zeta - \frac{\sin^2 \zeta}{\cos \zeta} \right\} + \right. \\ &\quad \left. + \frac{1}{\rho I_p} \frac{\sin^2 \zeta}{\cos \zeta} \left(\frac{4}{3} \pi^2 n^2 + \frac{5}{2} \right) \right] \end{aligned}$$

$$\frac{\Gamma}{D} = a^3 \pi^2 n^2 \tan \zeta \sin \zeta \left[\frac{1}{EI_n} (\tan^2 \zeta - 3) + \frac{1}{EI_b} \tan^2 \zeta + \frac{1}{\rho I_p} \right]$$

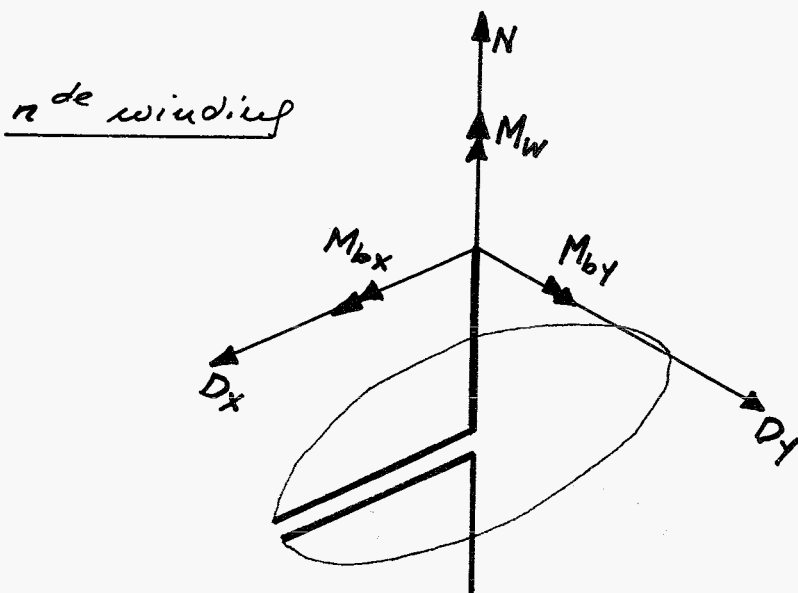
$$\frac{\mathcal{L}}{D} = a^3 \pi^2 n^2 \sin \zeta \left[\frac{1}{EI_n} (1 - 3 \tan^2 \zeta) - \frac{1}{EI_b} \tan^2 \zeta - \frac{1}{\rho I_p} \right]$$

III Een benaderingsmethode

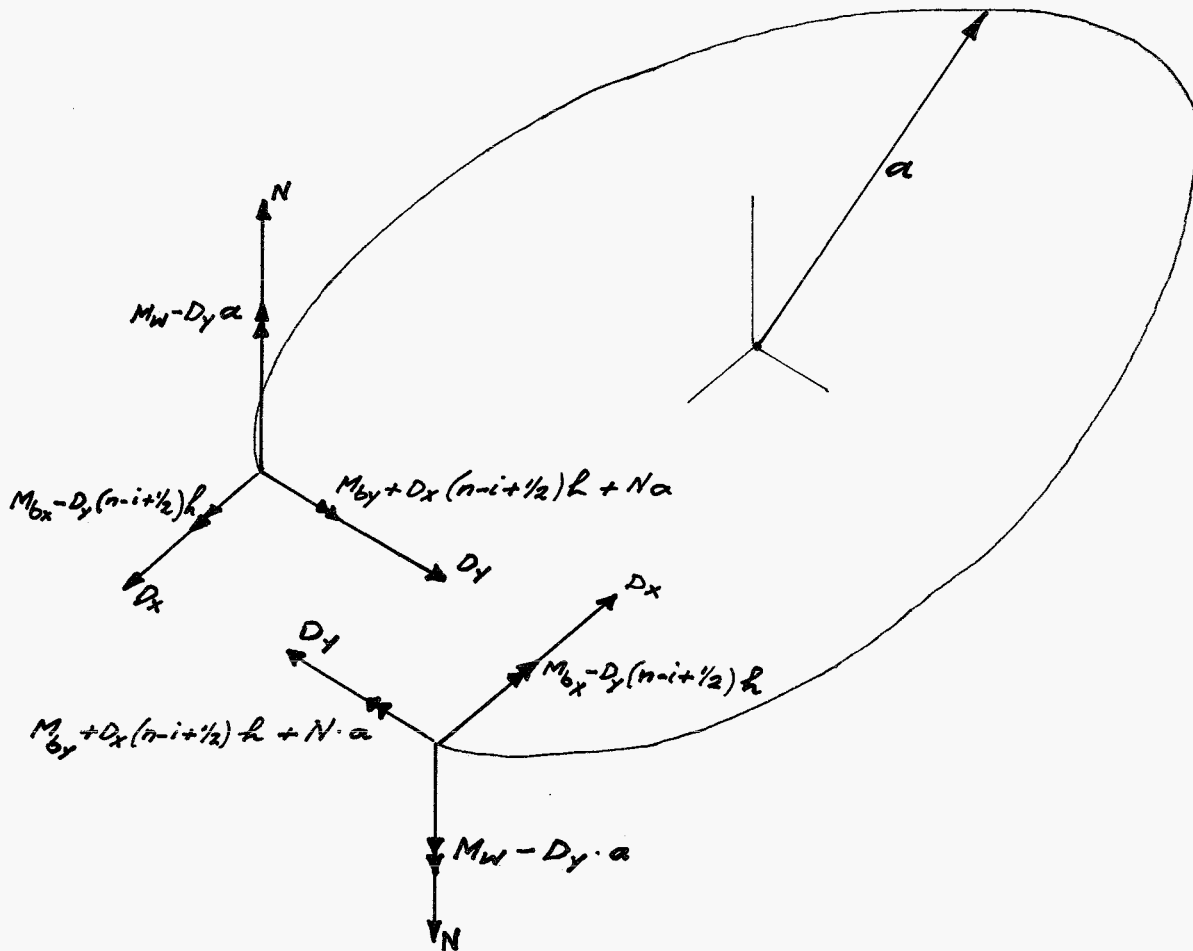
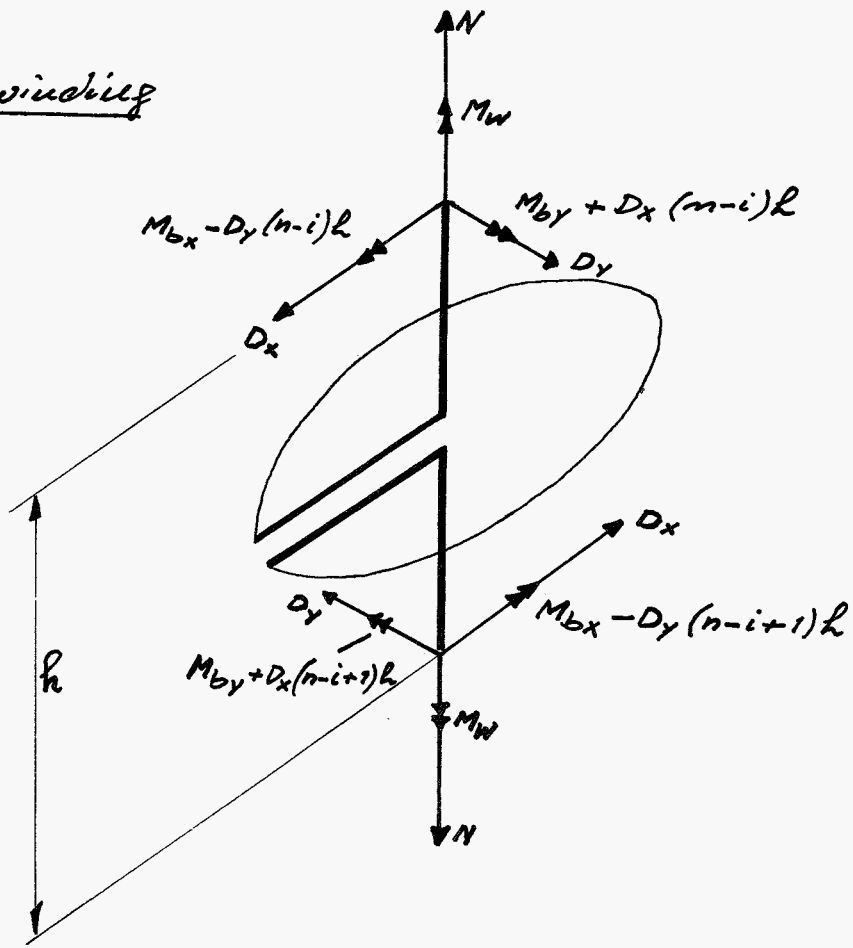
Beschouw de veer als een lichaam met vlakke windingen en ertussen starre tussenstukjes.



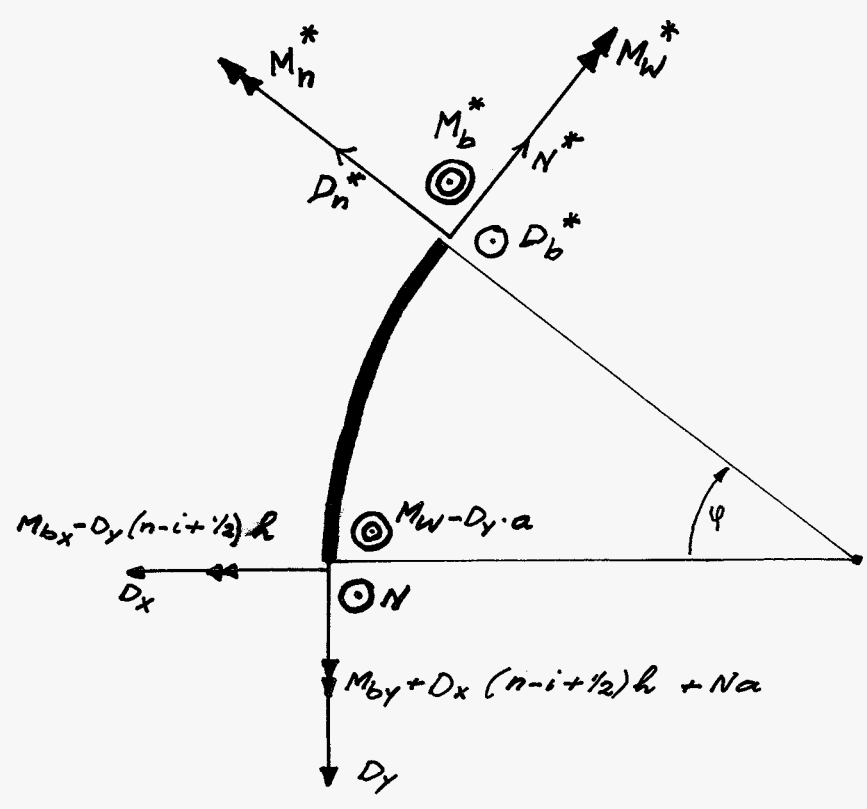
speed: $h = a \tan \alpha$
 lengte: nh



side winding



Stukje „ap“ met de ide windloop



Het evenwicht levert:

$$M_n^* + (M_{bx} - D_y(n-i+1/2)h) \cos\varphi - \{M_{by} + D_x(n-i+1/2)h + Na\} \sin\varphi + Na \sin\varphi = 0$$

$$M_n^* = \{M_{by} + D_x(n-i+1/2)h\} \sin\varphi - \{M_{bx} - D_y(n-i+1/2)h\} \cos\varphi$$

$$M_w^* - (M_{bx} - D_y(n-i+1/2)h) \sin\varphi - (M_{by} + D_x(n-i+1/2)h + Na) \cos\varphi - Na(1 - \cos\varphi) = 0$$

$$M_w^* = \{M_{bx} - D_y(n-i+1/2)h\} \sin\varphi + \{M_{by} + D_x(n-i+1/2)h\} \cos\varphi + Na$$

$$M_b^* + M_w - D_y \cdot a - D_x \cdot a \sin\varphi + D_y \cdot a (1 - \cos\varphi) = 0$$

$$M_b^* = -M_w + D_x \cdot a \sin\varphi + D_y \cdot a \cos\varphi$$

De inwendige energie in de i de winddijf.

opv M_n^* :

$$A_{ni} = \frac{\alpha \pi}{2EI_n} \left[\left\{ M_{by} + D_x(n-i+1/2)l \right\}^2 + \left\{ M_{bx} - D_y(n-i+1/2)l \right\}^2 \right]$$

opv M_w^*

$$A_{wi} = \frac{\alpha \pi}{2 \rho I_p} \left[\left\{ M_{bx} - D_y(n-i+1/2)l \right\}^2 + \left\{ M_{by} + D_x(n-i+1/2)l \right\}^2 + 2N^2 a^2 \right]$$

opv M_b^*

$$A_{bi} = \frac{\alpha \pi}{2EI_b} \left[2M_w^2 + a^2 D_x^2 + a^2 D_y^2 \right]$$

De totale inwendige energie in de weer:

$$A = \frac{\alpha \pi}{2} \left(\frac{1}{EI_n} + \frac{1}{\rho I_p} \right) \left[\sum_{i=1}^n \left\{ \left[M_{bx} - D_y(n-i+1/2)l \right]^2 + \left[M_{by} + D_x(n-i+1/2)l \right]^2 \right\} + \right. \\ \left. + \frac{\alpha^3 \pi}{\rho I_p} \cdot n \cdot N^2 + \frac{\alpha \pi n}{2EI_b} \left[2M_w^2 + a^2 D_x^2 + a^2 D_y^2 \right] \right]$$

Door toepassing van de stelling van Castigliano kunnen weer de verplaatsingen gebonden worden.

We doen dit voor de twee, reeds eerder uitgewerkte voorbeelden.

A Centraal op hele belaste weer

$$N = N$$

$$D_x = D_y = M_{bx} = M_{by} = M_w = 0$$

$$\mathcal{L} = \frac{\partial A}{\partial N} = N \cdot \frac{a^3 \pi}{8 I_p} \cdot n \cdot 2 = \frac{a^3 \cdot 2 \pi n}{8 I_p} \cdot N$$

$$\chi = \frac{\partial A}{\partial D_x} = 0$$

$$\Gamma = \frac{\partial A}{\partial D_y} = 0$$

} want D_x en D_y zijn in de uitdrukking voor de inwendige energie niet aan N gekoppeld.

Resultierend geldt voor de centraal op hele belaste weer:

$$\begin{aligned} \frac{\chi}{N} &= 0 \\ \frac{\Gamma}{N} &= 0 \\ \frac{\mathcal{L}}{N} &= \frac{a^3 \cdot 2 \pi n}{8 I_p} \end{aligned}$$

B Door dwarskracht belaste veer

$$D_x = D$$

$$D_y = N = M_{bx} = M_{by} = M_w = 0$$

$$\begin{aligned} \chi &= \frac{\partial R}{\partial D_x} = \frac{a\pi}{2} \left(\frac{1}{EI_n} + \frac{1}{\rho I_p} \right) \sum_{i=1}^n 2(n-i+1/2)^2 h^2 D_x + \frac{a^3 \pi n}{EI_b} D_x = \\ &= \left[4\pi^3 \tan^2 \xi \left(\frac{1}{EI_n} + \frac{1}{\rho I_p} \right) \sum_{i=1}^n (n-i+1/2)^2 + \frac{\pi n}{EI_b} \right] a^3 D \end{aligned}$$

$$\begin{aligned} \sum_{i=1}^n (n-i+1/2)^2 &= \sum_{i=1}^n (n^2 + i^2 + 1/4 - 2ni - i + n) = \\ &= n^3 + n^2 + 1/4n + \sum_{i=1}^n i^2 - (2n+1) \sum_{i=1}^n i = \\ &= n^3 + n^2 + 1/4n + \frac{n(n+1)(2n+1)}{6} - (2n+1) \frac{n(n+1)}{2} = \\ &= n^3 + n^2 + 1/4n - 1/3(n^2+n)(2n+1) = 1/3n^3 - 1/12n \end{aligned}$$

$$\chi = \left[4\pi^3 \tan^2 \xi \left(\frac{1}{EI_n} + \frac{1}{\rho I_p} \right) \left(\frac{1}{3}n^3 - \frac{1}{12}n \right) + \frac{\pi n}{EI_b} \right] a^3 D$$

Voor kleine ξ geldt: $\chi \approx a^3 D \frac{\pi n}{EI_b}$

$$\Gamma = \frac{\partial A}{\partial D_y} = 0$$

$$\mathcal{L} = \frac{\partial A}{\partial N} = 0$$

In de formule voor de inwendige arbeid zijn N en D_y niet meer aan D_x gekoppeld.

Remeterend geldt voor de door een dwarskracht belaste veer:

$$\frac{\chi}{D} = a^3 \pi n \left\{ \tan^2 \frac{\gamma}{2} \left(\frac{1}{EI_n} + \frac{1}{\rho I_p} \right) \left(\frac{1}{3} n^2 - \frac{1}{2} \right) + \frac{1}{EI_b} \right\}$$

$$\frac{\Gamma}{D} = 0$$

$$\frac{\mathcal{L}}{D} = 0$$

IV Vergelijking van beide methodes

De resultaten van de "exacte" methode en de benaderingsmethode zullen met elkaar worden vergeleken voor de mitgewerkte gevallen.

A Centraal op trek belaste veer

$$\left. \begin{aligned} \left(\frac{x}{N}\right)_{\text{exact}} &= 0 \\ \left(\frac{x}{N}\right)_{\text{ben.}} &= 0 \end{aligned} \right\} \text{gelijke resultaten voor } \frac{x}{N}$$

$$\left(\frac{\Gamma}{N}\right)_{\text{exact}} = \frac{a^3 2\pi n}{G I_p} \left\{ \sin \frac{\psi}{2} \left[2 + \frac{G I_p}{E I_b} (\tan^2 \frac{\psi}{2} - 1) \right] \right\}$$

$$= \varepsilon \cdot \frac{2\pi n a^3}{G I_p}$$

ε

$\frac{G I_p}{E I_b}$ \ ψ	0°	5°	10°	15°	20°	30°	45°
0,4	0,0000	0,1398	0,2499	0,4215	0,5653	0,8667	1,4142
0,6	0,0000	0,1225	0,2463	0,3735	0,5060	0,8000	1,4142
0,7	0,0000	0,1138	0,2295	0,3494	0,4763	0,7667	1,4142
0,8	0,0000	0,1052	0,2126	0,3254	0,4467	0,7333	1,4142
0,9	0,0000	0,0965	0,1958	0,3014	0,4170	0,7000	1,4142
1,0	0,0000	0,0879	0,1790	0,2774	0,3873	0,6667	1,4142
1,1	0,0000	0,0792	0,1622	0,2534	0,3576	0,6333	1,4142
1,2	0,0000	0,0706	0,1454	0,2293	0,3280	0,6000	1,4142

De waarden voor $\frac{P_{I_p}}{E I_b}$ zoals die in de tabel op de vorige bladzijde voorkomen beginnen bij 0,4 en zijn rondom 0,8 gekozen om de volgende overweging:

$$I_p > I_b$$

$$P_{I_p} > P_{I_b} \approx 0,4 E I_b \rightarrow \frac{P_{I_p}}{E I_b} > 0,4$$

Voor een cirkelvormige draaddoornede, die het meest voorkomt, en voor $\nu = 0,3$ geldt:

$$\frac{P_{I_p}}{E I_b} = \frac{\frac{E}{2(1+0,3)} \cdot 2 I_b}{E \cdot I_b} = \frac{1}{1,3} \approx 0,8$$

De benaderingsmethode gaf als resultaat:

$$\left(\frac{\Gamma}{N}\right)_{\text{ben}} = 0$$

Bij een normaalvoorkomende schroefveer:

- cirkelvormige draaddoornede
- $\nu = 0,3$
- kleine waarde van $\frac{1}{3}$ (bv 5°)

zien we dat ϵ ongeveer 0,1 bedraagt.

Kijkend naar de resultaten, die voor Z worden gevonden zien we dat dan ongeveer geldt:

$$\left(\frac{\Gamma}{Z}\right)_{\text{ex}} = 0,1$$

terwijl de benaderingsmethode 0 als resultaat geeft.

Dit is dus een onvolkomenheid van de benaderingsmethode.

$$\left(\frac{\mathcal{L}}{N}\right)$$

$$\left(\frac{\mathcal{L}}{N}\right)_{\text{exact}} = \frac{2\pi n a^3}{G I_p} \left\{ \cos \xi + \frac{G I_p}{E I_n} \frac{\sin^2 \xi}{\cos \xi} \right\} = \alpha \cdot \frac{2\pi n a^3}{G I_p}$$

$$\left(\frac{\mathcal{L}}{N}\right)_{\text{ben}} = \frac{2\pi n a^3}{G I_p}$$

α

$\frac{G I_p}{E I_n}$ \ ξ	0°	5°	10°	15°	20°	30°	45°
0.4	1,0000	0,9993	0,9970	0,9936	0,9895	0,9815	0,9899
0.6	1,0000	1,0008	1,0032	1,0075	1,0144	1,0392	1,1314
0.7	1,0000	1,0015	1,0062	1,0144	1,0268	1,0601	1,2021
0.8	1,0000	1,0023	1,0093	1,0214	1,0393	1,0969	1,2720
0.9	1,0000	1,0031	1,0123	1,0283	1,0517	1,1258	1,3435
1.0	1,0000	1,0038	1,0154	1,0352	1,0642	1,1547	1,4142
1.1	1,0000	1,0046	1,0185	1,0421	1,0766	1,1835	1,4849
1.2	1,0000	1,0054	1,0215	1,0491	1,0891	1,2124	1,5556

Voor normaal voorkomende schroefveren wijkt de waarde van α slechts zeer weinig af van 1. Dit betekent dat de benaderingstheorie voor de uitrekking van normaal voorkomende veren, die centraal op heli zijn belast een voldoende nauwkeurig resultaat geeft.

B Van dwarskracht belaste veer

Beschouwing van de resultaten voor $\frac{x}{D}$, $\frac{\Gamma}{D}$ en $\frac{\pi}{D}$ op blz 34 en blz 41 leert ons dat het een onbegonnen werk is om deze resultaten even algemeen als bij de centraal op trek belaste veer te vergelijken, omdat het aantal vrijheidsgraden groter is.

We moeten ons beperken tot een "speciaal" geval nl:

ronde draaddoornede.

$$\nu = 0,3$$

$$\left(\frac{x}{D}\right)$$

$$\left(\frac{x}{D}\right)_{ex} = \frac{\alpha^3 \pi n}{EI_b} \left[\frac{EI_b}{EI_n} \cdot \frac{\sin^2 \frac{\nu}{3}}{\cos^3 \frac{\nu}{3}} \left(\frac{4}{3} \pi^2 n^2 - \frac{1}{2} \right) + \left(\frac{\sin^4 \frac{\nu}{3}}{\cos^3 \frac{\nu}{3}} \left(\frac{4}{3} \pi^2 n^2 + \frac{1}{2} \right) + \cos^2 \frac{\nu}{3} - \frac{\sin^2 \frac{\nu}{3}}{\cos^3 \frac{\nu}{3}} \right) + \frac{EI_b}{8I_p} \frac{\sin^2 \frac{\nu}{3}}{\cos^3 \frac{\nu}{3}} \left(\frac{4}{3} \pi^2 n^2 + \frac{5}{2} \right) \right] =$$

$$= \frac{\alpha^3 \pi n}{EI_b} \left[\frac{4}{3} \pi^2 n^2 \cdot \frac{\sin^2 \frac{\nu}{3} + \sin^4 \frac{\nu}{3}}{\cos^3 \frac{\nu}{3}} - \frac{3}{2} \frac{\sin^2 \frac{\nu}{3}}{\cos^3 \frac{\nu}{3}} + \cos^2 \frac{\nu}{3} + 1,3 \cdot \frac{\sin^2 \frac{\nu}{3}}{\cos^3 \frac{\nu}{3}} \left(\frac{4}{3} \pi^2 n^2 + \frac{5}{2} \right) \right] =$$

$$= \frac{\alpha^3 \pi n}{EI_b} \left[\cos^2 \frac{\nu}{3} + \frac{4}{3} \pi^2 n^2 \cdot \frac{\sin^2 \frac{\nu}{3} + \sin^4 \frac{\nu}{3} + 1,3 \sin^2 \frac{\nu}{3} \cos^2 \frac{\nu}{3}}{\cos^3 \frac{\nu}{3}} + \frac{7}{4} \frac{\sin^2 \frac{\nu}{3}}{\cos^3 \frac{\nu}{3}} \right] =$$

$$= \beta_{ex} \frac{\alpha^3 \pi n}{EI_b}$$

$$\left(\frac{x}{D}\right)_{ben} = \frac{\alpha^3 \pi n}{EI_b} \left[1 + \tan^2 \frac{\nu}{3} \left(\frac{EI_b}{EI_n} + \frac{EI_b}{8I_p} \right) \left(\frac{1}{3} n^2 - \frac{1}{2} \right) 4\pi^2 \right]$$

$$= \frac{\alpha^3 \pi n}{EI_b} \left[1 + 2,3 \cdot \tan^2 \frac{\nu}{3} \cdot \left(\frac{1}{3} n^2 - \frac{1}{2} \right) 4\pi^2 \right] =$$

$$= \beta_{ben} \frac{\alpha^3 \pi n}{EI_b}$$

$\beta_{ex.}$
 $\beta_{ben.}$

$n \backslash \xi$	0°	5°	10°	15°	20°	30°	45°
1	$\frac{1,0000}{1,0000}$	$\frac{1,2421}{1,1738}$	$\frac{1,9896}{1,6841}$	$\frac{3,3176}{2,6291}$	$\frac{5,3585}{4,0007}$	$\frac{12,6413}{8,5662}$	$\frac{41,9993}{23,6987}$
2	$\frac{1,0000}{1,0000}$	$\frac{1,9397}{1,8689}$	$\frac{4,8432}{4,4203}$	$\frac{10,0088}{9,1455}$	$\frac{17,9613}{16,0375}$	$\frac{46,4517}{38,8312}$	$\frac{162,1635}{114,4937}$
4	$\frac{1,0000}{1,0000}$	$\frac{4,7302}{4,6495}$	$\frac{16,2576}{15,3654}$	$\frac{36,7735}{32,2110}$	$\frac{68,3728}{64,1573}$	$\frac{181,6934}{159,8912}$	$\frac{642,8206}{477,6737}$
8	$\frac{1,0000}{1,0000}$	$\frac{15,8920}{15,7717}$	$\frac{61,9155}{59,1459}$	$\frac{143,8323}{139,4732}$	$\frac{270,0184}{256,6368}$	$\frac{722,6598}{644,1311}$	$\frac{2562,4488}{1930,3937}$
12	$\frac{1,0000}{1,0000}$	$\frac{34,4950}{34,3087}$	$\frac{138,0118}{132,1132}$	$\frac{322,2635}{313,2434}$	$\frac{606,0951}{577,4359}$	$\frac{1624,2706}{1451,1977}$	$\frac{5769,8289}{4351,5935}$
20	$\frac{1,0000}{1,0000}$	$\frac{94,0246}{93,6271}$	$\frac{381,5202}{365,6087}$	$\frac{893,2436}{869,3082}$	$\frac{1681,5397}{1603,9930}$	$\frac{4509,4252}{4033,8106}$	$\frac{16023,8456}{12090,4332}$
30	$\frac{1,0000}{1,0000}$	$\frac{210,2933}{209,4834}$	$\frac{857,1226}{821,6546}$	$\frac{2008,4390}{1955,3723}$	$\frac{3782,0174}{3608,9873}$	$\frac{10144,4927}{9077,9764}$	$\frac{36051,2220}{27231,7325}$
40	$\frac{1,0000}{1,0000}$	$\frac{373,0696}{371,6822}$	$\frac{1522,9659}{1460,1189}$	$\frac{3569,7125}{3475,8621}$	$\frac{6722,6862}{6415,9794}$	$\frac{18033,5872}{16139,8085}$	$\frac{64089,5488}{48417,4315}$
60	$\frac{1,0000}{1,0000}$	$\frac{838,1446}{835,1074}$	$\frac{3425,3753}{3284,3025}$	$\frac{8030,4941}{7820,1185}$	$\frac{15124,5970}{14435,9568}$	$\frac{40573,8572}{36316,4717}$	$\frac{144199,0542}{108947,4287}$
100	$\frac{1,0000}{1,0000}$	$\frac{2326,3846}{2318,0681}$	$\frac{9573,0854}{9121,6900}$	$\frac{22304,9972}{21721,7390}$	$\frac{42010,7115}{40099,8845}$	$\frac{112702,7212}{100881,7939}$	$\frac{400549,4715}{302643,4198}$

Voor schraefveren met een kleine waarde van ξ en meerdere windingen zien we dat de benaderingsmethode heel goed aansluit bij de exacte methode.

Deze conclusie is echter slechts betrekken op veren met ronde draaddoorsnede en $\nu = 0,3$, maar is waarschijnlijk toch wel te generaliseren. In hoeverre dit geldt zal niet verder worden nagegaan.

(5)

$$\begin{aligned}
 \left(\frac{\Gamma}{D}\right)_{ex} &= \frac{a^3 \pi n}{EI_b} \left\{ \pi n \tan^2 \xi \sin \xi \left[\tan^2 \xi + \frac{EI_b}{EI_n} (\tan^2 \xi - 3) + \frac{EI_b}{\rho I_p} \right] \right\} \\
 &= \frac{a^3 \pi n}{EI_b} \cdot \left\{ \pi n \tan^2 \xi \sin \xi \cdot \left[\tan^2 \xi + \tan^2 \xi - 3 + 1.3 \right] \right\} \\
 &= \frac{a^3 \pi n}{EI_b} \underbrace{\left\{ \pi n (2 \tan^2 \xi \sin \xi - 1.7 \cdot \tan^2 \xi \sin \xi) \right\}}_{(\delta \Gamma)_{ex}}
 \end{aligned}$$

ξ	0°	5°	10°	15°	20°	30°	45°
$\delta \Gamma/n$	0,0000	-0,0404	-0,1575	-0,3390	-0,5612	-0,9370	0,6664

$$\left(\frac{\Gamma}{D}\right)_{ben} = 0$$

Voor een ordinair veer: $\xi = 5^\circ$
 $n = 20$ windingen }

geldt: $(\delta \Gamma)_{ex} = -20 \cdot 0,0404 = -0,8080$

$$\left(\frac{\Gamma}{X}\right)_{ex} = \frac{(\delta \Gamma)_{ex}}{\beta_{ex}} = \frac{-0,8080}{94,0246} \approx -1/100$$

De verplaatsing Γ is slechts een fractie van de verplaatsing X .

De benaderingsmethode gaf evenwel $\Gamma = 0$ als resultaat.

Deze onvolkomenheid zal echter geen afbreuk doen aan de waarde van de gevoolgde benaderingsmethode, wanneer deze wordt toegepast op gangbare schroefveren.

$$\left(\frac{z}{D}\right)$$

$$\begin{aligned} \left(\frac{z}{D}\right)_{ex} &= \frac{a^3 \pi n}{EI_b} \left\{ \pi n \sin^2 \xi \left[-\tan^2 \xi - \frac{EI_b}{8Ip} + \frac{EI_b}{EI_n} (1 - 3 \tan^2 \xi) \right] \right\} \\ &= \frac{a^3 \pi n}{EI_b} \left\{ \pi n (-0,3 - 4 \tan^2 \xi) \sin^2 \xi \right\} \\ &\quad \underbrace{\hspace{10em}}_{(\delta_z)_{ex}} \end{aligned}$$

ξ	0°	5°	10°	15°	20°	30°	45°
δ_z/n	0,0000	-0,0906	-0,2314	-0,4773	-0,8917	-2,5659	-9,5518

$$\left(\frac{z}{D}\right)_{ben} = 0$$

Voor dezelfde ordinare weer als op de vorige blz geldt:

$$(\delta_z)_{ex} = -20 \cdot 0,0906 = -1,8120$$

$$\left(\frac{z}{x}\right)_{ex} = \frac{(\delta_z)_{ex}}{\beta_{ex}} = \frac{-1,8120}{94,0246} \approx \frac{-1}{50}$$

Ook deze verplaatsing (z) is klein ten opzichte van r en we vinden het resultaat van de benaderingsmethode voor gangbare schroefveren voldoende nauwkeurig.

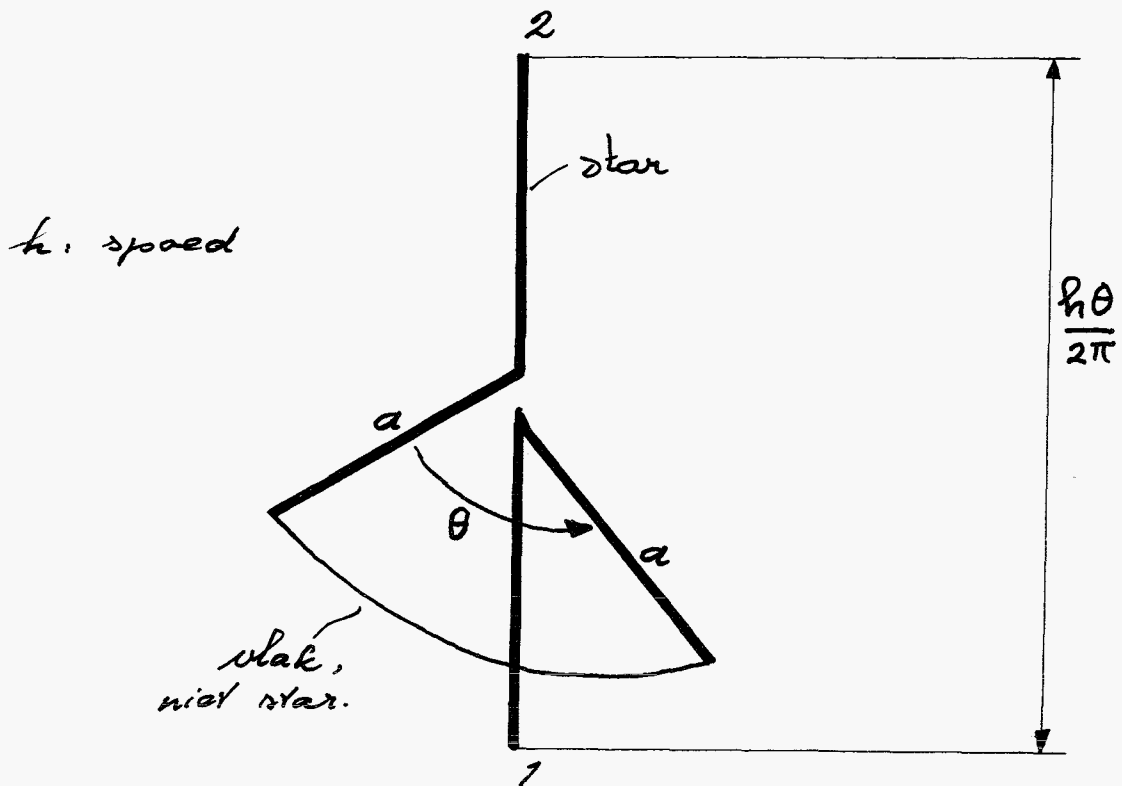
Samenvatting

Voor gangbare schroefveren geeft de benaderingsmethode goede resultaten in de beschouwde belastingsgevallen met uitzondering van de waarde πn in belastingsgeval A.

Voor minder gangbare schroefveren kan de benaderingsmethode grote afwijkingen geven

V. De verplaatsingsmethode (elementenmethode)

We verdelen de veer in elementen van de hieronder getekende vorm:



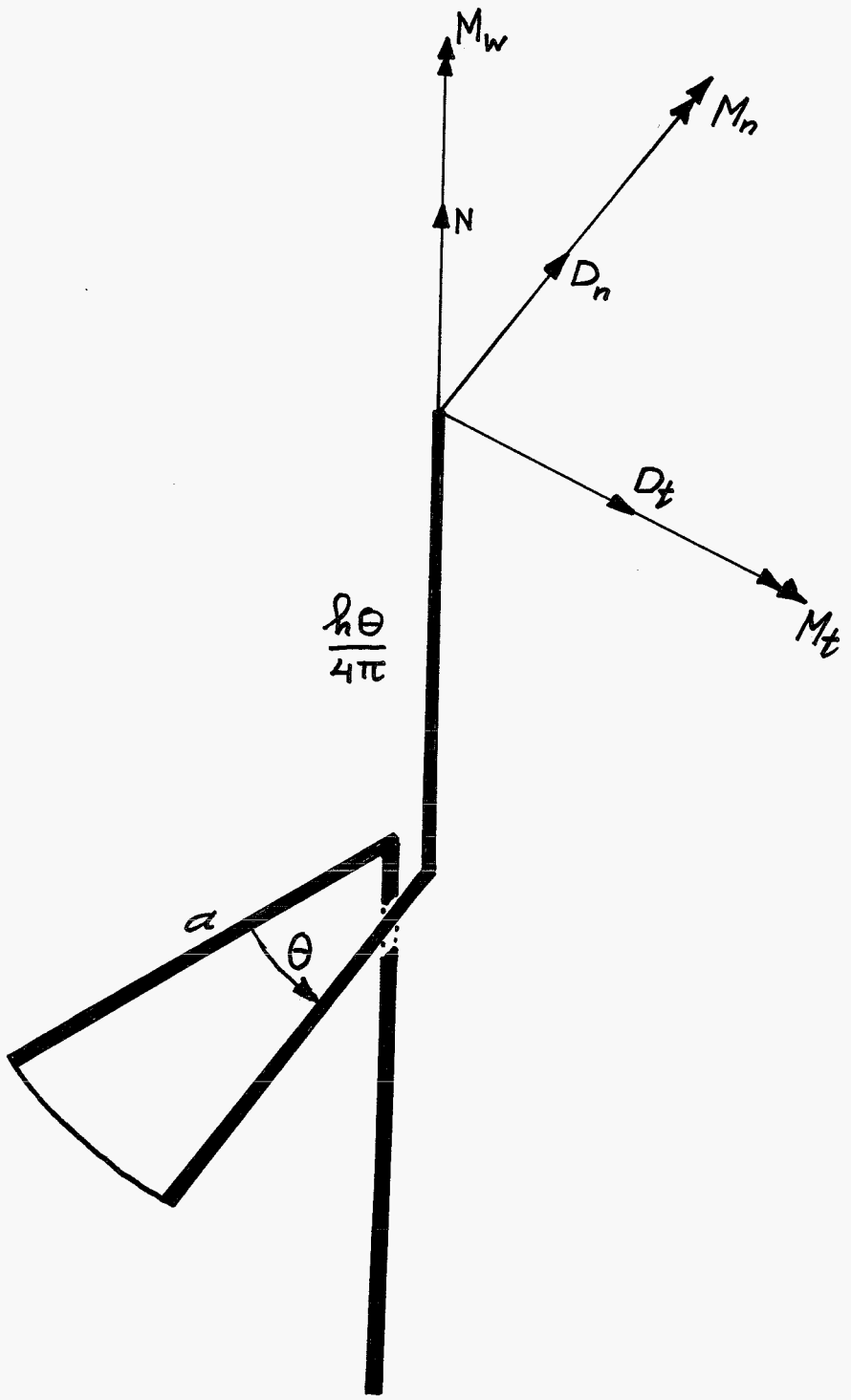
We willen weten de inwendige arbeid in dit elementje, als functie van de verplaatsingen en behuurodraaiingen ter plaatse van 1 en 2

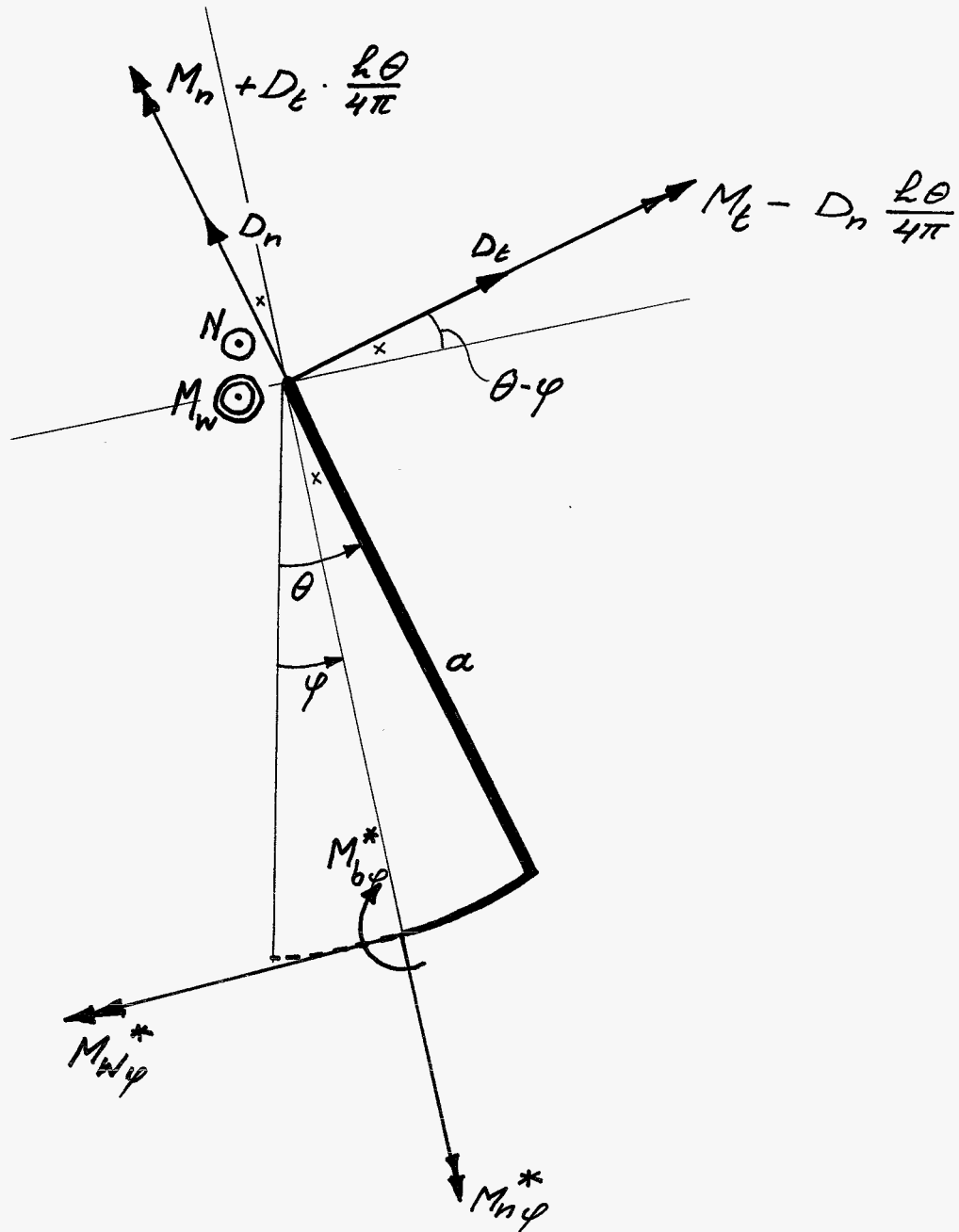
$$A = \frac{1}{2} \dot{u} Q u$$

Hier toe berekenen we eerst de arbeid A als functie van de snedegrootheden in punt 2, waarbij we alleen de arbeid meenemen, tgv buiging en verdwijning.

$$A = \frac{1}{2} f_2^i Z f_2$$

De medegrootheden op plaats 2.





Momentenequilibrium liefert:

$$M_{W\varphi}^* = \left(M_t - D_n \frac{R\theta}{4\pi} \right) \cos(\theta - \varphi) - \left(M_n + D_t \frac{R\theta}{4\pi} \right) \sin(\theta - \varphi) + N \cdot a$$

$$M_{n\varphi}^* = \left(M_t - D_n \frac{R\theta}{4\pi} \right) \sin(\theta - \varphi) + \left(M_n + D_t \frac{R\theta}{4\pi} \right) \cos(\theta - \varphi)$$

$$M_{b\varphi}^* = M_n + D_n \cdot a \sin(\theta - \varphi) - D_t \cdot a \cos(\theta - \varphi)$$

$$A_w = \frac{1}{2GI_p} \int_0^{\theta} (M_{w\varphi}^*)^2 a d\varphi =$$

$$= \frac{a}{2GI_p} \left[(M_t - D_n \frac{R\theta}{4\pi})^2 (\frac{1}{2}\theta + \frac{1}{4}\sin 2\theta) + (M_n + D_t \frac{R\theta}{4\pi})^2 (\frac{1}{2}\theta - \frac{1}{4}\sin 2\theta) + N^2 a^2 \theta + -2 (M_t - D_n \frac{R\theta}{4\pi})(M_n + D_t \frac{R\theta}{4\pi}) (\frac{1}{4} - \frac{1}{4}\cos 2\theta) + +2 Na (M_t - D_n \frac{R\theta}{4\pi}) \sin \theta + -2 Na (M_n + D_t \frac{R\theta}{4\pi}) (1 - \cos \theta) \right]$$

$$A_w = \frac{1}{2} \int_2^1 \mathcal{L}_w \int_2$$

$$\int_2^1 = (N, D_n, D_t, M_w, M_n, M_t)$$

$$\mathcal{L}_w =$$

$a^2\theta$	$-a \frac{R\theta}{4\pi} \sin \theta$	$-a \frac{R\theta}{4\pi} (1 - \cos \theta)$	0	$-a(1 - \cos \theta)$	$a \sin \theta$
$-a \frac{R\theta}{4\pi} \sin \theta$	$\frac{R^2\theta^2}{16\pi^2} (\frac{1}{2}\theta + \frac{1}{4}\sin 2\theta)$	$\frac{R^2\theta^2}{16\pi^2} (\frac{1}{4} - \frac{1}{4}\cos 2\theta)$	0	$\frac{R\theta}{4\pi} (\frac{1}{4} - \frac{1}{4}\cos 2\theta)$	$-\frac{R\theta}{4\pi} (\frac{1}{2}\theta + \frac{1}{4}\sin 2\theta)$
$-a \frac{R\theta}{4\pi} (1 - \cos \theta)$	$\frac{R^2\theta^2}{16\pi^2} (\frac{1}{4} - \frac{1}{4}\cos 2\theta)$	$\frac{R^2\theta^2}{16\pi^2} (\frac{1}{2}\theta - \frac{1}{4}\sin 2\theta)$	0	$\frac{R\theta}{4\pi} (\frac{1}{2}\theta - \frac{1}{4}\sin 2\theta)$	$-\frac{R\theta}{4\pi} (\frac{1}{4} - \frac{1}{4}\cos 2\theta)$
0	0	0	0	0	0
$-a(1 - \cos \theta)$	$\frac{R\theta}{4\pi} (\frac{1}{4} - \frac{1}{4}\cos 2\theta)$	$\frac{R\theta}{4\pi} (\frac{1}{2}\theta - \frac{1}{4}\sin 2\theta)$	0	$\frac{1}{2}\theta - \frac{1}{4}\sin 2\theta$	$-\frac{1}{4} + \frac{1}{4}\cos 2\theta$
$a \sin \theta$	$-\frac{R\theta}{4\pi} (\frac{1}{2}\theta + \frac{1}{4}\sin 2\theta)$	$-\frac{R\theta}{4\pi} (\frac{1}{4} - \frac{1}{4}\cos 2\theta)$	0	$-\frac{1}{4} + \frac{1}{4}\cos 2\theta$	$\frac{1}{2}\theta + \frac{1}{4}\sin 2\theta$

$$\cdot \frac{a}{GI_p}$$

$$\begin{aligned}
 A_n &= \frac{1}{2EI_n} \int_0^{\theta} (M_{n\theta}^*)^2 a d\theta = \\
 &= \frac{a}{2EI_n} \left[(M_L - D_n \frac{R\theta}{4\pi})^2 (\frac{1}{2}\theta - \frac{1}{4}\sin 2\theta) + \right. \\
 &\quad (M_n + D_t \frac{R\theta}{4\pi})^2 (\frac{1}{2}\theta + \frac{1}{4}\sin 2\theta) + \\
 &\quad \left. + 2 (M_L - D_n \frac{R\theta}{4\pi})(M_n + D_t \frac{R\theta}{4\pi}) (\frac{1}{4} - \frac{1}{4}\cos 2\theta) \right]
 \end{aligned}$$

$$A_n = \frac{1}{2} \int_2 \mathcal{L}_n \int_2$$

$$\int_2 = (N, D_n, D_t, M_n, M_n, M_t)$$

$$\mathcal{L}_n =$$

0	0	0	0	0	0
0	$\frac{R^2\theta^2}{16\pi^2} (\frac{1}{2}\theta - \frac{1}{4}\sin 2\theta)$	$-\frac{R^2\theta^2}{16\pi^2} (\frac{1}{4} - \frac{1}{4}\cos 2\theta)$	0	$-\frac{R\theta}{4\pi} (\frac{1}{4} - \frac{1}{4}\cos 2\theta)$	$-\frac{R\theta}{4\pi} (\frac{1}{2}\theta - \frac{1}{4}\sin 2\theta)$
0	$-\frac{R^2\theta^2}{16\pi^2} (\frac{1}{4} - \frac{1}{4}\cos 2\theta)$	$\frac{R^2\theta^2}{16\pi^2} (\frac{1}{2}\theta + \frac{1}{4}\sin 2\theta)$	0	$\frac{R\theta}{4\pi} (\frac{1}{2}\theta + \frac{1}{4}\sin 2\theta)$	$\frac{R\theta}{4\pi} (\frac{1}{4} - \frac{1}{4}\cos 2\theta)$
0	0	0	0	0	0
0	$-\frac{R\theta}{4\pi} (\frac{1}{4} - \frac{1}{4}\cos 2\theta)$	$\frac{R\theta}{4\pi} (\frac{1}{2}\theta + \frac{1}{4}\sin 2\theta)$	0	$\frac{1}{2}\theta + \frac{1}{4}\sin 2\theta$	$\frac{1}{4} - \frac{1}{4}\cos 2\theta$
0	$-\frac{R\theta}{4\pi} (\frac{1}{2}\theta - \frac{1}{4}\sin 2\theta)$	$\frac{R\theta}{4\pi} (\frac{1}{4} - \frac{1}{4}\cos 2\theta)$	0	$\frac{1}{4} - \frac{1}{4}\cos 2\theta$	$\frac{1}{2}\theta - \frac{1}{4}\sin 2\theta$

$$\cdot \frac{a}{EI_n}$$

$$A_b = \frac{1}{2EI_b} \int_0^\theta (M_{by}^*)^2 a d\varphi =$$

$$= \frac{a}{2EI_b} \left[M_w^2 \theta + D_n^2 a^2 (\frac{1}{2}\theta - \frac{1}{4}\sin 2\theta) + D_t^2 a^2 (\frac{1}{2}\theta + \frac{1}{4}\sin 2\theta) + 2 a M_w D_n (1 - \cos \theta) - 2 a M_w D_t \sin \theta - 2 a^2 D_n D_t (\frac{1}{4} - \frac{1}{4} \cos 2\theta) \right]$$

$$A_b = \frac{1}{2} \int_2^1 \mathcal{K}_b \int_2$$

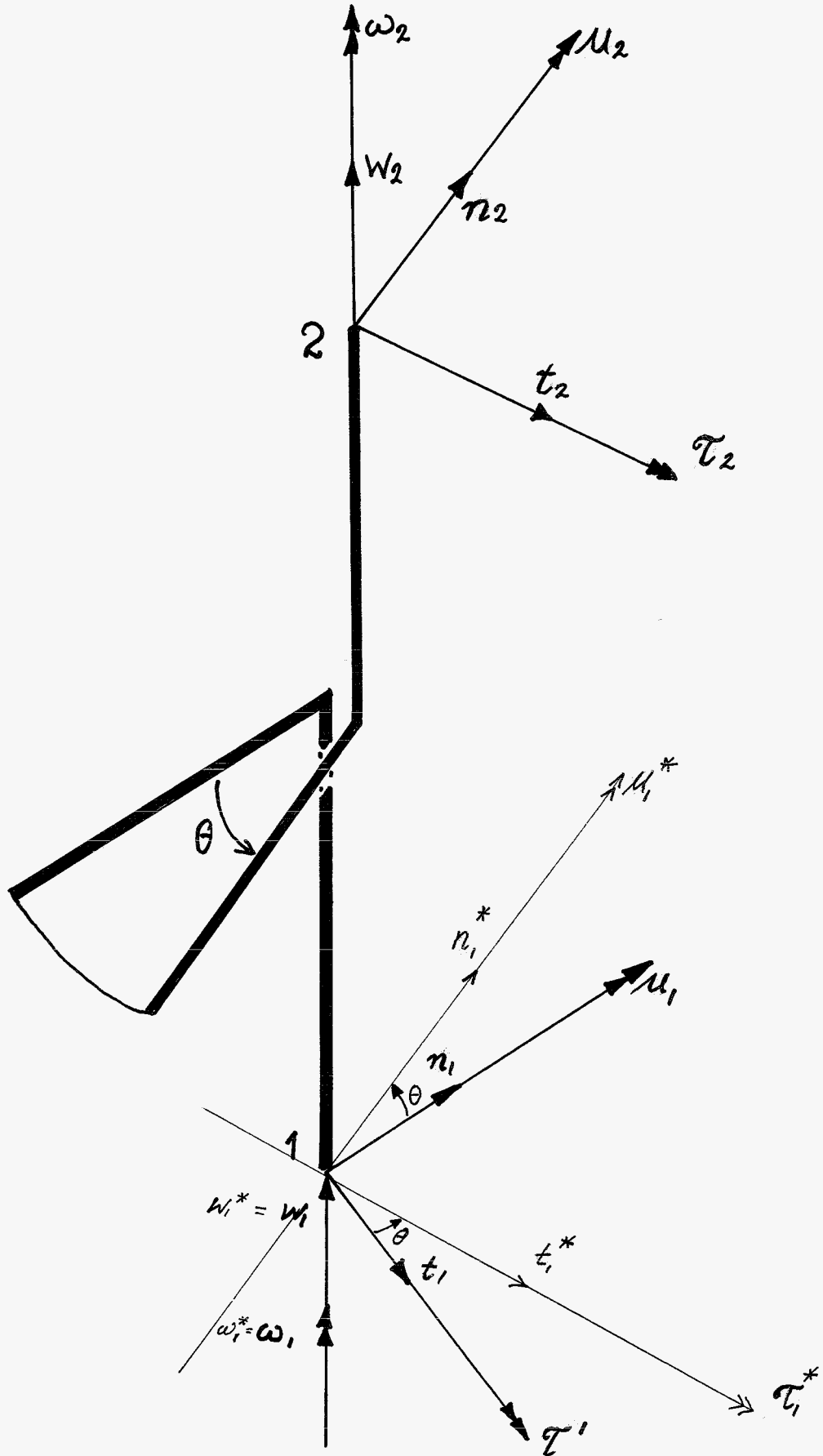
$$\int_2 = [N, D_n, D_t, M_w, M_u, M_t]$$

$$\mathcal{K}_b =$$

0	0	0	0	0	0
0	$a^2(\frac{1}{2}\theta - \frac{1}{4}\sin 2\theta)$	$-a^2(\frac{1}{4} - \frac{1}{4}\cos 2\theta)$	$a(1 - \cos \theta)$	0	0
0	$-a^2(\frac{1}{4} - \frac{1}{4}\cos 2\theta)$	$a^2(\frac{1}{2}\theta + \frac{1}{4}\sin 2\theta)$	$-a \sin \theta$	0	0
0	$a(1 - \cos \theta)$	$-a \sin \theta$	θ	0	0
0	0	0	0	0	0
0	0	0	0	0	0

$$\cdot \frac{a}{EI_b}$$

De verplaatsingen en haekverdraaiingen



De verplaatsingen en hoekverdraaiingen van punt 1 schrijven we nu in het coördinatenstelsel dat bij punt 2 is aangenomen.

$$\left. \begin{aligned} t_1^* &= t_1 \cos \theta + r_1 \sin \theta \\ r_1^* &= -t_1 \sin \theta + r_1 \cos \theta \\ \omega_1^* &= \omega_1 \end{aligned} \right\} \text{verplaatsingen.}$$

Onder voorwaarde dat de hoekverdraaiingen klein blijven geldt hiervoor een soortgelijke relatie:

$$\left. \begin{aligned} \tau_1^* &= \tau_1 \cos \theta + u_1 \sin \theta \\ u_1^* &= -\tau_1 \sin \theta + u_1 \cos \theta \\ \omega_1^* &= \omega_1 \end{aligned} \right\} \text{verdraaiingen}$$

We kunnen nu de verplaatsingen en hoekverdraaiingen van punt 2, uitdrukken in de verplaatsingen en hoekverdraaiingen van punt 1 (beweging als star lichaam), gesommeerd met de gevolgen van vervormingen, die gevonden kunnen worden mbv de Wet van Castigliano.

Weer eisen we, dat hoekverdraaiingen klein zijn.

$$n_2 = n_1^* - \tau_1^* \frac{h\theta}{2\pi} + \frac{\partial A}{\partial D_n} =$$

$$= n_1 \cos\theta - t_1 \sin\theta - \mu_1 \frac{h\theta}{2\pi} \sin\theta - \tau_1 \frac{h\theta}{2\pi} \cos\theta + \frac{\partial A}{\partial D_n}$$

$$t_2 = t_1^* + \mu_1^* \frac{h\theta}{2\pi} + \frac{\partial A}{\partial D_t} =$$

$$= n_1 \sin\theta + t_1 \cos\theta + \mu_1 \frac{h\theta}{2\pi} \cos\theta - \tau_1 \frac{h\theta}{2\pi} \sin\theta + \frac{\partial A}{\partial D_t}$$

$$W_2 = W_1^* + \frac{\partial A}{\partial N} =$$

$$= W_1 + \frac{\partial A}{\partial N}$$

$$\mu_2 = \mu_1^* + \frac{\partial A}{\partial M_n} =$$

$$= \mu_1 \cos\theta - \tau_1 \sin\theta + \frac{\partial A}{\partial M_n}$$

$$\tau_2 = \tau_1^* + \frac{\partial A}{\partial M_t} =$$

$$= \mu_1 \sin\theta + \tau_1 \cos\theta + \frac{\partial A}{\partial M_t}$$

$$\omega_2 = \omega_1^* + \frac{\partial A}{\partial M_w} =$$

$$= \omega_1 + \frac{\partial A}{\partial M_w}$$

De verplaatsingen en hoekvervalsingen op plaats 2 zijn nu uitgedrukt in deze grootheden op plaats 1 en verwarmingsgrootheden

$$\underbrace{\left[\begin{array}{l}
 W_2 - W_1 \\
 n_2 - n_1 \cos \theta + t_1 \sin \theta + M_1 \frac{h_0}{2\pi} \sin \theta + \tau_1 \frac{h_0}{2\pi} \cos \theta \\
 t_2 - n_1 \sin \theta - t_1 \cos \theta - M_1 \frac{h_0}{2\pi} \cos \theta + \tau_1 \frac{h_0}{2\pi} \sin \theta \\
 a_2 - a_1 \\
 M_2 - M_1 \cos \theta + \tau_1 \sin \theta \\
 \tau_2 - M_1 \sin \theta - \tau_1 \cos \theta
 \end{array} \right]}_V$$

=

$$\begin{array}{l}
 \Sigma \\
 \parallel \\
 \Sigma_N + \Sigma_n + \Sigma_b
 \end{array}$$

*

$$\underbrace{\left[\begin{array}{l}
 N \\
 D_n \\
 D_t \\
 M_w \\
 M_n \\
 M_t
 \end{array} \right]}_n$$

$$v = L \cdot u \rightarrow \dot{v} = (Lu)' = \dot{u} L'$$

$$A = \frac{1}{2} \dot{u} L' Z^{-1} L u = \frac{1}{2} \dot{u} Q u$$

$$\text{met } Q = L' Z^{-1} L$$

↑
(12 * 12) matrix, de stijfheidsmatrix.
voor een element.

Het principe van minimale potentiële energie passen we nu toe op een veer:

aantal windingen: n
verdeeld in elementen, aantal e } $\theta = \frac{2\pi n}{e}$
ene uiteinde: ingeklemd.
andere uiteinde: vrij, maar door uitwendige
krachten en momenten belast.

$$U = \frac{1}{2} \dot{u}_t Q_t u_t - \dot{u}_t f_t$$

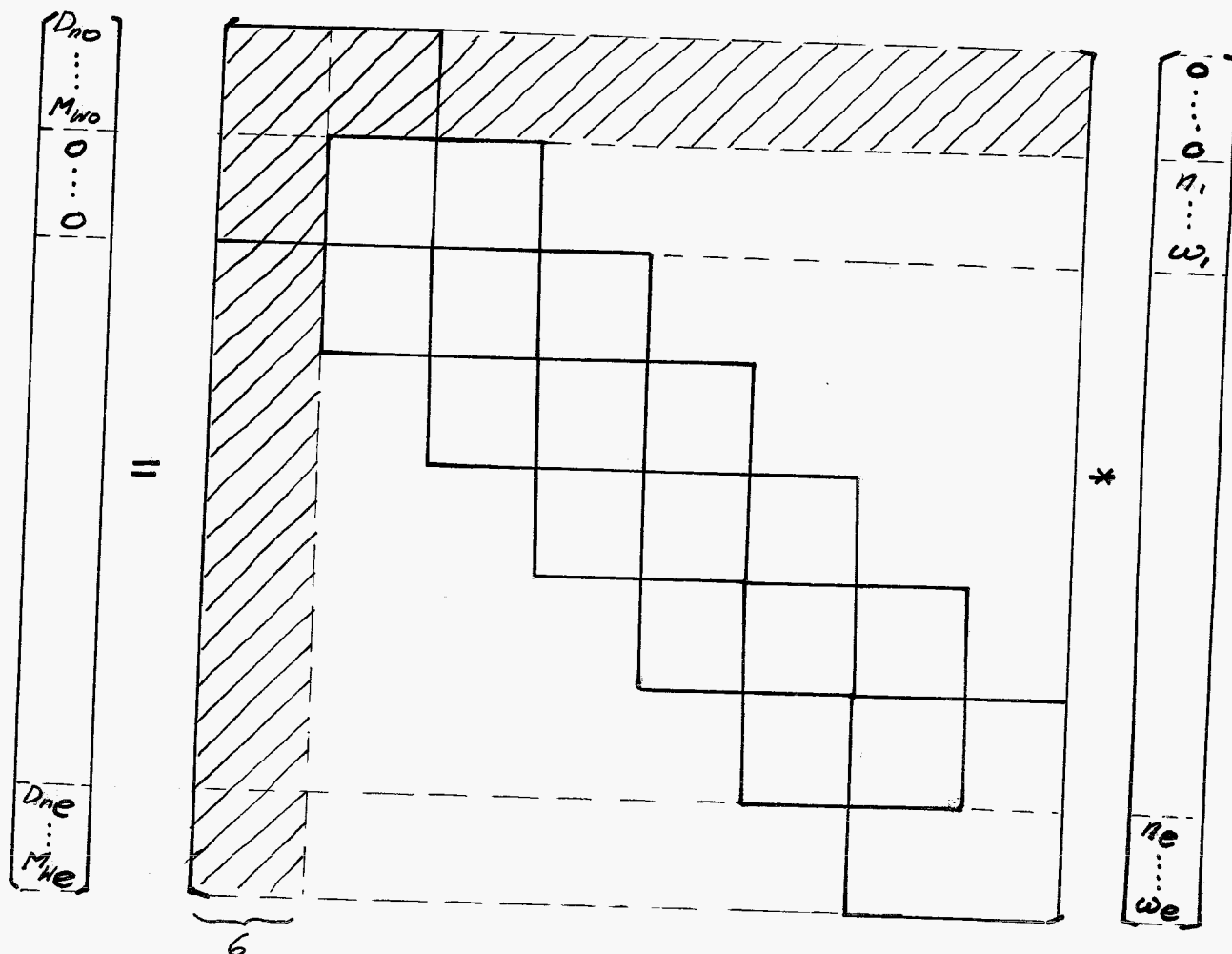
$$\dot{u}_t = (\underbrace{n_0 \dots \omega_0}_{0}, n_1 \dots \omega_1, n_2 \dots \omega_2, \dots, n_e \dots \omega_e)$$

Q_t : totale stijfheidsmatrix

$$\dot{f}_t = (\underbrace{D_{n_0} \dots M_{\omega_0}}_{\substack{\text{onbekend} \\ \neq 0}}, \underbrace{D_{n_1} \dots M_{\omega_1}, D_{n_2} \dots M_{\omega_2}, \dots, D_{n_{e-1}} \dots M_{\omega_{e-1}}, D_{n_e} \dots M_{\omega_e}}_0, \underbrace{\phantom{D_{n_e} \dots M_{\omega_e}}}_{\text{bekend}})$$

$$\delta U = 0 \rightarrow \dot{f}_t = Q_t u_t$$

De matrix Q_f is opgebouwd uit (12×12) matrices, de stijfheidsmatrices, van elk element, die er allen identiek uitzien.



Omdat we niet geïnteresseerd zijn in de reactiegrootheden bij de inkleuring kunnen we de eerste 6 rijen en kolommen van de Q_f -matrix weglaten; dit is ook nodig om de beweging als star lichaam te verhinderen. Q_f^* resteert. De ancring in Q_f geeft dit aan. Het overgebleven deel moet worden geïnverteerd:

$$\begin{bmatrix} n_1 \\ w_1 \\ \vdots \\ n_e \\ w_e \end{bmatrix} = (Q_f^*)^{-1} \begin{bmatrix} 0 \\ \vdots \\ 0 \\ D_{ne} \\ \vdots \\ M_{ne} \end{bmatrix}$$

Het computerprogramma.

a) invoeren eigenschappen veer en aantal elementen

- n , aantal windingen
- e , aantal elementen
- a , staal van de doorsnede
- h , spoed van de veer
- G , glijdingsmodulus
- I_p , " polair traagheidsmoment
- E , elasticiteitsmodulus
- I_n , opp. traagheidsmoment tov normaal
- I_b , opp. traagheidsmoment tov binormaal

b) invoeren van de belastingsvector:

$$D_{ne} \dots M_{ne}$$

c) berekening v/d elementen van Z_w , vorming v/d matrix Z_w
 " " " " Z_n , " " " Z_n
 " " " " Z_b , " " " Z_b

d) berekening van Z

e) invertieren van Z

f) berekening v/d elementen van L , vorming v/d matrix L

g) berekening Q (12 * 12)

h) vormen van Q_t^* (6e * 6e)

i) invertieren van Q_t^*

j) berekening van de verplaatsingen w_1, \dots, w_e

k) uitvoeren $w_e \dots w_e$

lalgol 05063461 Brekelmans

begin comment prog.nr. 05063461, Ir. M.A.M. Brekelmans.

elementenmethode(verplaatsingsmethode, toegepast op een schroefveer. volgorde invoergegevens:
e: aantal elementen.

n: aantal windingen van de veer.

a: straal van de dwarsdoorsnede in mm.

h: spoed van de veer in mm.

G: Elljdingsmodulus in N/mm \wedge 2.

E: elasticiteitsmodulus in N/mm \wedge 2.

Ip: polair traagheidsmoment van de draaddoorsnede in mm \wedge 4.

In: traagheidsmoment t.o.v. de normaal in mm \wedge 4.

Ib: traagheidsmoment t.o.v. de binormaal in mm \wedge 4.

Dn: dwarskracht in de richting van de normaal bij het uiteinde in N.

Dt: dwarskracht in de richting van de raaklijn bij het uiteinde in N.

N: normaalkracht langs de hartlijn van de veer in N.

Mn: moment om de normaal bij het uiteinde in Nmm.

Mt: moment om de raaklijn bij het uiteinde in Nmm.

Mw: wringend moment in Nmm;

integer e;

e := read;

VAR: PRINTTEXT(kaantal gebruikte elementen, e:); ABSFXT(5, 0, e); NIGR; NIGR;

begin

integer n, i, j, k, m;

real pi, t, e, ast, act, ps2t, ms2t, c2t, h, t1, t2, a2, g, E, Ip, In, Ib, cp, cn, cb, eps;

integer array pl1 : 6j;

array Zl1 : 6, 1 : 6j, Ll1 : 6, 1 : 12j, ql1 : 12, 1 : 12j, qt1 : (6 x e), 0 : 11j, ft1 : (6 x e)];

boolean interchange;

library INPROD, CROUTDECOMPOSITION, CROUTINVERSE;

procedure URM(A, r0, r, k0, k); value r0, r, k0, k; integer r0, r, k0, k; array A;
begin comment Uitvoer Real Matrix, voor nadere gegevens zie: Toelichting op ~~WH~~-procedures;

integer m, n, i, j, l;

m := (k - k0 + 1) : 10; m := if k - k0 + 1 = 10 x m then m else m + 1;

for n := 0 step 1 until m - 1 do


```

begin NICR; SPACE(2); for l := 10 x n + k0, l + 1 while l <= k0 - 1 + 10 x (n + 1) ^ l <= k do
begin SPACE(8); ABSFIXT(3, 0, 1) end; NICR;
for i := r0 step 1 until r do
begin NICR; ABSFIXT(3, 0, i); SPACE(2);
for j := 10 x n + k0 step 1 until l-1 do
begin integer n; real x; x := abs(A[i, j]);
if x < 10^-100 v x >= 10^99 then n := (if x = 0 then 1 else 3) else
if x < 10^-10 v x >= 10^9 then n := 2 else n := 1;
PUTF(5, n, A[i, j]); SPACE(3-n)
end
end; CARRIAGE(5)
end

```

end
end UNM;

procedure CHOLBD(n, m, dec, a, b, fail);

value n, m, dec; integer n, m, dec; array a, b; label fail;

begin integer k, m1, i, j;

m1 := m;

if dec = 0 v dec = 2 v dec = 4 v dec = 6 then

for k := 1 step 1 until n do

begin if a[k, 0] < 0 then goto fail;

a[k, 0] := sqrt(a[k, 0]);

if m > n - k then m1 := n - k;

for i := 1 step 1 until m1 do a[k, i] := a[k, i]/a[k, 0];

for i := m1 + 1 step 1 until m do a[k, i] := 0;

for j := 1 step 1 until m1 do for i := 0 step 1 until m1-j do a[k + j, i] := a[k + j, i] - a[k, j] x a[k, j + i]

end k;

m1 := m;

if dec = 0 v dec = 1 v dec = 4 v dec = 5 then

for k := 1 step 1 until n do

begin b[k] := b[k]/a[k, 0];

if m > n - k then m1 := n - k;

for j := 1 step 1 until m1 do b[k + j] := b[k + j] - a[k, j] x b[k]

end k;

m1 := m;

if dec < 4 then

for k := n step -1 until 1 do

begin b[k] := b[k]/a[k, 0];

if k < m + 1 then m1 := k - 1;

for j := 1 step 1 until m1 do b[k - j] := b[k - j] - a[k - j, j] x b[k]

end k

end CHOLBD;

```

Interchange := true; eps := g-12; pi := h x arctan(1);
n := read; PRINTTEXT(keantel windingen n=h); ABSFIX(3, 0, n); NIGR;
a := read; PRINTTEXT(keantel dwarsdoorsnede a=h); ABSFIX(3, 1, a); PRINTTEXT(keantel); NIGR;
h := read; PRINTTEXT(keantel h=h); ABSFIX(3, 1, h); PRINTTEXT(keantel); NIGR;
G := read; PRINTTEXT(keantel g=h); PIPI(3, 1, G); PRINTTEXT(keantel); NIGR;
E := read; PRINTTEXT(keantel elastici tei modulus E=h); PIPI(3, 1, E); PRINTTEXT(keantel); NIGR;
Ip := read; PRINTTEXT(keantel Ip=h); ABSFIX(4, 4, Ip); PRINTTEXT(keantel); NIGR;
In := read; PRINTTEXT(keantel In=h); ABSFIX(4, 4, In); PRINTTEXT(keantel); NIGR;
Ib := read; PRINTTEXT(keantel Ib=h); ABSFIX(4, 4, Ib); PRINTTEXT(keantel); NIGR; CARRIAGE(5);
t := 2 x pi x n/e;
ast := a x sin(t); act := a x (1 - cos(t));
ps2t := 0.5 x t + 0.25 x sin(2 x t); ms2t := t - ps2t; c2t := 0.25 - 0.25 x cos(2 x t);
t1 := 0.25 x h x t/pi; t2 := t1 x t1; a2 := a x a;
cp := a/(G x Ip); cn := a/(E x In); cb := a/(E x Ib);
Z[1, 1] := a2 x t x cp;
Z[1, 2] := -t1 x ast x cp;
Z[1, 3] := -t1 x act x cp;
Z[1, 5] := -act x cp;
Z[1, 6] := ast x cp;
Z[2, 2] := t2 x (ps2t x cp + ms2t x cn) + a2 x ms2t x cb;
Z[2, 3] := c2t x (t2 x (cp - cn) - a2 x cb);
Z[2, 4] := act x cb;
Z[2, 5] := t1 x c2t x (cp - cn);
Z[2, 6] := -t1 x (ps2t x cp + ms2t x cn);
Z[3, 3] := t2 x (ms2t x cp + ps2t x cn) + a2 x ps2t x cb;
Z[3, 4] := -ast x cb;
Z[3, 5] := t1 x (ms2t x cp + ps2t x cn);
Z[3, 6] := t1 x c2t x (cn - cp);
Z[4, 4] := t x cb;
Z[5, 5] := ms2t x cp + ps2t x cn;
Z[5, 6] := c2t x (cn - cp);
Z[6, 6] := ps2t x cp + ms2t x cn;
Z[1, 4] := Z[4, 5] := Z[4, 6] := 0;
for i := 1 step 1 until 6 do for j := i + 1 step 1 until 6 do Z[i, j] := Z[j, i];
CROUTDECOMPOSITION(6, Z, p, Interchange, eps, singular);
CROUTINVERSE(6, Z, p, Z);
for i := 1 step 1 until 6 do for j := 1 step 1 until 12 do L[i, j] := 0;
L[1, 3] := L[4, 6] := -1; L[1, 9] := L[2, 7] := L[3, 8] := L[4, 12] := L[5, 10] := L[6, 11] := 1;
L[2, 1] := L[3, 2] := L[5, 4] := L[6, 5] := -cos(t);
L[2, 2] := L[5, 5] := ast/a; L[3, 1] := L[6, 4] := -L[5, 5];
L[2, 4] := L[3, 5] := 2 x t1 x L[2, 2];
L[2, 5] := -2 x t1 x L[2, 1]; L[3, 4] := -L[2, 5];

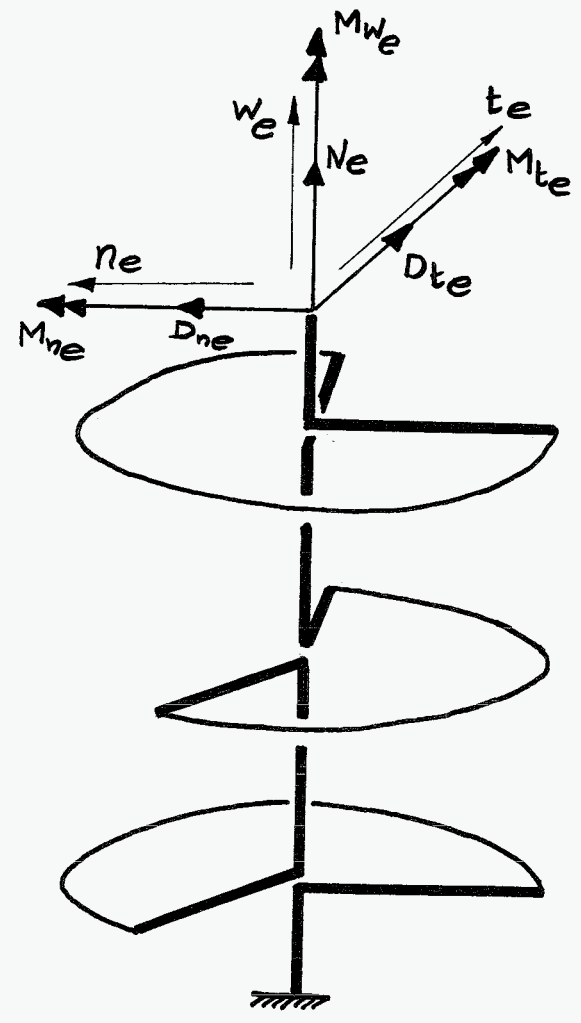
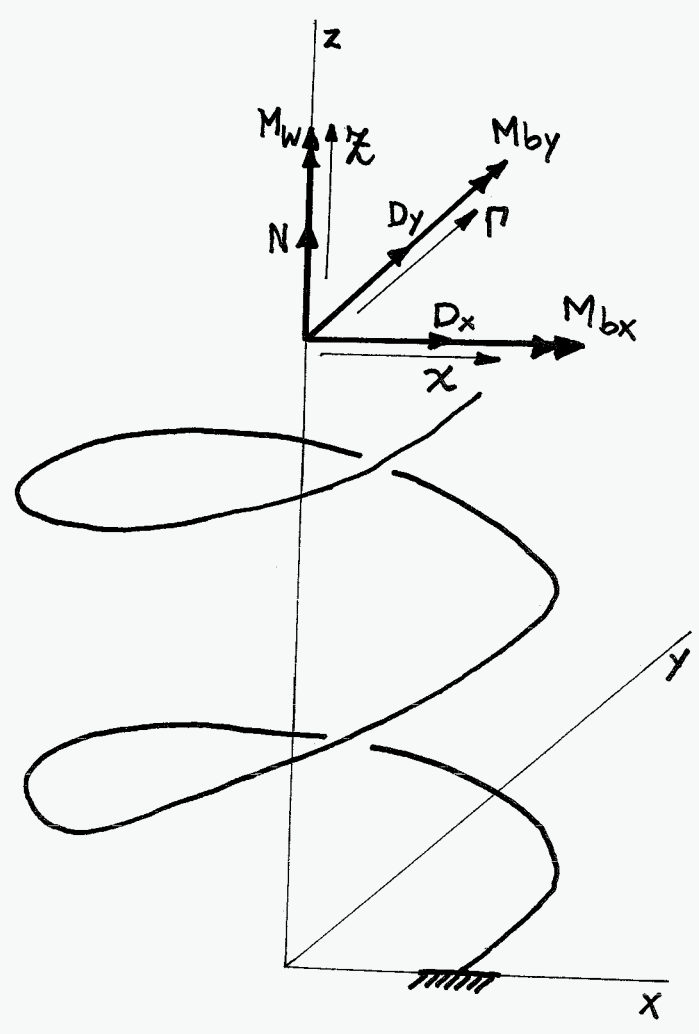
```

```

for i := 1 step 1 until 12 do for j := 1 step 1 until 12 do
begin q[i, j] := 0;
  for k := 1 step 1 until 6 do for m := 1 step 1 until 6 do
    q[i, j] := q[i, j] + z[k, m] * l[k, i] * l[m, j];
  end;
  WRM(q, 1, 12, 1, 12); NEW PAGE;
  for i := 1 step 1 until 6 x (e - 1) do ft[i] := 0;
  for i := 1 step 1 until 6 do ft[i] := read;
  PRINTTEXT(Dn=); FTXT(4, 0, ft[6] x (e - 1) + 1); PRINTTEXT(M); NICR;
  PRINTTEXT(Dt=); FTXT(4, 0, ft[6] x (e - 1) + 2); PRINTTEXT(M); NICR;
  PRINTTEXT(M=); FTXT(4, 0, ft[6] x (e - 1) + 3); PRINTTEXT(M); NICR;
  PRINTTEXT(Ma=); FTXT(5, 0, ft[6] x (e - 1) + 4); PRINTTEXT(M); NICR;
  PRINTTEXT(Mt=); FTXT(5, 0, ft[6] x (e - 1) + 5); PRINTTEXT(M); NICR;
  PRINTTEXT(Mw=); FTXT(5, 0, ft[6] x (e - 1) + 6); PRINTTEXT(M); NICR;
  CARRIAGE(5);
  for i := 1 step 1 until 6 x e do for j := 0 step 1 until 11 do qt[i, j] := 0;
  for i := 1 step 1 until 6 do
begin for j := 1 step 1 until 6 do qt[i, j - 1] := q[i, j] + q[i + 6, j + 6];
  for j := 7 step 1 until 12 do qt[i, j - 1] := q[i, j];
end;
  for k := 1 step 1 until (e - 2) do
  for i := 1 step 1 until 6 do
  for j := 1 step 1 until 12 do qt[i + 6 x k, j - 1] := qt[i, j - 1];
  for i := 7 step 1 until 12 do
  for j := 1 step 1 until 12 do qt[6 x (e - 2) + 1, j - 1] := q[i, j];
  CHORD(6 x e, 1, 0, qt, ft, fail);
  PRINTTEXT(De=); PLOT(5, 2, ft[6] x (e - 1) + 1); PRINTTEXT(M); NICR;
  PRINTTEXT(De=); PLOT(5, 2, ft[6] x (e - 1) + 2); PRINTTEXT(M); NICR;
  PRINTTEXT(De=); PLOT(5, 2, ft[6] x (e - 1) + 3); PRINTTEXT(M); NICR;
  PRINTTEXT(Dme=); PLOT(5, 2, ft[6] x (e - 1) + 4); NICR;
  PRINTTEXT(Dma=); PLOT(5, 2, ft[6] x (e - 1) + 5); NICR;
  PRINTTEXT(Dme=); PLOT(5, 2, ft[6] x (e - 1) + 6); NICR;
  PRINTTEXT(Dme=); PLOT(5, 2, ft[6] x (e - 1) + 5); NICR;
  PRINTTEXT(Dme=); PLOT(5, 2, ft[6] x (e - 1) + 6); NICR;
  PRINTTEXT(4z is singular);
  PRINTTEXT(4t is singular);
end;
  END;
  end;
  e:=read; if e=0 then goto FIN else goto VAR ;
  VAR ;
  FIN:
  end;
  progend

```

Hoe zijn de krachten/momenten en de verplaatsingen van de tot nu toe beschreven methoden met elkaar te vergelijken? Aan de hand van onderstaande tekeningen wordt dit wel duidelijk gemaakt.



$$\begin{aligned}
 D_x &= -D_{ne} \\
 D_y &= D_{te} \\
 N &= N_e \\
 M_{bx} &= -M_{ne} \\
 M_{by} &= M_{te} \\
 M_w &= M_{we} \\
 x &= -n_e \\
 \Gamma &= t_e \\
 \bar{x} &= w_e
 \end{aligned}$$

VI Semi-elementenmethode

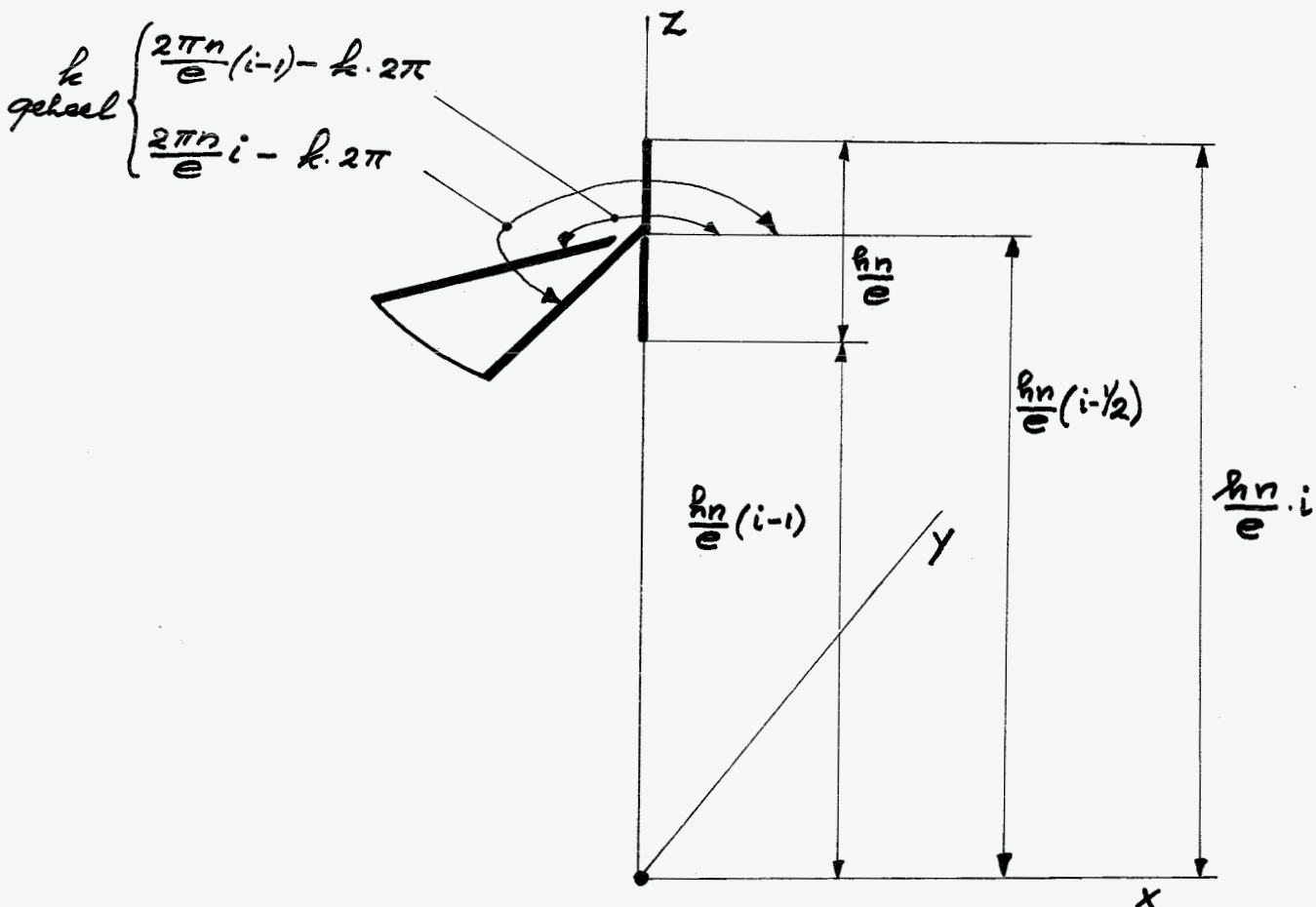
Qua gezet is deze methode identiek aan de in het vorige hoofdstuk behandelde elementenmethode (vandaar de naam: Semi-elementenmethode).
De uitwerking is echter heel anders.
Beide methoden moeten evenwel dezelfde resultaten opleveren.

De schroefveer wordt weer verwaamp door een aantal vlakke stukjes winding met starrere tussenstukjes aan elkaar verbonden

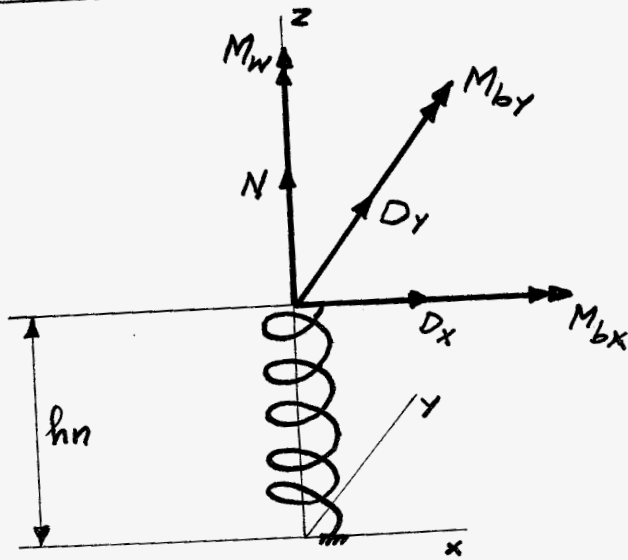
spoed van de veer h } totale lengte hn
aantal windingen n

aantal elementjes: e

Positie van het i de elementje

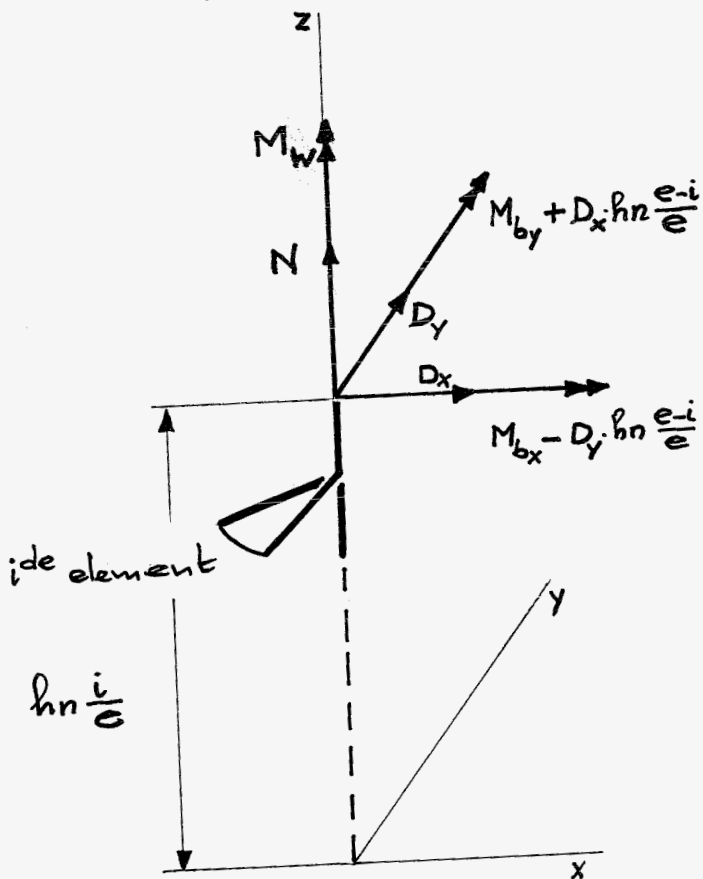


Krachten en momenten op de schroefveer.

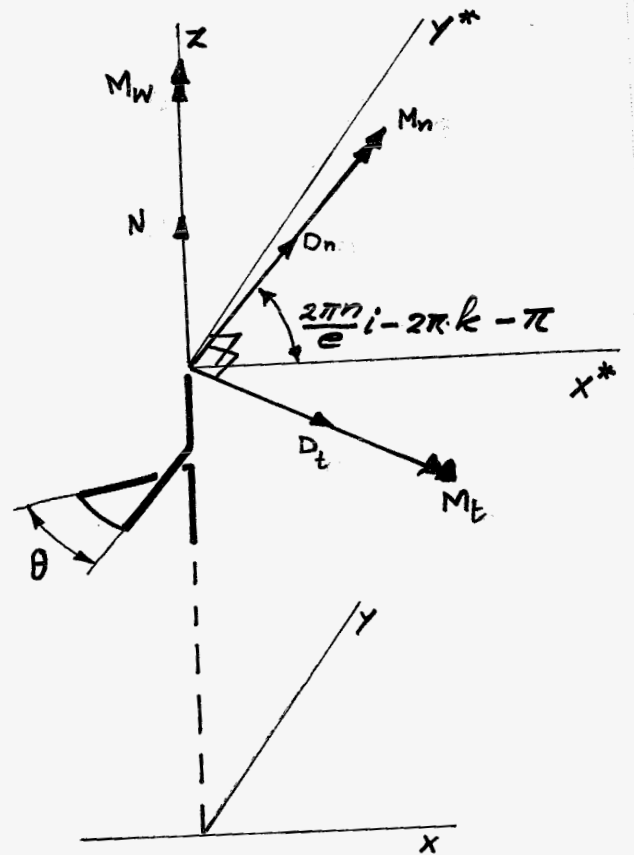


Krachten en momenten op het i^{de} elementje

In het xyz assenstelsel



In het gewenste lokale assenstelsel.



k: geheel

$$\frac{2\pi n}{e} = \theta$$

We gaan nu de grootheden behorende bij het gewenste lokale assenstelsel uitdrukken in de grootheden die behoren bij het XYZ-assenstelsel.

$$N = N$$

$$D_n = D_x \cos\left(\frac{2\pi n}{e}i - 2\pi k - \pi\right) + D_y \sin\left(\frac{2\pi n}{e}i - 2\pi k - \pi\right) = -D_x \cos i\theta - D_y \sin i\theta$$

$$D_t = D_x \sin\left(\frac{2\pi n}{e}i - 2\pi k - \pi\right) - D_y \cos\left(\frac{2\pi n}{e}i - 2\pi k - \pi\right) = -D_x \sin i\theta + D_y \cos i\theta$$

$$M_w = M_w$$

$$M_n = -(M_{bx} - D_y \cdot kn \frac{e-i}{e}) \cos i\theta - (M_{by} + D_x \cdot kn \frac{e-i}{e}) \sin i\theta$$

$$M_t = -(M_{bx} - D_y \cdot kn \frac{e-i}{e}) \sin i\theta + (M_{by} + D_x \cdot kn \frac{e-i}{e}) \cos i\theta$$

Opwel in matrix vorm:

N	=	<table border="1" style="border-collapse: collapse; text-align: center;"> <tr><td>1</td><td>0</td><td>0</td><td>0</td><td>0</td><td>0</td></tr> <tr><td>0</td><td>$-\cos i\theta$</td><td>$-\sin i\theta$</td><td>0</td><td>0</td><td>0</td></tr> <tr><td>0</td><td>$-\sin i\theta$</td><td>$\cos i\theta$</td><td>0</td><td>0</td><td>0</td></tr> <tr><td>0</td><td>0</td><td>0</td><td>1</td><td>0</td><td>0</td></tr> <tr><td>0</td><td>$-kn \frac{e-i}{e} \sin i\theta$</td><td>$kn \frac{e-i}{e} \cos i\theta$</td><td>0</td><td>$-\cos i\theta$</td><td>$-\sin i\theta$</td></tr> <tr><td>0</td><td>$kn \frac{e-i}{e} \cos i\theta$</td><td>$kn \frac{e-i}{e} \sin i\theta$</td><td>0</td><td>$-\sin i\theta$</td><td>$\cos i\theta$</td></tr> </table>	1	0	0	0	0	0	0	$-\cos i\theta$	$-\sin i\theta$	0	0	0	0	$-\sin i\theta$	$\cos i\theta$	0	0	0	0	0	0	1	0	0	0	$-kn \frac{e-i}{e} \sin i\theta$	$kn \frac{e-i}{e} \cos i\theta$	0	$-\cos i\theta$	$-\sin i\theta$	0	$kn \frac{e-i}{e} \cos i\theta$	$kn \frac{e-i}{e} \sin i\theta$	0	$-\sin i\theta$	$\cos i\theta$	*	<table border="1" style="border-collapse: collapse; text-align: center;"> <tr><td>N</td></tr> <tr><td>D_x</td></tr> <tr><td>D_y</td></tr> <tr><td>M_w</td></tr> <tr><td>M_{bx}</td></tr> <tr><td>M_{by}</td></tr> </table>	N	D_x	D_y	M_w	M_{bx}	M_{by}
1	0	0	0	0	0																																									
0	$-\cos i\theta$	$-\sin i\theta$	0	0	0																																									
0	$-\sin i\theta$	$\cos i\theta$	0	0	0																																									
0	0	0	1	0	0																																									
0	$-kn \frac{e-i}{e} \sin i\theta$	$kn \frac{e-i}{e} \cos i\theta$	0	$-\cos i\theta$	$-\sin i\theta$																																									
0	$kn \frac{e-i}{e} \cos i\theta$	$kn \frac{e-i}{e} \sin i\theta$	0	$-\sin i\theta$	$\cos i\theta$																																									
N																																														
D_x																																														
D_y																																														
M_w																																														
M_{bx}																																														
M_{by}																																														

$$f_i = \Lambda_i * p$$

In het vorige hoofdstuk, op blz 52, 53 en 54 staan de formules voor de inwendige energie in een elementje.

Voor het i^{de} elementje geldt:

$$A_i = \frac{1}{2} f_i (\xi_w + \xi_n + \xi_b) f_i$$

ofwel:

$$A_i = \frac{1}{2} \rho \Lambda_i (\xi_w + \xi_n + \xi_b) \Lambda_i \rho$$

De totale in de veer opgehoorde energie is dan:

$$A_{tot} = \frac{1}{2} \rho \underbrace{\left\{ \sum_{i=1}^e \Lambda_i (\xi_w + \xi_n + \xi_b) \Lambda_i \right\}}_U \rho$$

$$A_{tot} = \frac{1}{2} \rho U \rho = \frac{1}{2} \rho_l U_{lk} \rho_k$$

(sommatie conventie van Einstein)

$$\left. \begin{aligned}
 X &= \frac{\partial A_{tot}}{\partial D_x} = \frac{\partial A_{tot}}{\partial P_2} = U_{2k} \rho_k \\
 F &= \frac{\partial A_{tot}}{\partial D_y} = \frac{\partial A_{tot}}{\partial P_3} = U_{3k} \rho_k \\
 N &= \frac{\partial A_{tot}}{\partial N} = \frac{\partial A_{tot}}{\partial P_1} = U_{1k} \rho_k
 \end{aligned} \right\} \begin{array}{l} \text{Wet van} \\ \text{Castigliano} \end{array}$$

Voordat belastingen A en B met deze methode uitgewerkt kunnen worden, moeten we eerst de som van een aantal rijen berekenen, die in die uitwerking voorstellen komen.

$$1) \sum_{k=1}^N \sin k\varphi = \sum_{k=1}^N \frac{1}{2i} (e^{ik\varphi} - e^{-ik\varphi})$$

$$\begin{aligned} \sum_{k=1}^N e^{ik\varphi} &= e^{i\varphi} + e^{2i\varphi} + e^{3i\varphi} + \dots + e^{Ni\varphi} = \\ &= e^{i\varphi} (1 + e^{i\varphi} + e^{2i\varphi} + \dots + e^{(N-1)i\varphi}) \end{aligned}$$

Arithmetische reeks: $S = 1 + r + r^2 + r^3 + \dots + r^n$
 $rS = 0 + r + r^2 + r^3 + \dots + r^n + r^{n+1}$
 $\rightarrow S - rS = 1 - r^{n+1} \rightarrow S = \frac{1 - r^{n+1}}{1 - r}$

$$\left. \begin{aligned} \sum_{k=1}^N e^{ik\varphi} &= e^{i\varphi} \cdot \frac{1 - e^{iN\varphi}}{1 - e^{i\varphi}} \\ \sum_{k=1}^N e^{-ik\varphi} &= e^{-i\varphi} \cdot \frac{1 - e^{-iN\varphi}}{1 - e^{-i\varphi}} \end{aligned} \right\}$$

$$\begin{aligned} \sum_{k=1}^N \sin k\varphi &= \frac{1}{2i} \left\{ e^{i\varphi} \frac{1 - e^{iN\varphi}}{1 - e^{i\varphi}} - e^{-i\varphi} \frac{1 - e^{-iN\varphi}}{1 - e^{-i\varphi}} \right\} = \\ &= \frac{1}{2i} \left\{ e^{i\varphi/2} \frac{1 - e^{iN\varphi}}{e^{-i\varphi/2} - e^{i\varphi/2}} + e^{-i\varphi/2} \frac{1 - e^{-iN\varphi}}{-e^{i\varphi/2} + e^{-i\varphi/2}} \right\} = \\ &= \frac{1}{2i} \left\{ \frac{e^{i\varphi/2} - e^{i(N+1/2)\varphi} + e^{-i\varphi/2} - e^{-i(N+1/2)\varphi}}{e^{-i\varphi/2} - e^{i\varphi/2}} \right\} \\ &= \frac{1}{2i} \left\{ \frac{2\cos \frac{1}{2}\varphi - 2\cos (N+\frac{1}{2})\varphi}{-2i (\sin \frac{1}{2}\varphi)} \right\} \end{aligned}$$

$$\sum_{k=1}^N \sin k\varphi = \frac{1}{2} \frac{\cos \frac{1}{2}\varphi - \cos (N+\frac{1}{2})\varphi}{\sin \frac{1}{2}\varphi}$$

$$\begin{aligned}
 2) \quad \sum_{k=1}^N \cos k\varphi &= \sum_{k=1}^N \frac{1}{2} (e^{ik\varphi} + e^{-ik\varphi}) = \\
 &= \frac{1}{2} \left\{ e^{i\varphi} \frac{1-e^{iN\varphi}}{1-e^{i\varphi}} + e^{-i\varphi} \frac{1-e^{-iN\varphi}}{1-e^{-i\varphi}} \right\} = \\
 &= \frac{1}{2} \left\{ \frac{e^{\frac{1}{2}i\varphi} - e^{i(N+\frac{1}{2})\varphi} - e^{-\frac{1}{2}i\varphi} + e^{-i(N+\frac{1}{2})\varphi}}{e^{-\frac{1}{2}i\varphi} - e^{\frac{1}{2}i\varphi}} \right\} = \\
 &= \frac{1}{2} \left\{ \frac{2i \sin \frac{1}{2}\varphi - 2i \sin (N+\frac{1}{2})\varphi}{-2i \sin \frac{1}{2}\varphi} \right\} \\
 \sum_{k=1}^N \cos k\varphi &= -\frac{1}{2} \frac{\sin \frac{1}{2}\varphi - \sin (N+\frac{1}{2})\varphi}{\sin \frac{1}{2}\varphi}
 \end{aligned}$$

$$\begin{aligned}
 3) \quad \sum_{k=1}^N k \sin k\varphi &= \sum_{k=1}^N -\frac{d}{d\varphi} \cos k\varphi = -\frac{d}{d\varphi} \sum_{k=1}^N \cos k\varphi = \\
 &= \frac{\left\{ \frac{1}{2} \cos \frac{1}{2}\varphi - (N+\frac{1}{2}) \cos (N+\frac{1}{2})\varphi \right\} 2 \sin \frac{1}{2}\varphi - \cos \frac{1}{2}\varphi \left\{ \sin \frac{1}{2}\varphi - \sin (N+\frac{1}{2})\varphi \right\}}{4 \sin^2 \frac{1}{2}\varphi}
 \end{aligned}$$

$$\begin{aligned}
 4) \quad \sum_{k=1}^N k \cos k\varphi &= \sum_{k=1}^N \frac{d}{d\varphi} \sin k\varphi = \frac{d}{d\varphi} \sum_{k=1}^N \sin k\varphi = \\
 &= \frac{\left\{ -\frac{1}{2} \sin \frac{1}{2}\varphi + (N+\frac{1}{2}) \sin (N+\frac{1}{2})\varphi \right\} 2 \sin \frac{1}{2}\varphi - \cos \frac{1}{2}\varphi \left\{ \cos \frac{1}{2}\varphi - \cos (N+\frac{1}{2})\varphi \right\}}{4 \sin^2 \frac{1}{2}\varphi}
 \end{aligned}$$

Zie gaan nu de waarden substitueren die N en φ aannemen:

$$N = e$$

$$\varphi = \frac{2\pi n}{e} = \theta$$

$$(k = i)$$

$$\textcircled{1} \sum_{i=1}^e \sin i \cdot \frac{2\pi n}{e} = \frac{1}{2} \frac{\cos \frac{\pi n}{e} - \cos (2\pi n + \frac{\pi n}{e})}{\sin \frac{\pi n}{e}} =$$

als $\frac{n}{e}$ geheel is : 0
als $\frac{n}{e}$ niet geheel is : 0 } \rightarrow

$$\boxed{\sum_{i=1}^e \sin i \frac{2\pi n}{e} = 0}$$

$$\textcircled{2} \sum_{i=1}^e \cos i \frac{2\pi n}{e} = -\frac{1}{2} \frac{\sin \frac{\pi n}{e} - \sin (e+1/2) \frac{2\pi n}{e}}{\sin \frac{\pi n}{e}}$$

als $\frac{n}{e}$ geheel is : e
als $\frac{n}{e}$ niet geheel is : 0

$$\boxed{\sum_{i=1}^e \cos i \frac{2\pi n}{e} = \begin{cases} 0 & \text{als } \frac{n}{e} \text{ niet geheel is.} \\ e & \text{als } \frac{n}{e} \text{ geheel is.} \end{cases}}$$

$$\textcircled{3} \sum_{i=1}^e i \sin i \frac{2\pi n}{e} = \frac{\left\{ \frac{1}{2} \cos \frac{\pi n}{e} - (e+1/2) \cos \frac{\pi n}{e} \right\} 2 \sin \frac{\pi n}{e} - \cos \frac{\pi n}{e} \left\{ \sin \frac{\pi n}{e} - \sin \frac{\pi n}{e} \right\}}{4 \sin^2 \frac{\pi n}{e}} =$$

$$= \frac{-e \cos \frac{\pi n}{e} \cdot 2 \sin \frac{\pi n}{e}}{4 \sin^2 \frac{\pi n}{e}} = \frac{-e}{2 \tan \frac{\pi n}{e}} \quad (\text{als } \frac{n}{e} \text{ niet geheel is})$$

als $\frac{n}{e}$ geheel is : 0

$$\boxed{\sum_{i=1}^e i \cos i \frac{2\pi n}{e} = \begin{cases} \frac{-e}{2 \tan \frac{\pi n}{e}} & \text{als } \frac{n}{e} \text{ niet geheel is.} \\ 0 & \text{als } \frac{n}{e} \text{ geheel is.} \end{cases}}$$

$$\textcircled{4} \sum_{i=1}^e i \cos i \frac{2\pi n}{e} = \frac{\left\{ -\frac{1}{2} \sin \frac{\pi n}{e} + (e+1/2) \sin \frac{\pi n}{e} \right\} 2 \sin \frac{\pi n}{e} - \cos \frac{\pi n}{e} (\cos \frac{\pi n}{e} - \cos \frac{\pi n}{e})}{4 \sin^2 \frac{\pi n}{e}} =$$

$$= \frac{e}{2} \quad \text{als } \frac{n}{e} \text{ niet geheel is.}$$

$$\text{als } \frac{n}{e} \text{ geheel is : } 1+2+3+\dots+e = \frac{(e+1)e}{2}$$

$$\boxed{\sum_{i=1}^e i \cos i \frac{2\pi n}{e} = \begin{cases} \frac{e}{2} & \text{als } \frac{n}{e} \text{ niet geheel is} \\ \frac{(e+1)e}{2} & \text{als } \frac{n}{e} \text{ geheel is} \end{cases}}$$

A Centraal op twee belaste veer

(X)

$$\frac{x}{N} = u_{21}$$

$$u_{21} = \sum_{i=1}^e (\Delta_i)_{s2} (\frac{1}{k_w} + \frac{1}{k_n} + \frac{1}{k_b})_{s1} (\Delta_i)_{b1}$$

(sommeren over sect
sinusconventie)

$$u_{21} = \sum_{i=1}^e (\Delta_i)_{s2} (\frac{1}{k_w} + \frac{1}{k_n} + \frac{1}{k_b})_{s1} =$$

$$= \sum_{i=1}^e \left[-\cos i\theta (\frac{1}{k_w} + \frac{1}{k_n} + \frac{1}{k_b})_{21} + \right.$$

$$\quad \left. - \sin i\theta (\frac{1}{k_w} + \frac{1}{k_n} + \frac{1}{k_b})_{31} + \right.$$

$$\quad \left. - h_n \frac{e^{-i}}{e} \sin i\theta (\frac{1}{k_w} + \frac{1}{k_n} + \frac{1}{k_b})_{51} + \right.$$

$$\quad \left. + h_n \frac{e^{-i}}{e} \cos i\theta (\frac{1}{k_w} + \frac{1}{k_n} + \frac{1}{k_b})_{61} \right] =$$

$$= \frac{a}{g I_p} \sum_{i=1}^e \left[\cos i\theta \cdot a \frac{h_b}{4\pi} \sin i\theta + \sin i\theta a \frac{h_b}{4\pi} (1 - \cos \theta) + \right.$$

$$\quad \left. + h_n \frac{e^{-i}}{e} \sin i\theta \cdot a (1 - \cos \theta) + h_n \frac{e^{-i}}{e} \cos i\theta \cdot a \sin i\theta \right] =$$

$$= \frac{a^2 h_n}{g I_p} \sum_{i=1}^e \left\{ \frac{2e^{+1-2i}}{2e} \cos i\theta \sin i\theta + \frac{2e^{+1-2i}}{2e} \sin i\theta (1 - \cos \theta) \right\}$$

0 gelukt

$$\frac{x}{N} = \frac{a^2 h_n}{g I_p} \left\{ \frac{2e^{+1}}{2e} \cdot e \cdot \sin \frac{2\pi n}{e} + \frac{2e^{+1}}{2e} \cdot 0 \cdot (1 - \cos \theta) + \right.$$

$$\quad \left. - \frac{2}{2e} \frac{(e+1)e}{2} \sin \frac{2\pi n}{e} - \frac{2}{2e} \cdot 0 \cdot (1 - \cos \theta) \right\} = 0$$

0 niet gelukt

$$\frac{x}{N} = \frac{a^2 h_n}{g I_p} \left\{ \frac{2e^{+1}}{2e} \cdot 0 \cdot \sin \frac{2\pi n}{e} + \frac{2e^{+1}}{2e} \cdot 0 \cdot (1 - \cos \theta) + \right.$$

$$\quad \left. - \frac{2}{2e} \cdot \frac{e}{2} \cdot \sin \frac{2\pi n}{e} + \frac{2}{2e} \cdot \frac{e}{2 \tan \frac{\pi n}{e}} (1 - \cos \theta) \right\} =$$

$$= \frac{a^2 h_n}{g I_p} \left\{ - \frac{\sin \frac{2\pi n}{e}}{2} + \frac{1 - \cos \frac{2\pi n}{e}}{2 \tan \frac{\pi n}{e}} \right\} =$$

$$= \frac{2\pi n a^3}{g I_p} \cdot \tan \frac{\theta}{2} \cdot 0 = 0$$

①

$$\frac{\Gamma}{N} = u_{31} = \sum_{i=1}^e (-Li)_{S3} (\zeta_w + \zeta_n + \zeta_b)_{S1} \underbrace{(-Li)_{S1}}_{\substack{\text{alleen aanwezig aan} \\ \text{aan met voor } \delta=1}}$$

$$\begin{aligned} u_{31} &= \sum_{i=1}^e (-Li)_{S3} (\zeta_w + \zeta_n + \zeta_b)_{S1} = \\ &= \sum_{i=1}^e \left\{ -\sin i\theta \zeta_{wS1} + \cos i\theta \zeta_{nS1} + \right. \\ &\quad \left. + \ln \frac{e-i}{e} \cos i\theta \zeta_{wS1} + \ln \frac{e-i}{e} \sin i\theta \zeta_{bS1} \right\} = \\ &= \sum_{i=1}^e \left\{ \sin i\theta \cdot a \frac{h\theta}{4\pi} \sin i\theta - \cos i\theta \cdot a \frac{h\theta}{4\pi} (1-\cos\theta) + \right. \\ &\quad \left. - \ln \frac{e-i}{e} \cos i\theta \cdot a(1-\cos\theta) + \ln \frac{e-i}{e} \sin i\theta \sin i\theta \right\} \\ &= \frac{a^2 h u}{8 I_p} \sum_{i=1}^e \left\{ \frac{2e+1-2i}{2e} \sin i\theta \sin\theta - \frac{2e+1-2i}{2e} \cos i\theta (1-\cos\theta) \right\} \end{aligned}$$

$$\frac{n}{e} \text{ geheel} \rightarrow \frac{\Gamma}{N} = 0$$

$$\begin{aligned} \frac{n}{e} \text{ niet geheel} \quad \frac{\Gamma}{N} &= \frac{a^2 h u}{8 I_p} \left\{ -\frac{2}{2e} \cdot \frac{-e}{2 \tan \frac{\pi n}{e}} \sin \frac{2\pi n}{e} + \frac{2}{2e} \cdot \frac{e}{2} \cdot (1-\cos\theta) \right\} = \\ &= \frac{a^2 h u}{8 I_p} \left\{ \frac{\sin \frac{2\pi n}{e}}{2 \tan \frac{\pi n}{e}} + \frac{1}{2} (1-\cos \frac{2\pi n}{e}) \right\} = \\ &= \frac{a^2 h u}{8 I_p} \left\{ \frac{2 \sin \frac{\pi n}{e} \cos \frac{\pi n}{e}}{2 \tan \frac{\pi n}{e}} + \frac{1}{2} (1-1+2 \sin^2 \frac{\pi n}{e}) \right\} = \\ &= \frac{a^2 h u}{8 I_p} \left(\cos^2 \frac{\pi n}{e} + \sin^2 \frac{\pi n}{e} \right) = \\ &= \frac{2\pi n a^3}{8 I_p} \cdot \tan \frac{\nu}{3} \end{aligned}$$

②

$$\begin{aligned} \frac{\Gamma}{N} = u_{11} &= \sum_{i=1}^e (-Li)_{S1} (\zeta_w + \zeta_n + \zeta_b)_{S1} (-Li)_{S1} = \\ &= \sum_{i=1}^e (\zeta_w + \zeta_n + \zeta_b)_{11} = \sum_{i=1}^e \zeta_{w11} = \\ &= e \cdot \zeta_{w11} = e \cdot \theta \cdot \frac{a^3}{8 I_p} = \frac{2\pi n a^3}{8 I_p} \end{aligned}$$

Resultaat geldt voor de centraal op trek belaste veer:

$$\frac{x}{N} = 0 \quad \text{onafhankelijk van de waarde van } e$$

$$\frac{\Gamma}{N} = \begin{cases} 0 & \text{als } n/e \text{ geheel is} \\ \frac{2\pi n a^3}{8 I_p} \cdot \tan \xi & \text{als } n/e \text{ niet geheel is.} \end{cases}$$

$$\frac{M}{N} = \frac{2\pi n a^3}{8 I_p} \quad \text{onafhankelijk van } e$$

B Door dwarskracht belaste veer

Met de hier beschreven methode is het berekenen van de verplaatsingen bij het belastingsgeval B dusdanig onwaaierlijk, dat er in het kader van dit rapport van af is gezien. De elementenmethode voor belastingsgeval B kan dan ook slechts met de exacte methode worden vergeleken in concrete gevallen.

Aangenomen zal worden dat ook voor de elementenmethode onderstaande geldt, om vergelijking te vereenvoudigen.

$$\text{Bij ronde draaddoornede) } \rightarrow \left(\frac{x}{D}\right)_{el} = \beta_{el} \cdot \frac{a^3 \pi n}{E I_b}$$

$$\left(\frac{\Gamma}{D}\right)_{el} = (\delta \Gamma)_{el} \frac{a^3 \pi n}{E I_b}$$

$$\left(\frac{M}{D}\right)_{el} = (\delta z)_{el} \frac{a^3 \pi n}{E I_b}$$

met $\beta_{el} = \beta_{el}(n, \xi)$, $\frac{(\delta \Gamma)_{el}}{n}$ en $\frac{(\delta z)_{el}}{n}$ functies van ξ

VII De reken nauwkeurigheid van de rekenmachine

Er kan alleen een mededeling omtrent deze nauwkeurigheid worden gedaan op grond van de resultaten, die bij belastingsgeval A zijn verkregen.

Vergelijking van deze resultaten leidt tot de volgende conclusie:

Bij x elementen per winding worden de resultaten verkregen in y significante cijfers.

x	y
1	1
2	13
4	9
6	7
8	6
12	5
18	4
24	3
36	2
48	1 à 2

Bij 42 en meer elementen per winding werden geen resultaten meer verkregen omdat de totale stijfheidsmatrix numeriek singulier kan worden.

Voor de reken nauwkeurigheid is het waarschijnlijk belangrijk dat e/n binnen bepaalde grenzen blijft: bijv. $e/n < 20$

Het totaal aantal elementen schijnt eveneens belangrijk te zijn. Precies aangeven welke rol de waarde van e speelt bij de reken nauwkeurigheden is echter onmogelijk.

VIII Vergelijking van de elementenmethode met de „exacte” en de benaderingsmethode

Vergelijking van deze resultaten geeft aanleiding tot conclusies wat betreft:

- waarde van de op deze wijze toegepaste elementenmethode
- correctheid van alle uitgewaarde berekeningen bij de elementenmethode. De resultaten van de benaderingsmethode en die van de elementenmethode voor $e=r$, moeten identiek zijn omdat de achtergronden van beide methodes gelijk zijn, maar slechts de uitvoering verschillend is.

Vergelijking kan weer slechts geschieden aan de hand van de twee behandelde belastinggevallen.

A Centraal op heel belaste weer.

$$\textcircled{x} \quad \left(\frac{x}{N}\right)_{el} = \left(\frac{x}{N}\right)_{ex} = \left(\frac{x}{N}\right)_{ben} = 0$$

$$\textcircled{\Gamma} \quad \left(\frac{\Gamma}{N}\right)_{ex} = E \cdot \frac{2\pi n a^3}{9 I_p} \quad (\text{zie b/k 42})$$

$$\left. \begin{array}{l} \left(\frac{\Gamma}{N}\right)_{ben} = 0 \\ \left(\frac{\Gamma}{N}\right)_{el} \frac{n}{e} \text{ geheel} = 0 \end{array} \right\} \text{m.a.w. klopt.}$$

$$\left(\frac{\Gamma}{N}\right)_{el} \frac{n}{e} \text{ niet geheel} = \tan \xi \cdot \frac{2\pi n a^3}{9 I_p}$$

ξ	0°	5°	10°	15°	20°	30°	45°
$\tan \xi$	0,0000	0,0875	0,1763	0,2679	0,3640	0,5774	1,0000

Voor normale veren: $\frac{G I_p}{E I_b} \approx 0,8$, $\xi \approx 5^\circ$
 wijkt de elementenmethode ca 20% af van de
 exacte methode. Wat τ betreft zijn de
 resultaten van de elementenmethode nog niet
 goed, maar wel beter dan die van de benaderingsmethode.

$$\textcircled{\frac{M}{N}} \left(\frac{M}{N} \right)_{\text{ex}} = \alpha \cdot \frac{2\pi n a^3}{G I_p} \quad (\text{zie blz 44})$$

$$\left. \begin{aligned} \left(\frac{M}{N} \right)_{\text{ben}} &= \frac{2\pi n a^3}{G I_p} \\ \left(\frac{M}{N} \right)_{\text{el } \frac{n}{e} \text{ geheel}} &= \frac{2\pi n a^3}{G I_p} \end{aligned} \right\} \text{m.a.w. klopt.}$$

$$\left(\frac{M}{N} \right)_{\text{el } \frac{n}{e} \text{ niet geheel}} = \frac{2\pi n a^3}{G I_p}$$

De resultaten van de elementenmethode zijn dus
 identiek, met die van de benaderingsmethode en
 voor normaal voorkomende veren dus voldoende
 nauwkeurig.

Verfijning (meer dan twee elementen per winding)
 blijkt voor dit belastingsgeval geen enkele
 invloed te hebben.

B. Door dwarskracht belaste veer.

$$\textcircled{X} \left(\frac{\chi}{D}\right)_{ex} = \beta_{ex} \cdot \frac{a^3 \pi n}{EI_b} \quad (\text{zie blz 45, 46})$$

$$\left(\frac{\chi}{D}\right)_{ben} = \beta_{ben} \cdot \frac{a^3 \pi n}{EI_b} \quad (\text{zie blz 45, 46})$$

$$\left(\frac{\chi}{D}\right)_{el} = \beta_{el} \cdot \frac{a^3 \pi n}{EI_b}$$

Bij een veer met ronde draaddoorsnede en $\nu = 0,3$ werden m.b.v. het rekenprogramma een aantal waarden van β_{el} bepaald.

β_{el}

n	ξ e/n	0°	5°	15°	30°
1	1	1,0000	1,1438	2,6292	8,5680
	2	1,0000	1,2173	3,0365	10,460
	4	1,0000	1,2281	3,1383	10,933
	8	1,0000	1,2317	3,1722	11,091
4	1	1,0000	4,6498	35,213	159,93
	2	1,0000	4,6932	35,627	161,82
	4	1,0000	4,7041	35,722	162,29
	8	1,0000	4,7077	35,756	162,45
20	1	1,0000	93,635	869,37	4034,7
	2	1,0000	93,678	869,77	4036,6
	4	1,0000	93,689	869,79	4036,6
	8	1,0000	93,634	864,80	4089,9
100	1	1,0000	2318,3	21722	100910
	2	1,0000	2318,0	21687	100270
	4	1,0000	2308,6	20826	83582
	8	1,0000	2200,7	7011,6	*

* Een resultaat omdat β_{el} niet geïnverteerd kan worden (numeriek singulier).

De tabel op de vorige bladzijde voor β_{el} wordt vergeleken met de tabel op blz 46 voor β_{ex} en β_{ben} .

- Opmerkingen
- 1) voor $\frac{e}{n} = 1$ geldt: $\beta_{el} \approx \beta_{ben}$
 - 2) er is een goede overeenstemming tussen β_{el} en β_{ex} bij schroefveren met niet te grote spoed.
 - 3) de invloed van versijning lijkt afhankelijk te zijn van het aantal windingen. Bij een gering aantal windingen wordt het verschil tussen β_{ex} en β_{el} door versijning kleiner. Bij een groot aantal windingen is dit juist omgekeerd. Het is mogelijk dat dit veroorzaakt wordt door grotere rekenonnauwkeurigheden bij een groot aantal windingen, ofwel bij een groot aantal elementen.

(7)

$$\left(\frac{\Gamma}{D}\right)_{ex} = \delta_{\Gamma_{ex}} \cdot \frac{a^3 \pi n}{EI_b} \quad (\text{zie blz 47})$$

$$\left(\frac{\Gamma}{D}\right)_{ben} = 0$$

$$\left(\frac{\Gamma}{D}\right)_{el} = \delta_{\Gamma_{el}} \cdot \frac{a^3 \pi n}{EI_b}$$

- voor $\frac{e}{n} = 1$ geldt $\delta_{\Gamma_{el}} \approx 0$, afgezien van waarschijnlijke numerieke onnauwkeurigheden.
- voor $\frac{e}{n} = 2$ geldt hetzelfde.
- voor $\frac{e}{n} = 4$ en $\frac{e}{n} = 8$ worden duidelijk van nul verschillende waarden gevonden, het is alleen de vraag welke waarde we aan deze getallen, die in de tabellen op de volgende bladzijde zijn weergegeven, mogen toekennen.

$$\frac{\delta_{rel}}{n} \text{ voor } \frac{e}{n} = 4$$

$n \backslash \alpha$	0°	5°	15°	30°
1	0,00000	0,00722	0,06764	0,31421
4	0,00000	0,00722	0,06764	0,31420
20	0,00000	0,00722	0,06786	0,31562
100	0,00000	0,00572	-0,38099	4,69770

$$\frac{\delta_{rel}}{n} \text{ voor } \frac{e}{n} = 8$$

$n \backslash \alpha$	0°	5°	15°	30°
1	0,00000	0,00722	0,06764	0,31421
4	0,00000	0,00722	0,06763	0,31420
20	0,00000	0,00741	0,06555	0,30652
100	0,00000	0,03918	1,07840	*

Vergelijking van deze resultaten met die op blz 47 laat zien dat er geen enkele overeenkomst is. Dit kan echter niet alleen het gevolg zijn van numerieke nauwkeurigheden; we hoeven slechts de waarden van δ_{rel}/n voor $n=1, 4$ en 20 te vergelijken om dit te zien.

Andere mogelijkheden zijn:

- 1) De elementenmethode geeft voor $\frac{e}{D}$ principieel andere resultaten dan de exacte methode.
- 2) Bij een van beide methoden is een fout gemaakt in opzet of uitwerking.

(17)

$$\left(\frac{x}{D}\right)_{ex} = \frac{\alpha^3 \pi \eta}{EI_b} \cdot \delta x_{ex} \quad (\text{zie blz 48})$$

$$\left(\frac{x}{D}\right)_{ben} = 0$$

$$\left(\frac{x}{D}\right)_{el} = \frac{\alpha^3 \pi \eta}{EI_b} \cdot \delta x_{el}$$

Het is te bewijzen dat δx_{el} nul moet zijn omdat $(x/N)_{el}$ nul was.

$$\left(\frac{x}{N}\right)_{el} = \frac{1}{N} \left(\frac{\partial A}{\partial D_x}\right)_{N \neq 0} = \frac{1}{D} \left(\frac{\partial A}{\partial N}\right)_{D_x = D} = \left(\frac{x}{D}\right)_{el}$$

andere krachten en mom. nul
andere krachten en mom. nul

Ditelfde geldt niet voor de exacte methode omdat daarbij:

- x : verplaatsing uiteinde veer in x -richting (einde v/s laatste windings)
- N : centrale trekkracht (langs as v/s veer)

$$\left(\frac{x}{N}\right)_{ex} \neq \frac{1}{N} \left(\frac{\partial A}{\partial D_x}\right)_{N \neq 0} \text{ andere krachten en momenten wel nul}$$

Afgezien van numerieke onnauwkeurigheden zijn de resultaten van de rekenmachine hiermee in overeenstemming. Deze onnauwkeurigheden zijn groter naarmate de spoed en het aantal windingen groter wordt.

IX Slotconclusies.

De gevulde methoden zijn vergeleken in twee belastinggevallen a) centraal op trek belaste veer b) door dwarskracht belaste veer

- ad a) (X) De exacte methode, de benaderingsmethode en de elementenmethode geven hetzelfde resultaat.
- (P) Voor $\frac{e}{n} = 1$ geeft de elementenmethode hetzelfde resultaat als de benaderingsmethode, enigzins afwijkend van de exacte methode. Voor $\frac{e}{n} > 1$ geeft de elementenmethode iets beter bij de exacte methode aansluitende resultaten, vooral voor veren met kleine spoed. Verfijning van de elementen blijft van belang te zijn.
- (Z) De benaderingsmethode en de elementenmethode geven dezelfde resultaten, onafhankelijk van de waarde van $\frac{e}{n}$. Voor normale veren zijn deze resultaten vrijwel gelijk aan de resultaten van de exacte methode.
- ad b) (X) Er blijkt een goede overeenstemming te zijn tussen de resultaten van de exacte en de benaderingsmethode, vooral voor normaal voorkomende veren. Ook de resultaten van de elementenmethode zijn hiermee in overeenstemming. De verschillen van de resultaten van de elementenmethode en de exacte methode kunnen door verfijning van de elementen zowel groter dan kleiner worden, afhankelijk van de waarde van n en van ξ .
- (P) De resultaten van de elementenmethode sluiten minstens even slecht aan bij die van de exacte methode als de resultaten van de benaderingsmethode. Voor normaal voorkomende veren is de waarde van Γ echter zo klein dat de genoemde discrepanties onbelangrijk zijn.
- (Z) De elementenmethode geeft dezelfde resultaten als de benaderingsmethode. Het verschil met de exacte methode is voor normale veren niet belangrijk.

Een extra optredende moeilijkheid was het optreden van rekenonnauwkeurigheden bij de verwerking van het rekenprogramma door de computer, hetgeen afbreuk doet aan de betrouwbaarheid van de verkregen resultaten.

Als conclusie kan dus volgen:

- 1 Voor normaal voorkomende schroefveren geven zowel de hier gebruikte benaderingsmethode, als de elementenmethode resultaten, die redelijk met de resultaten van de exacte methode in overeenstemming zijn. Wegens zijn eenvoudigheid geeft de benaderingsmethode de voorkeur.
- 2 Voor buitengewone schroefveren blijft de exacte methode noodzakelijk.

Eindhoven, 26 juni 1969

W.A.M. Brekelmans

W.A.M. BREKELMANS